L'entropia. Dalla termodinamica classica alla teoria dell'informazione di Shannon

PARTE PRIMA: GENESI STORICA E FONDAMENTI TERMODINAMICI

Capitolo 1: Il Contesto Storico e l'Emergere del Concetto

L'entropia è senza dubbio uno dei concetti maggiormente profondi e pervasivi della fisica moderna, estendendosi ben oltre i confini della termodinamica classica per toccare ambiti apparentemente distanti come la teoria dell'informazione, la cosmologia, la biologia molecolare e persino l'economia. Per comprendere appieno questo concetto multiforme, dobbiamo iniziare dal contesto storico che ne ha generato la necessità.

Nel corso del XVIII secolo, la rivoluzione industriale aveva portato a un'intensa ricerca sulla natura del calore e sulla possibilità di convertire il calore in lavoro meccanico. Le prime macchine a vapore, sviluppate da inventori come Thomas Newcomen (1712) e successivamente perfezionate da James Watt (1765-1784), ponevano questioni fondamentali: qual è il rendimento massimo teorico di una macchina termica? Esiste un limite invalicabile all'efficienza con cui il calore può essere convertito in lavoro? Queste domande pratiche si intrecciavano con interrogativi filosofici più profondi sulla natura del calore stesso.

La teoria del calorico, proposta da Antoine Lavoisier e dominante fino alla metà del XIX secolo, concepiva il calore come un fluido imponderabile conservato nei processi termici. Questa concezione, sebbene errata, aveva il merito di suggerire principi di conservazione. Tuttavia, gli esperimenti di Benjamin Thompson (Conte di Rumford) nel 1798, che dimostrarono la produzione apparentemente illimitata di calore attraverso l'attrito nella foratura dei cannoni, e quelli di James Prescott Joule negli anni 1840, che stabilirono l'equivalente meccanico del calore (approssimativamente 4.186 joule per caloria), condussero gradualmente all'abbandono della teoria del calorico in favore di una concezione meccanica del calore come forma di energia.

Sadi Carnot (1796-1832) pubblicò nel 1824 il suo capolavoro "Réflexions sur la puissance motrice du feu et sur les machines propres à développer cette puissance" (Riflessioni sulla potenza motrice del fuoco e sulle macchine adatte a sviluppare tale potenza). In questo testo seminale, Carnot analizzò il ciclo ideale di una macchina termica operante tra due sorgenti di calore a temperature diverse. Sebbene Carnot lavorasse ancora nell'ambito della teoria del calorico, le sue conclusioni si rivelarono fondamentalmente corrette: il rendimento massimo di una macchina termica dipende esclusivamente dalle temperature delle sorgenti calde e fredde, ed è dato dalla formula:

$$\eta_{Carnot} = 1 - T_{fredda}/T_{calda}$$

dove le temperature devono essere espresse in scala assoluta (kelvin). Questo risultato notevole implica che nessuna macchina termica reale può convertire completamente il

calore in lavoro se opera tra due sorgenti a temperature finite, stabilendo un limite fondamentale imposto dalla natura stessa.

Il lavoro di Carnot rimase relativamente oscuro fino a quando non fu riscoperto e reinterpretato da Rudolf Clausius e William Thomson (Lord Kelvin) negli anni 1850. Clausius, in particolare, riconobbe che il ciclo di Carnot conteneva implicitamente un principio di irreversibilità e che esisteva una grandezza di stato, da lui chiamata successivamente entropia, che aumentava nei processi irreversibili.

Capitolo 2: La Formulazione di Clausius e il Secondo Principio della Termodinamica

Rudolf Julius Emanuel Clausius (1822-1888) fu il fisico tedesco che cristallizzò il concetto di entropia nella sua forma matematica moderna. Il suo contributo fondamentale consistette nel riconoscere che, oltre al principio di conservazione dell'energia (primo principio della termodinamica), era necessario un secondo principio che descrivesse la direzione dei processi naturali.

Clausius iniziò la sua analisi partendo dal ciclo di Carnot. Considerò un ciclo reversibile in cui un sistema assorbe calore Q_1 da una sorgente a temperatura T_1 e cede calore Q_2 a una sorgente a temperatura T_2. Per un ciclo di Carnot reversibile, Clausius dimostrò che:

$$Q_1/T_1 = Q_2/T_2$$

o equivalentemente:

$$Q_1/T_1 - Q_2/T_2 = 0$$

Generalizzando questo risultato a un ciclo reversibile arbitrario, composto da una serie di trasformazioni infinitesime in cui il sistema scambia una quantità infinitesima di calore δQ alla temperatura T, Clausius ottenne:

$$\oint \delta Q/T = 0$$

dove il simbolo $\oint$ denota l'integrale ciclico, ovvero l'integrale calcolato lungo un percorso chiuso nello spazio degli stati termodinamici. Il fatto che questo integrale ciclico si annulli per processi reversibili implica che la quantità δQ/T è il differenziale esatto di una funzione di stato, che Clausius chiamò entropia, denotandola con il simbolo S. Dunque, per una trasformazione reversibile infinitesima:

$$dS = \delta Q_{rev}/T$$

Questa è la definizione di Clausius dell'entropia. Integrando tra due stati A e B lungo un percorso reversibile:

$$S_B - S_A = \int_A^B \delta Q_{rev}/T$$

La variazione di entropia tra due stati è quindi determinata dall'integrale del calore scambiato diviso per la temperatura, calcolato lungo qualsiasi percorso reversibile che connette i due stati. Poiché S è una funzione di stato, questa differenza è indipendente dal percorso scelto.

Per i processi irreversibili, Clausius dimostrò che:

$\oint \delta Q/T < 0$

o, per una trasformazione finita da A a B:

$S_B - S_A > \int_A^B \delta Q/T$

Questa disuguaglianza costituisce il secondo principio della termodinamica nella sua forma più generale. Per un sistema isolato (che non scambia né calore né materia con l'ambiente), $\delta Q = 0$, e quindi:

$\Delta S_{isolato} \geq 0$

L'entropia di un sistema isolato non può mai diminuire: può solo rimanere costante (processi reversibili) o aumentare (processi irreversibili). Questo principio stabilisce una freccia del tempo termodinamica, distinguendo il passato dal futuro.

Clausius sintetizzò i due principi della termodinamica in due affermazioni memorabili:

1. "Die Energie der Welt ist konstant" (L'energia dell'universo è costante)
2. "Die Entropie der Welt strebt einem Maximum zu" (L'entropia dell'universo tende verso un massimo)

La seconda affermazione suggerisce una prospettiva cosmologica: se l'universo è considerato come un sistema isolato, la sua entropia deve aumentare costantemente fino a raggiungere un massimo, uno stato di equilibrio termodinamico che Hermann von Helmholtz chiamò "morte termica dell'universo" (Wärmetod). In questo stato finale, non esisterebbero più gradienti di temperatura o di concentrazione, e quindi nessun processo irreversibile potrebbe più avvenire. Questa visione escatologica della termodinamica ebbe un profondo impatto culturale nel XIX secolo, alimentando discussioni filosofiche sul destino ultimo del cosmo.

Capitolo 3: Interpretazione Fisica dell'Entropia Termodinamica

L'entropia definita da Clausius è una grandezza macroscopica, misurata attraverso scambi di calore e temperature. Ma cosa rappresenta fisicamente l'entropia? Perché aumenta nei processi irreversibili? Queste domande trovarono una risposta parziale già nell'ambito della termodinamica classica, attraverso l'analisi di esempi concreti.

Consideriamo l'espansione libera di un gas ideale nel vuoto, uno dei processi irreversibili più semplici da analizzare. Un gas contenuto in un volume V_1 viene lasciato espandere liberamente in un volume $V_2 > V_1$ senza compiere lavoro (espansione contro il vuoto) e senza scambiare calore con l'esterno (processo adiabatico). Per un gas ideale, l'energia interna U dipende solo dalla temperatura T, e poiché non c'è scambio di calore né lavoro compiuto, U rimane costante. Di conseguenza, anche la temperatura rimane costante durante l'espansione libera.

Tuttavia, questo processo è manifestamente irreversibile: non osserviamo mai un gas spontaneamente concentrarsi in una porzione più piccola del volume disponibile. La

variazione di entropia può essere calcolata immaginando un processo reversibile che porti il gas dallo stato iniziale (V_1, T) allo stato finale (V_2, T). Un tale processo reversibile potrebbe essere un'espansione isoterma reversibile. Per un gas ideale, in un'espansione isoterma reversibile, il lavoro compiuto è:

$$W = nRT \ln(V_2/V_1)$$

dove n è il numero di moli e R è la costante universale dei gas. Poiché l'energia interna non varia (processo isotermo per un gas ideale), il calore assorbito deve essere uguale al lavoro compiuto:

$$Q_{rev} = nRT \ln(V_2/V_1)$$

La variazione di entropia è quindi:

$$\Delta S = Q_{rev}/T = nR \ln(V_2/V_1) > 0$$

L'entropia aumenta proporzionalmente al logaritmo del rapporto dei volumi. Questo risultato suggerisce una connessione tra entropia e il concetto di "spazio disponibile" o "dispersione" del sistema: quando il gas si espande, le sue molecole hanno a disposizione un volume maggiore in cui muoversi, e questa maggiore "diffusione" si riflette in un aumento dell'entropia.

Un altro esempio illuminante è il trasferimento di calore tra due corpi a temperature diverse. Consideriamo due corpi, inizialmente a temperature $T_1 > T_2$, posti in contatto termico fino al raggiungimento dell'equilibrio a una temperatura intermedia T_f. Se i corpi hanno capacità termiche uguali C, la conservazione dell'energia impone:

$$C(T_1 - T_f) = C(T_f - T_2)$$

da cui:

$$T_f = (T_1 + T_2)/2$$

La variazione di entropia del corpo caldo è:

$$\Delta S_1 = \int_{T_1}^{T_f} C \, dT/T = C \ln(T_f/T_1)$$

La variazione di entropia del corpo freddo è:

$$\Delta S_2 = \int_{T_2}^{T_f} C \, dT/T = C \ln(T_f/T_2)$$

La variazione totale di entropia è:

$$\Delta S_{tot} = \Delta S_1 + \Delta S_2 = C \ln(T_f^2/(T_1 T_2))$$

Sostituendo $T_f = (T_1 + T_2)/2$:

$$\Delta S_{tot} = C \ln[(T_1 + T_2)^2/(4T_1 T_2)]$$

Utilizzando la disuguaglianza tra media aritmetica e media geometrica, $(T_1 + T_2)/2 > \sqrt{(T_1 T_2)}$ per $T_1 \neq T_2$, si verifica che $\Delta S_{tot} > 0$. L'entropia totale aumenta nel processo irreversibile di equalizzazione termica.

Questi esempi mostrano che l'entropia è associata alla "dispersione" dell'energia e della materia: l'energia si disperde da regioni ad alta temperatura a regioni a bassa temperatura, e la materia si disperde occupando volumi maggiori quando possibile. L'aumento di entropia corrisponde a un aumento del "disordine" del sistema, sebbene il termine "disordine" debba essere usato con cautela, come vedremo nell'interpretazione statistica.

Capitolo 4: Termodinamica di Gibbs e le Funzioni Termodinamiche

Josiah Willard Gibbs (1839-1903), il grande fisico americano, estese e formalizzò la termodinamica in un quadro matematico estremamente generale ed elegante. Gibbs introdusse diverse funzioni termodinamiche fondamentali, ciascuna naturale per descrivere sistemi in condizioni specifiche.

Per un sistema PVT (pressione-volume-temperatura) semplice, l'energia interna U è una funzione di stato le cui variabili naturali sono l'entropia S e il volume V. Il primo principio della termodinamica, combinato con la definizione di entropia, può essere scritto come:

$$dU = TdS - PdV$$

Questa è l'equazione fondamentale della termodinamica nella rappresentazione dell'energia. Da questa equazione, si ricavano le relazioni:

$$T = (\partial U/\partial S)_V \quad P = -(\partial U/\partial V)_S$$

L'entalpia H è definita come:

$$H = U + PV$$

e il suo differenziale è:

$$dH = dU + PdV + VdP = TdS - PdV + PdV + VdP = TdS + VdP$$

Le variabili naturali di H sono quindi S e P.

L'energia libera di Helmholtz F (o A in alcune convenzioni) è definita come:

$$F = U - TS$$

Il suo differenziale è:

$$dF = dU - TdS - SdT = TdS - PdV - TdS - SdT = -SdT - PdV$$

Le variabili naturali di F sono T e V. Questa funzione è particolarmente utile per sistemi a temperatura costante, poiché in una trasformazione isoterma:

$$\Delta F = \Delta U - T\Delta S \leq 0$$

dove l'uguaglianza vale per processi reversibili e la disuguaglianza per processi irreversibili. In altre parole, l'energia libera di Helmholtz tende a un minimo nei processi spontanei a temperatura e volume costanti.

L'energia libera di Gibbs G è definita come:

$G = H - TS = U + PV - TS$

Il suo differenziale è:

$dG = dH - TdS - SdT = TdS + VdP - TdS - SdT = -SdT + VdP$

Le variabili naturali di G sono T e P. Per una trasformazione a temperatura e pressione costanti:

$\Delta G = \Delta H - T\Delta S \leq 0$

L'energia libera di Gibbs tende a un minimo nei processi spontanei a temperatura e pressione costanti, ed è quindi la funzione termodinamica più rilevante per i processi chimici e biologici, che tipicamente avvengono a pressione atmosferica e temperatura ambiente.

Le relazioni di Maxwell, derivate dall'uguaglianza delle derivate miste, forniscono connessioni importanti tra quantità termodinamiche apparentemente disparate. Per esempio, dall'equazione dF = -SdT - PdV si ricava:

$(\partial S/\partial V)_T = (\partial P/\partial T)_V$

Questa relazione collega la variazione dell'entropia con il volume (a temperatura costante) alla variazione della pressione con la temperatura (a volume costante), quantità quest'ultima misurabile direttamente.

Gibbs introdusse anche il concetto di potenziale chimico μ_i per ciascuna specie chimica i in un sistema multicomponente:

$\mu_i = (\partial G/\partial n_i)_{T,P,n_{j\neq i}}$

dove n_i è il numero di moli della specie i. Il potenziale chimico gioca un ruolo fondamentale nella descrizione degli equilibri chimici e delle transizioni di fase. In un sistema all'equilibrio, il potenziale chimico di ciascuna specie deve essere uniforme in tutto il sistema.

Capitolo 5: Entropia nelle Transizioni di Fase

Le transizioni di fase rappresentano situazioni in cui l'entropia gioca un ruolo particolarmente evidente e importante. Una transizione di fase è un cambiamento discontinuo nelle proprietà di un sistema causato da una variazione continua di parametri esterni come temperatura o pressione.

Consideriamo la transizione di fase di primo ordine più familiare: la fusione del ghiaccio. Alla pressione atmosferica standard, il ghiaccio fonde a $T_f = 273.15$ K (0°C). Durante la fusione, calore viene assorbito dal sistema senza che la temperatura aumenti, poiché l'energia fornita

viene utilizzata per rompere i legami che tengono le molecole d'acqua nella struttura cristallina del ghiaccio.

Il calore latente di fusione dell'acqua è $L_f \approx 334$ kJ/kg, ovvero circa 6.01 kJ/mol. La variazione di entropia molare associata alla fusione è:

$\Delta S_{fus} = L_f/T_f = 6010$ J/mol / 273.15 K ≈ 22.0 J/(mol·K)

Questo aumento di entropia riflette la maggiore "libertà" delle molecole d'acqua nella fase liquida rispetto alla fase solida cristallina. Nel ghiaccio, le molecole sono confinate in posizioni reticolari ben definite con orientamenti relativamente fissati dai legami idrogeno. Nell'acqua liquida, sebbene i legami idrogeno permangano e diano all'acqua le sue proprietà uniche, le molecole possono muoversi traslazionalmente, rotazionalmente e vibrazionalmente in modo molto più libero.

Similmente, la vaporizzazione comporta un aumento ancora maggiore di entropia. Il calore latente di vaporizzazione dell'acqua a 100°C (373.15 K) è $L_v \approx 2257$ kJ/kg, ovvero circa 40.66 kJ/mol. La variazione di entropia molare è:

$\Delta S_{vap} = L_v/T_v = 40660$ J/mol / 373.15 K ≈ 109 J/(mol·K)

Questo valore molto maggiore rispetto alla fusione riflette l'enorme aumento di volume e di libertà molecolare nella transizione da liquido a gas. Nel vapore, le molecole sono essenzialmente libere di muoversi in tutto il volume disponibile, con interazioni intermolecolari trascurabili.

Un'osservazione interessante, nota come regola di Trouton, è che per molti liquidi non associati (cioè senza forti legami idrogeno), l'entropia molare di vaporizzazione al punto di ebollizione normale è approssimativamente costante:

$\Delta S_{vap} \approx 85$-$88$ J/(mol·K)

Questa regola empirica suggerisce che l'aumento di "disordine" nella vaporizzazione sia simile per molte sostanze, quando normalizzato rispetto alla temperatura di ebollizione. L'acqua, con il suo valore di 109 J/(mol·K), è un'eccezione notevole, riflettendo la struttura particolarmente ordinata del liquido dovuta ai legami idrogeno.

Le transizioni di fase di secondo ordine, come la transizione superconduttiva o la transizione ferromagnetica-paramagnetica, non comportano calore latente ma mostrano discontinuità nelle derivate seconde del potenziale termodinamico, come la capacità termica $C = T(\partial S/\partial T)$. All'intorno di queste transizioni, la capacità termica tipicamente diverge, segnalando fluttuazioni critiche del sistema. La teoria moderna delle transizioni di fase, sviluppata da Kenneth Wilson negli anni 1970 e basata sul gruppo di rinormalizzazione, fornisce una comprensione profonda di questi fenomeni critici.

PARTE SECONDA: INTERPRETAZIONE STATISTICA DELL'ENTROPIA

Capitolo 6: Boltzmann e la Meccanica Statistica

Ludwig Boltzmann (1844-1906) fu il fisico austriaco che rivoluzionò la comprensione dell'entropia fornendole un'interpretazione microscopica basata sulla teoria cinetica dei gas e sulla meccanica statistica. Il suo contributo fondamentale fu riconoscere che l'entropia termodinamica, una grandezza macroscopica definita da Clausius in termini di calore e temperatura, poteva essere interpretata come una misura del numero di microstati compatibili con lo stato macroscopico del sistema.

Prima di Boltzmann, James Clerk Maxwell aveva già sviluppato (1860-1867) una teoria cinetica dei gas in cui le proprietà macroscopiche come pressione e temperatura erano spiegate in termini del moto disordinato di un gran numero di molecole. Maxwell derivò la distribuzione delle velocità molecolari in un gas all'equilibrio, nota come distribuzione di Maxwell. Boltzmann estese questo lavoro introducendo l'equazione di Boltzmann per l'evoluzione temporale della funzione di distribuzione e, soprattutto, stabilendo la connessione tra entropia e probabilità.

L'idea centrale di Boltzmann può essere compresa considerando un sistema composto da un gran numero N di particelle indistinguibili. Lo stato microscopico del sistema è specificato dalle posizioni e dalle velocità di tutte le particelle. Lo stato macroscopico è invece specificato da grandezze come energia totale E, volume V e numero di particelle N. Per un dato stato macroscopico, esistono moltissimi stati microscopici compatibili. Il numero di tali microstati è denotato con Ω(E,V,N).

L'ipotesi fondamentale della meccanica statistica, spesso chiamata postulato di equiprobabilità o principio ergodico nella sua forma più generale, afferma che tutti i microstati compatibili con i vincoli macroscopici sono egualmente probabili. Un sistema isolato in equilibrio ha quindi probabilità uguale di trovarsi in ciascuno degli Ω microstati accessibili.

Boltzmann propose che l'entropia S di un sistema in un dato macrostato sia proporzionale al logaritmo del numero di microstati compatibili:

$S = k_B \ln(\Omega)$

dove k_B è la costante di Boltzmann, $k_B = 1.380649 \times 10^{-23}$ J/K. Questa formula, nota come principio di Boltzmann o formula di Boltzmann, è forse l'equazione più celebre della fisica statistica e adorna la lapide di Boltzmann nel Zentralfriedhof di Vienna (sebbene in quella forma leggermente diversa S = k log W, dove W è l'abbreviazione tedesca di Wahrscheinlichkeit, probabilità).

La formula di Boltzmann fornisce immediatamente una spiegazione microscopica del secondo principio della termodinamica. Se un sistema isolato si trova inizialmente in un macrostato con un numero relativamente piccolo di microstati Ω_1, e se rimuoviamo un vincolo interno (per esempio, permettendo al gas di espandersi in un volume maggiore), il sistema evolverà spontaneamente verso un macrostato con un numero molto maggiore di microstati $\Omega_2 >> \Omega_1$, semplicemente perché questo nuovo macrostato è enormemente più probabile. L'entropia aumenta perché $\ln(\Omega_2) > \ln(\Omega_1)$.

È importante notare che, a livello microscopico, le leggi della meccanica (classica o quantistica) sono reversibili: se invertiamo tutte le velocità delle particelle, il sistema

ripercorrerà la sua traiettoria all'indietro. L'irreversibilità macroscopica emerge statisticamente: sebbene sia in principio possibile che un gas espanso si concentri spontaneamente in un angolo del contenitore, la probabilità di tale evento è così astronomicamente piccola da essere effettivamente zero per sistemi macroscopici. Boltzmann riconosceva questa natura probabilistica del secondo principio, distinguendosi da interpretazioni più rigide.

Capitolo 7: Il Calcolo di Ω per Sistemi Semplici

Per rendere concreta la formula di Boltzmann, dobbiamo imparare a calcolare Ω per sistemi specifici. Consideriamo alcuni esempi fondamentali.

Esempio 1: Gas Ideale Classico

Per un gas ideale di N particelle identiche contenute in un volume V, dobbiamo contare il numero di modi in cui possiamo distribuire le particelle nello spazio delle fasi (posizioni e momenti) compatibilmente con una data energia totale E.

Lo spazio delle fasi è uno spazio 6N-dimensionale (3 coordinate di posizione e 3 componenti del momento per ciascuna delle N particelle). Il volume dello spazio delle fasi accessibile con energia tra E e E + δE può essere calcolato. Per particelle libere in un box, l'energia è puramente cinetica:

$E = \Sigma_{i=1}^N p_i^2/(2m)$

dove p_i è il modulo del momento della particella i. Le particelle devono trovarsi all'interno del volume V, quindi la parte configurazionale dello spazio delle fasi è semplicemente V^N.

La parte impulsiva richiede che:

$\Sigma_{i=1}^N p_i^2/(2m) = E$

che definisce un ipersfera nello spazio dei momenti 3N-dimensionale. Il "volume" (o meglio, l'iper-area) di questa ipersfera è proporzionale a E^(3N/2-1), poiché il raggio dell'ipersfera è proporzionale a √E.

Il numero di microstati è quindi approssimativamente:

$\Omega \propto V^N E^{(3N/2)} / (N! h^{(3N)})$

dove abbiamo diviso per N! per tenere conto dell'indistinguibilità delle particelle (correzione di Gibbs, essenziale per evitare il paradosso di Gibbs nella miscelazione di gas identici) e per h^(3N), dove h è la costante di Planck, per convertire il volume dello spazio delle fasi classico in un numero discreto di stati (anticipando la meccanica quantistica, in cui lo spazio delle fasi è quantizzato in celle di volume h^3 per ciascuna particola).

Prendendo il logaritmo:

$S = k_B \ln(\Omega) \propto k_B [N \ln(V) + (3N/2) \ln(E) - \ln(N!) - 3N \ln(h)]$

Usando l'approssimazione di Stirling per grandi N, $\ln(N!) \approx N \ln(N) - N$:

$S \approx k_B [N \ln(V) + (3N/2) \ln(E) - N \ln(N) + N - 3N \ln(h)]$

Questa espressione, a meno di costanti additive, è l'entropia di un gas ideale classico. Possiamo riscriverla in forma più familiare usando le relazioni termodinamiche. Dalla relazione $T = (\partial U/\partial S)_V$ per un gas ideale, con $U = (3/2)Nk_B T$, si può verificare la consistenza di questa formula con la termodinamica standard.

Esempio 2: Sistema di Oscillatori Armonici

Consideriamo un sistema di N oscillatori armonici quantistici indipendenti, ciascuno con frequenza ω. Gli autovalori dell'energia di un singolo oscillatore sono:

$E_n = \hbar\omega(n + 1/2)$

dove $n = 0, 1, 2, ...$ è il numero quantico. L'energia totale del sistema è:

$E_{tot} = \Sigma_{i=1}^N \hbar\omega(n_i + 1/2) = \hbar\omega(\Sigma n_i + N/2)$

Definiamo $q = (E_{tot} - N\hbar\omega/2)/(\hbar\omega) = \Sigma n_i$, che deve essere un intero non negativo. Il problema diventa: in quanti modi possiamo distribuire q quanti di energia tra N oscillatori?

Questo è un classico problema combinatorio. Il numero di modi è dato dal coefficiente binomiale:

$\Omega(q,N) = C(q+N-1, q) = (q+N-1)! / (q! (N-1)!)$

Per grandi q e N, usando l'approssimazione di Stirling:

$\ln(\Omega) \approx (q+N) \ln(q+N) - q \ln(q) - N \ln(N)$

Se $q >> N$ (regime ad alta temperatura), $\ln(\Omega) \approx q \ln(q/N) + q$. L'entropia è quindi:

$S = k_B \ln(\Omega) \approx k_B [q \ln(q/N) + q]$

Questo risultato può essere confrontato con le predizioni della termodinamica per un sistema di oscillatori armonici, mostrando la consistenza dell'approccio statistico.

Capitolo 8: La Distribuzione di Boltzmann e l'Ensemble Canonico

Quando un sistema è in contatto termico con un bagno termico (reservoir) a temperatura T, non ha energia fissa ma può scambiare energia con il reservoir. Questa situazione è descritta dall'ensemble canonico, introdotto da Gibbs.

In equilibrio termico, la probabilità P_i che il sistema si trovi in un microstato i con energia E_i è data dalla distribuzione di Boltzmann:

$P_i = (1/Z) \exp(-E_i/(k_B T))$

dove Z è la funzione di partizione canonica:

$Z = \Sigma_i \exp(-E_i/(k_B T))$

La somma è estesa su tutti i microstati accessibili del sistema. La funzione di partizione Z è la quantità centrale della meccanica statistica canonica: da essa possono essere derivate tutte le proprietà termodinamiche del sistema.

In particolare, l'energia libera di Helmholtz è collegata a Z da:

$F = -k_B T \ln(Z)$

Da questa relazione, tutte le altre grandezze termodinamiche possono essere ottenute. Per esempio, l'entropia è:

$S = -(\partial F/\partial T)_V = k_B \ln(Z) + k_B T (\partial \ln(Z)/\partial T)_V$

L'energia media è:

$\langle E \rangle = \Sigma_i E_i P_i = -(\partial \ln(Z)/\partial \beta)_V$

dove $\beta = 1/(k_B T)$ è la temperatura inversa.

Un modo alternativo di esprimere l'entropia nell'ensemble canonico è attraverso la formula di Gibbs:

$S = -k_B \Sigma_i P_i \ln(P_i)$

Questa formula esprime l'entropia direttamente in termini della distribuzione di probabilità sui microstati, senza riferimento esplicito al numero di microstati Ω. È una formula più generale rispetto a $S = k_B \ln(\Omega)$, applicabile anche quando i microstati non sono equiprobabili.

Per verificare la consistenza tra le due formule, consideriamo il caso microcanonical (energia fissa) in cui Ω microstati sono equiprobabili: $P_i = 1/\Omega$ per i microstati accessibili e $P_i = 0$ altrimenti. Sostituendo nella formula di Gibbs:

$S = -k_B \Sigma_{i=1}^{\Omega} (1/\Omega) \ln(1/\Omega) = -k_B \Omega (1/\Omega) \ln(1/\Omega) = k_B \ln(\Omega)$

Ritroviamo quindi la formula di Boltzmann come caso speciale della formula di Gibbs.

La distribuzione di Boltzmann può essere derivata massimizzando l'entropia $S = -k_B \Sigma_i P_i \ln(P_i)$ soggetta ai vincoli di normalizzazione $\Sigma_i P_i = 1$ e di energia media fissata $\Sigma_i P_i E_i = \langle E \rangle$. Usando i moltiplicatori di Lagrange α e β per questi vincoli:

$\partial/\partial P_j [-k_B \Sigma_i P_i \ln(P_i) + \alpha(\Sigma_i P_i - 1) + \beta(\Sigma_i P_i E_i - \langle E \rangle)] = 0$

Si ottiene:

$-k_B (\ln(P_j) + 1) + \alpha + \beta E_j = 0$

da cui:

$P_j = \exp[(\alpha - k_B)/k_B] \exp(-\beta E_j/k_B)$

Il vincolo di normalizzazione determina la costante di proporzionalità, e l'identificazione di β come 1/T emerge dalla termodinamica (β = 1/(k_B T)). Questo mostra che la distribuzione di Boltzmann è la distribuzione di probabilità che massimizza l'entropia per un'energia media data: è la distribuzione più "disordinata" o "incerta" compatibile con il vincolo energetico.

Capitolo 9: Il Teorema H di Boltzmann e la Freccia del Tempo

Uno dei contributi più profondi e controversi di Boltzmann fu il suo tentativo di derivare il secondo principio della termodinamica dalla meccanica delle particelle attraverso il famoso teorema H. Questo teorema rappresenta un tentativo di dimostrare che l'entropia deve aumentare nel tempo per un sistema isolato, partendo dalle leggi microscopiche reversibili della meccanica.

Boltzmann considerò un gas diluito in cui le particelle interagiscono principalmente attraverso collisioni binarie. Introdusse la funzione di distribuzione f(r, v, t), che rappresenta il numero di particelle che al tempo t si trovano nella posizione r con velocità v (più precisamente, f dr dv è il numero di particelle nel volume infinitesimo dr attorno a r con velocità nel volume infinitesimo dv attorno a v).

Boltzmann derivò un'equazione integro-differenziale per l'evoluzione temporale di f, nota come equazione di Boltzmann:

$\partial f/\partial t + v \cdot \nabla_r f + (F/m) \cdot \nabla_v f = (\partial f/\partial t)_{coll}$

dove F è una forza esterna e il termine di collisione $(\partial f/\partial t)_{coll}$ descrive come le collisioni binarie modificano la distribuzione. Il termine di collisione può essere scritto esplicitamente in termini di un integrale che coinvolge f e la sezione d'urto delle collisioni.

Boltzmann definì quindi una quantità H:

$H(t) = \int f(r, v, t) \ln[f(r, v, t)] \, dr \, dv$

e dimostrò che, sotto l'ipotesi che le velocità delle particelle prima di una collisione siano statisticamente indipendenti (ipotesi del "caos molecolare" o Stosszahlansatz), H deve diminuire monotonicamente nel tempo:

$dH/dt \leq 0$

L'uguaglianza vale solo quando il sistema ha raggiunto l'equilibrio, con f uguale alla distribuzione di Maxwell-Boltzmann. Poiché l'entropia è proporzionale a -H (a meno di costanti), questo implica che l'entropia aumenta nel tempo fino a raggiungere un massimo all'equilibrio.

Il teorema H generò immediatamente obiezioni profonde. Josef Loschmidt sollevò nel 1876 l'obiezione della reversibilità (Umkehreinwand): poiché le leggi della meccanica sono reversibili nel tempo, se esiste una traiettoria del sistema in cui H diminuisce, deve esistere anche la traiettoria invertita nel tempo in cui H aumenta, contraddicendo apparentemente la monotonia di H.

Ernst Zermelo sollevò nel 1896 l'obiezione della ricorrenza (Wiederkehreinwand), basata sul teorema di ricorrenza di Poincaré: un sistema meccanico conservativo confinato in un volume finito dello spazio delle fasi deve tornare arbitrariamente vicino al suo stato iniziale dopo un tempo sufficientemente lungo. Se H diminuisce sempre, come può il sistema tornare al suo stato iniziale?

Boltzmann rispose brillantemente a queste obiezioni distinguendo tra comportamento microscopico reversibile e comportamento macroscopico statistico. Il teorema H non afferma che H deve diminuire per ogni singola traiettoria microscopica, ma che diminuisce "in media" o "con schiacciante probabilità" per sistemi macroscopici. L'ipotesi del caos molecolare è un'ipotesi statistica che rompe la simmetria temporale a livello dell'equazione cinetica, anche se le leggi microscopiche sono reversibili.

La risposta all'obiezione di Zermelo è che, sebbene le ricorrenze di Poincaré esistano in linea di principio, il tempo di ricorrenza per un sistema macroscopico è così astronomicamente lungo da essere fisicamente irrilevante. Per un gas con N ~ 10^23 particelle, il tempo di ricorrenza è dell'ordine di exp(N), incomparabilmente maggiore dell'età dell'universo.

Boltzmann chiarì inoltre che la freccia del tempo termodinamica ha origine nelle condizioni iniziali dell'universo: osserviamo l'entropia aumentare nel futuro perché l'universo si trovava in uno stato di entropia eccezionalmente bassa nel passato remoto (il Big Bang). La questione del perché le condizioni iniziali dell'universo fossero così speciali rimane una delle domande aperte più profonde della cosmologia moderna.

Capitolo 10: Il Paradosso di Gibbs e l'Indistinguibilità Quantistica

Un problema sottile emerso nell'applicazione della meccanica statistica classica ai gas è il paradosso di Gibbs, che riguarda l'entropia di miscelazione. Consideriamo due gas identici, ciascuno contenuto in un volume V, separati da una parete divisoria. Se rimuoviamo la parete, permettendo ai gas di mescolarsi, quanto cambia l'entropia totale?

Usando la formula per l'entropia di un gas ideale senza la correzione di Gibbs (cioè senza dividere per N!), otterremmo un aumento di entropia:

$\Delta S = 2Nk_B \ln(2)$

anche se i gas sono identici e la situazione finale è fisicamente indistinguibile dalla situazione iniziale! Questo risultato paradossale suggeriva che qualcosa non andava nella formulazione classica.

La soluzione al paradosso venne dall'introduzione del fattore correttivo 1/N! nel conteggio dei microstati, che tiene conto dell'indistinguibilità delle particelle identiche. Con questa correzione, l'entropia di un gas ideale diventa:

$S = Nk_B [\ln(V/N) + (3/2)\ln(2\pi mk_B T/h^2) + 5/2]$

dove la dipendenza da V/N (piuttosto che da V) garantisce che l'entropia sia una quantità estensiva: se raddoppiamo sia V che N mantenendo la densità costante, l'entropia raddoppia.

Con questa formula corretta, se mescoliamo due gas identici, ciascuno con N particelle in volume V, otteniamo un sistema con 2N particelle in volume 2V. L'entropia iniziale è:

$S_i = 2Nk_B [\ln(V/N) + ...]$

L'entropia finale è:

$S_f = 2Nk_B [\ln(2V/2N) + ...] = 2Nk_B [\ln(V/N) + ...]$

Dunque $\Delta S = 0$, come deve essere per la miscelazione di gas identici.

Tuttavia, se mescoliamo due gas diversi (per esempio, elio e neon), anche con le stesse proprietà macroscopiche, otteniamo un aumento di entropia:

$\Delta S = 2Nk_B \ln(2)$

Questo è l'entropia di miscelazione, che riflette l'aumento del "disordine" quando due specie chimiche diverse si mescolano.

Il paradosso di Gibbs anticipò un principio fondamentale della meccanica quantistica: le particelle identiche sono genuinamente indistinguibili, non solo praticamente indistinguibili per le nostre limitazioni sperimentali. In meccanica quantistica, lo stato di un sistema di particelle identiche deve essere simmetrico (bosoni) o antisimmetrico (fermioni) rispetto allo scambio di due particelle. Questa indistinguibilità quantistica risolve il paradosso di Gibbs in modo naturale e fondamentale.

PARTE TERZA: ENTROPIA QUANTISTICA

Capitolo 11: La Matrice Densità e l'Entropia di von Neumann

La meccanica quantistica richiede una generalizzazione del concetto di entropia. In meccanica quantistica, lo stato di un sistema è descritto da un vettore di stato $|\psi\rangle$ nello spazio di Hilbert. Tuttavia, per sistemi all'equilibrio termico o per sottosistemi di un sistema più grande, lo stato non è puro ma misto, e deve essere descritto da una matrice densità ρ.

La matrice densità è un operatore hermitiano, semi-definito positivo, con traccia unitaria:

$\rho\dagger = \rho \; Tr(\rho) = 1 \; \langle\psi|\rho|\psi\rangle \geq 0$ per ogni $|\psi\rangle$

Se il sistema è in uno stato puro $|\psi\rangle$, la matrice densità è:

$\rho = |\psi\rangle\langle\psi|$

che soddisfa $\rho^2 = \rho$ (idempotenza). Se il sistema è in una miscela statistica di stati, con probabilità p_i di trovarsi nello stato $|\psi_i\rangle$, la matrice densità è:

$\rho = \Sigma_i \; p_i \; |\psi_i\rangle\langle\psi_i|$

In questo caso, $\rho^2 \neq \rho$ (a meno che $p_i = 1$ per un singolo i).

John von Neumann introdusse nel 1927 la definizione quantistica di entropia:

$S = -k_B \, Tr(\rho \ln \rho)$

dove il logaritmo di un operatore è definito attraverso la sua decomposizione spettrale. Se ρ ha autovalori λ_i con autovettori $|i\rangle$:

$\rho = \Sigma_i \lambda_i \, |i\rangle\langle i|$

allora:

$\ln \rho = \Sigma_i \ln(\lambda_i) \, |i\rangle\langle i|$

e quindi:

$S = -k_B \, \Sigma_i \lambda_i \ln(\lambda_i)$

Questa formula generalizza la formula di Gibbs $S = -k_B \, \Sigma_i P_i \ln(P_i)$: gli autovalori λ_i della matrice densità giocano il ruolo delle probabilità classiche P_i.

Per uno stato puro, $\rho = |\psi\rangle\langle\psi|$ ha un solo autovalore $\lambda_1 = 1$ (e tutti gli altri $\lambda_i = 0$). Quindi:

$S = -k_B \, (1 \cdot \ln(1) + 0 \cdot \ln(0) + ...) = 0$

L'entropia di von Neumann è nulla per stati puri, coerentemente con l'idea che uno stato puro rappresenta la massima informazione possibile sul sistema.

Per l'ensemble canonico quantistico, la matrice densità all'equilibrio termico è:

$\rho = (1/Z) \exp(-\beta \hat{H})$

dove $\hat{H}$ è l'Hamiltoniana del sistema e $Z = Tr(\exp(-\beta \hat{H}))$ è la funzione di partizione quantistica. Gli autovalori di ρ sono:

$\lambda_n = (1/Z) \exp(-\beta E_n)$

dove E_n sono gli autovalori dell'energia. L'entropia diventa:

$S = -k_B \, \Sigma_n \lambda_n \ln(\lambda_n) = -k_B \, \Sigma_n (1/Z) \exp(-\beta E_n) \, [\ln(\exp(-\beta E_n)) - \ln(Z)] = k_B \, \beta \, \langle E \rangle + k_B \ln(Z)$

che coincide con l'espressione termodinamica $S = (U - F)/T$ con $F = -k_B \, T \ln(Z)$.

Capitolo 12: Entanglement e Entropia di Entanglement

Uno degli aspetti più notevoli dell'entropia quantistica è la sua connessione con l'entanglement, il fenomeno tipicamente quantistico per cui stati di sottosistemi non possono essere descritti indipendentemente anche quando sono spazialmente separati.

Consideriamo un sistema bipartito composto da due sottosistemi A e B. Lo stato complessivo è descritto da una matrice densità ρ_{AB} che agisce sullo spazio di Hilbert $H_A \otimes H_B$ (prodotto tensoriale degli spazi di Hilbert dei due sottosistemi). La matrice densità ridotta del sottosistema A è ottenuta tracciando sui gradi di libertà di B:

$\rho_A = Tr_B(\rho_{AB})$

Similmente:

$\rho_B = Tr_A(\rho_{AB})$

Se il sistema totale è in uno stato puro $|\psi_{AB}\rangle$, la matrice densità è $\rho_{AB} = |\psi_{AB}\rangle\langle\psi_{AB}|$, e quindi $S(\rho_{AB}) = 0$. Tuttavia, le matrici densità ridotte ρ_A e ρ_B possono avere entropia non nulla:

$S_A = -Tr(\rho_A \ln \rho_A)$ $S_B = -Tr(\rho_B \ln \rho_B)$

Quando $S_A > 0$ (o equivalentemente $S_B > 0$), diciamo che A e B sono entangled. L'entropia di entanglement $E(\rho_{AB})$ è definita come:

$E(\rho_{AB}) = S_A = S_B$

(per stati puri bipartiti, le due entropie sono uguali per una proprietà generale nota come teorema di Schmidt).

L'entropia di entanglement misura il grado di correlazione quantistica tra A e B. Per uno stato prodotto (non entangled) $|\psi_{AB}\rangle = |\psi_A\rangle \otimes |\psi_B\rangle$, si ha $\rho_A = |\psi_A\rangle\langle\psi_A|$ e $\rho_B = |\psi_B\rangle\langle\psi_B|$, quindi $S_A = S_B = 0$. Per uno stato massimamente entangled, come lo stato di Bell:

$|\Psi^+\rangle = (1/\sqrt{2})(|00\rangle + |11\rangle)$

le matrici densità ridotte sono:

$\rho_A = \rho_B = (1/2)(|0\rangle\langle 0| + |1\rangle\langle 1|) = I/2$

dove I è l'identità, corrispondente a uno stato completamente misto. L'entropia è:

$S_A = S_B = -k_B [(1/2)\ln(1/2) + (1/2)\ln(1/2)] = k_B \ln(2)$

che è l'entropia massima per un sistema a due livelli (qubit).

L'entanglement e l'entropia di entanglement giocano ruoli cruciali nella teoria dell'informazione quantistica, nel calcolo quantistico e nella comprensione dei sistemi quantistici many-body. Per esempio, nella transizione di fase quantistica a temperatura zero, l'entropia di entanglement mostra comportamenti singolari all'intorno del punto critico, fornendo un indicatore sensibile delle correlazioni quantistiche a lungo raggio.

Capitolo 13: Entropia Termica vs Entropia di Entanglement

È importante distinguere tra due tipi di entropia in meccanica quantistica: l'entropia termica, associata alla miscela statistica dovuta a fluttuazioni termiche, e l'entropia di entanglement, associata alle correlazioni quantistiche.

Per un sistema puro bipartito in uno stato $|\psi_{AB}\rangle$, l'entropia totale è $S(\rho_{AB}) = 0$, ma le entropie dei sottosistemi S_A e S_B possono essere non nulle e misurano l'entanglement. Questa entropia ha origine puramente quantistica e persiste anche a temperatura zero.

A temperatura finita, un sistema all'equilibrio termico è descritto da una matrice densità mista $\rho = \exp(-\beta\hat{H})/Z$. In questo caso, l'entropia $S(\rho)$ contiene contributi sia dall'entanglement quantistico sia dalla miscela termica. Separare questi due contributi è in generale non triviale e dipende dalla struttura specifica del sistema.

Per un sistema di bosoni o fermioni liberi, l'entropia termica domina ad alta temperatura ($T \to \infty$), dove il sistema si comporta classicamente. A bassa temperatura ($T \to 0$), l'entropia termica scompare (per il terzo principio della termodinamica), ma l'entropia di entanglement dello stato fondamentale può rimanere finita, specialmente in sistemi critici o in sistemi con degenerazione del ground state.

Un esempio particolarmente interessante è fornito dai liquidi di spin quantistici, dove lo stato fondamentale è altamente entangled ma ha gap di energia finito. A $T = 0$, questi sistemi hanno entropia termica nulla ma entropia di entanglement finita. All'aumentare della temperatura, l'entropia termica inizia a crescere, ma le correlazioni quantistiche (e quindi l'entanglement) tipicamente diminuiscono, sostituite da fluttuazioni termiche classiche.

Capitolo 14: Il Terzo Principio della Termodinamica e l'Entropia Assoluta

Walther Nernst formulò nel 1906 quello che divenne noto come il terzo principio della termodinamica: l'entropia di un sistema puro perfettamente cristallino si avvicina a zero quando la temperatura si avvicina allo zero assoluto:

$\lim_{T\to0} S(T) = 0$

Questo principio può essere compreso sia dal punto di vista classico che quantistico. Classicamente, al diminuire della temperatura, l'energia termica disponibile diminuisce e il sistema si "congela" in configurazioni sempre più ordinate, riducendo il numero di microstati accessibili Ω. A $T = 0$, un sistema classico dovrebbe trovarsi in una configurazione di energia minima unica (assumendo non degenerazione), quindi $\Omega = 1$ e $S = k_B \ln(1) = 0$.

Quantisticamente, a $T = 0$ il sistema si trova nel suo stato fondamentale $|0\rangle$. Se questo stato è non degenere, la matrice densità è $\rho = |0\rangle\langle0|$, uno stato puro con entropia di von Neumann $S = 0$. Se lo stato fondamentale è degenere con degenerazione g, l'entropia a $T = 0$ potrebbe essere $S = k_B \ln(g)$. Tuttavia, tipicamente questa degenerazione è accidentale e viene rimossa da perturbazioni piccole (come campi esterni o interazioni deboli trascurate nel modello ideale), riportando S a zero.

Il terzo principio ha implicazioni profonde. Implica che le capacità termiche devono andare a zero quando $T \to 0$:

$C = T(\partial S/\partial T) \to 0$ quando $T \to 0$

Questo comportamento è infatti osservato sperimentalmente ed è predetto dalla teoria quantistica. Per esempio, la capacità termica dei solidi cristallini varia come T^3 a basse temperature (legge di Debye per i fononi), in accordo con il terzo principio.

Il terzo principio permette anche di definire un'entropia assoluta: scegliendo S = 0 a T = 0 come riferimento, possiamo calcolare l'entropia a qualsiasi temperatura T integrando:

$S(T) = \int_0^T C(T')/T' \, dT'$

dove devono essere inclusi i contributi delle eventuali transizioni di fase (entropie latenti) che occorrono tra 0 e T.

Capitolo 15: Entropia e Buchi Neri: la Formula di Bekenstein-Hawking

Una delle connessioni più sorprendenti e profonde nell'intera fisica teorica è quella tra entropia e buchi neri, cristallizzata nella formula di Bekenstein-Hawking per l'entropia di un buco nero.

Jacob Bekenstein propose nel 1972-1973 che i buchi neri devono avere un'entropia proporzionale all'area del loro orizzonte degli eventi. La sua argomentazione si basava su considerazioni termodinamiche: se lasciamo cadere materia con entropia in un buco nero, l'entropia scompare dall'universo osservabile (poiché nulla può uscire dall'orizzonte), violando apparentemente il secondo principio. Bekenstein propose che il buco nero stesso deve possedere un'entropia che aumenta quando assorbe materia, preservando così il secondo principio in forma generalizzata.

Stephen Hawking dimostrò nel 1974-1975, usando la teoria quantistica dei campi in spazi-tempo curvi, che i buchi neri emettono radiazione termica (radiazione di Hawking) con una temperatura caratteristica:

$T_H = \hbar c^3/(8\pi G M k_B)$

dove M è la massa del buco nero, G è la costante gravitazionale, c la velocità della luce, e $\hbar$ la costante di Planck ridotta. Per un buco nero di Schwarzschild (non rotante, senza carica), questa temperatura può anche essere scritta come:

$T_H = \hbar c/(4\pi k_B r_s)$

dove $r_s = 2GM/c^2$ è il raggio di Schwarzschild.

Combinando questa temperatura con le leggi della termodinamica dei buchi neri (che hanno una forma analoga ai principi della termodinamica ordinaria, con l'area dell'orizzonte A che gioca il ruolo dell'entropia), Bekenstein e Hawking derivarono la formula per l'entropia di un buco nero:

$S_{BH} = (k_B c^3 A)/(4G\hbar) = (k_B A)/(4 l_P^2)$

dove $l_P = \sqrt{(G\hbar/c^3)} \approx 1.616 \times 10^{-35}$ m è la lunghezza di Planck. Per un buco nero di Schwarzschild:

$A = 4\pi r_s^2 = 16\pi G^2 M^2/c^4$

quindi:

$S_{BH} = (4\pi k_B GM^2)/\hbar c$

Questa formula è notevolissima per diverse ragioni:

1. **Proporzionalità all'area**: L'entropia è proporzionale all'area dell'orizzonte, non al volume. Questo suggerisce che l'informazione contenuta in una regione dello spazio-tempo potrebbe essere codificata sulla sua superficie, un'idea che ha portato al principio olografico.

2. **Scala di Planck**: L'entropia coinvolge naturalmente la lunghezza di Planck, suggerendo che la descrizione completa richiede una teoria quantistica della gravità.

3. **Enormità dell'entropia**: L'entropia di un buco nero è enorme. Per un buco nero con la massa del Sole ($M \approx 2 \times 10^{30}$ kg), l'entropia è:

$S_{BH} \approx 1.1 \times 10^{54} k_B$

Questo è circa 10^{20} volte l'entropia termica di tutto il materiale del Sole! I buchi neri sono gli oggetti con la massima entropia possibile per una data massa, rappresentando lo stato di massimo "disordine" gravitazionale.

4. **Il paradosso dell'informazione**: Se un buco nero evapora completamente attraverso la radiazione di Hawking, e se questa radiazione è perfettamente termica (quindi priva di informazione sullo stato iniziale della materia collassata), allora l'informazione quantistica sembra essere distrutta, violando l'unitarietà dell'evoluzione quantistica. Questo è il celebre "paradosso dell'informazione dei buchi neri" proposto da Hawking nel 1976.

Il dibattito sul paradosso dell'informazione ha dominato la fisica teorica per decenni. La risoluzione oggi più accettata, supportata dal lavoro di Juan Maldacena sulla corrispondenza AdS/CFT e da calcoli recenti sulla "isola" dell'entropia, suggerisce che l'informazione non viene distrutta ma è codificata in correlazioni sottili nella radiazione di Hawking, correlazioni che emergono solo considerando effetti quantistici nella geometria dello spazio-tempo.

La formula di Bekenstein-Hawking ha anche ispirato il principio olografico, proposto da Gerard 't Hooft e Leonard Susskind negli anni 1990. Questo principio afferma che tutta l'informazione contenuta in un volume di spazio può essere rappresentata come una teoria su un confine di quel volume. La massima entropia (e quindi informazione) contenibile in una sfera di raggio R è quella di un buco nero che riempie quella sfera:

$S_{max} = (k_B c^3 \pi R^2)/(G\hbar)$

proporzionale all'area della sfera, non al suo volume. Questo suggerisce che la gravità quantistica è fondamentalmente una teoria olografica, un'idea realizzata concretamente nella corrispondenza AdS/CFT (Anti-de Sitter/Conformal Field Theory) di Maldacena.

Capitolo 16: Entropia di Entanglement e Geometria dello Spazio-Tempo

Negli ultimi due decenni, è emersa una connessione profonda tra l'entropia di entanglement nella teoria quantistica dei campi e la geometria dello spazio-tempo, suggerendo che lo spazio-tempo stesso potrebbe emergere dall'entanglement quantistico.

Consideriamo una teoria quantistica dei campi (QFT) nel vuoto, lo stato di minima energia. Dividiamo lo spazio in due regioni complementari A e B separate da una superficie Σ. Lo stato di vuoto |0⟩ è tipicamente entangled: i gradi di libertà in A sono correlati quantisticamente con quelli in B. La matrice densità ridotta ρ_A = Tr_B(|0⟩⟨0|) ha entropia di von Neumann non nulla.

Per una QFT in (d+1) dimensioni spazio-temporali, l'entropia di entanglement di una regione A diverge quando il cutoff ultravioletto ε (che regolarizza la teoria a distanze corte) va a zero. Per una QFT conforme in d=3 dimensioni spaziali, la divergenza ha la forma:

S_A = (c_1 Area(Σ))/(ε^2) - c_2 ln(ε) + S_fin + ...

dove Area(Σ) è l'area della superficie che separa A da B, e c_1, c_2 sono coefficienti che dipendono dalla teoria specifica. Il termine dominante è proporzionale all'area, simile alla formula di Bekenstein-Hawking!

Questa "legge dell'area" per l'entropia di entanglement suggerisce una connessione profonda tra entanglement e geometria. Mark Van Raamsdonk, Brian Swingle e altri hanno proposto che la geometria dello spazio-tempo stesso emerge dall'entanglement quantistico dei gradi di libertà sottostanti. In questa visione, le geodetiche spaziali (le curve di minima lunghezza che connettono due punti) nella geometria emergente corrispondono a superfici di minima entropia di entanglement nella teoria quantistica.

Nella corrispondenza AdS/CFT, questa idea diventa concreta. Una teoria di gauge conforme (CFT) in d dimensioni senza gravità è dualisticamente equivalente a una teoria di gravità quantistica in uno spazio AdS in d+1 dimensioni. L'entropia di entanglement di una regione A nella CFT è uguale all'area della superficie estremale γ_A che penetra nello spazio AdS ed è ancorata al confine ∂A della regione A:

S_A = Area(γ_A)/(4G_N)

Questa è la formula di Ryu-Takayanagi, una delle relazioni più importanti nella fisica teorica moderna. Essa mostra esplicitamente come la geometria (Area(γ_A)) emerga dall'entanglement (S_A).

Capitolo 17: Fluttuazioni Quantistiche e Entropia Termodinamica

Un aspetto sottile ma fondamentale dell'entropia in meccanica quantistica riguarda le fluttuazioni quantistiche del vuoto e il loro contributo all'entropia termodinamica a temperature finite.

Nel vuoto quantistico di una teoria dei campi, i campi fluttuano continuamente anche in assenza di particelle. Queste fluttuazioni del punto zero sono una conseguenza del principio di indeterminazione di Heisenberg. Per un oscillatore armonico quantistico, l'energia del ground state non è zero ma E_0 = ħω/2, dove ω è la frequenza. Per un campo, la somma su tutti i modi di oscillazione porta a un'energia del vuoto formalmente infinita, che deve essere

regolarizzata (tipicamente imponendo un cutoff ultravioletto o usando tecniche di rinormalizzazione).

A temperatura finita T, oltre alle fluttuazioni quantistiche esistono le fluttuazioni termiche. Il contributo all'energia libera F e all'entropia S di un campo bosonico (come il campo elettromagnetico) in equilibrio termico può essere calcolato esattamente. Per un modo di oscillazione con frequenza ω:

$F(\omega,T) = \hbar\omega/2 + k_B T \ln(1 - e^{(-\hbar\omega/(k_B T))})$

Il primo termine è l'energia del punto zero (contributo quantistico), il secondo il contributo termico. L'entropia corrispondente è:

$S(\omega,T) = -(\partial F/\partial T) = k_B [\hbar\omega/(k_B T) \cdot 1/(e^{(\hbar\omega/(k_B T))} - 1) - \ln(1 - e^{(-\hbar\omega/(k_B T))})]$

Nel limite ad alta temperatura $\hbar\omega << k_B T$:

$S(\omega,T) \approx k_B [1 + \ln(k_B T/(\hbar\omega))]$

dominato dal contributo termico classico. Nel limite a bassa temperatura $\hbar\omega >> k_B T$:

$S(\omega,T) \approx k_B (\hbar\omega/(k_B T)) e^{(-\hbar\omega/(k_B T))} \rightarrow 0$

L'entropia tende a zero esponenzialmente, coerente con il terzo principio della termodinamica.

Per il campo elettromagnetico (fotoni), sommando su tutti i modi con la densità di stati appropriata, si ottiene la legge di Stefan-Boltzmann per l'energia e l'entropia della radiazione di corpo nero:

$u = (\pi^2 k_B^4 T^4)/(15 \hbar^3 c^3)$

$s = (4\pi^2 k_B^4 T^3)/(45 \hbar^3 c^3) = (4/3) u/T$

dove u e s sono rispettivamente la densità di energia e la densità di entropia per unità di volume.

PARTE QUARTA: DALLA TERMODINAMICA ALL'INFORMAZIONE

Capitolo 18: Il Demone di Maxwell e il Principio di Landauer

Il "demone di Maxwell" è un esperimento mentale proposto da James Clerk Maxwell nel 1867 che sembrò per decenni minacciare il secondo principio della termodinamica. Maxwell immaginò una creatura intelligente (il "demone") capace di osservare le molecole individuali di un gas contenuto in un box diviso da una parete con una piccola porta. Il demone apre la porta per permettere alle molecole veloci di passare da sinistra a destra e alle molecole lente di passare da destra a sinistra. Dopo un certo tempo, il lato destro diventa più caldo del sinistro, creando un gradiente di temperatura senza compiere lavoro apparente, in violazione del secondo principio.

Il paradosso del demone di Maxwell stimolò una profonda riflessione sulla relazione tra informazione ed entropia. Leo Szilard nel 1929 propose una versione semplificata con una singola molecola, argomentando che l'acquisizione di informazione sulla posizione della molecola comporta un aumento di entropia che compensa la diminuzione di entropia del gas.

La risoluzione completa del paradosso venne da Rolf Landauer nel 1961. Landauer dimostrò che l'informazione non è astratta ma ha un sostrato fisico, e che operazioni computazionali irreversibili (come la cancellazione di informazione) devono necessariamente dissipare energia sotto forma di calore. Il principio di Landauer afferma che cancellare un bit di informazione in un sistema a temperatura T richiede una dissipazione minima di energia:

$\Delta E \geq k_B T \ln(2)$

e produce un aumento di entropia nell'ambiente di almeno:

$\Delta S_{amb} \geq k_B \ln(2)$

Il demone di Maxwell deve memorizzare informazione sulle molecole osservate. Per operare ciclicamente, deve periodicamente cancellare questa memoria (altrimenti la memoria si saturerebbe). La cancellazione della memoria dissipa calore e aumenta l'entropia dell'ambiente di una quantità che compensa esattamente (o supera) la diminuzione di entropia del gas. Il secondo principio è così preservato.

Charles Bennett nel 1982 raffinò ulteriormente l'argomento, dimostrando che la computazione reversibile in linea di principio può essere eseguita senza dissipazione (anche se estremamente lentamente), ma che la cancellazione di informazione è intrinsecamente irreversibile e deve dissipare energia secondo il limite di Landauer.

Il principio di Landauer stabilisce un ponte fondamentale tra termodinamica e teoria dell'informazione: l'informazione ha un costo termodinamico. Questo principio è alla base della termodinamica dell'informazione, un campo di ricerca attivo che esplora i limiti fisici della computazione e i motori termici che operano con informazione.

Capitolo 19: Teoria dell'Informazione di Shannon - Fondamenti e Struttura Matematica

19.1 Contesto Storico e Motivazione

L'articolo di Claude Elwood Shannon del 1948 "A Mathematical Theory of Communication" rivoluzionò la nostra comprensione dell'informazione fornendo il primo quadro matematico rigoroso per quantificarla. Shannon era motivato da problemi ingegneristici pratici ai Bell Labs: Quanta informazione può essere trasmessa in modo affidabile attraverso una linea telefonica rumorosa? Qual è il limite fondamentale sulla compressione dei dati?

Tuttavia, il lavoro di Shannon trascese le sue origini ingegneristiche per rivelare connessioni profonde con la meccanica statistica, la termodinamica e la natura fondamentale della conoscenza stessa.

19.2 La Questione Fondamentale: Cos'è l'Informazione?

Prima di Shannon, "informazione" era un concetto vago. Shannon lo rese preciso concentrandosi sulla **sorpresa** o **riduzione dell'incertezza**.

Intuizione chiave: L'informazione non riguarda il *significato* dei messaggi, ma la *selezione* tra messaggi possibili.

Consideriamo la ricezione di uno di questi messaggi:

- "Il sole è sorto stamattina" (alta probabilità, bassa sorpresa, bassa informazione)
- "Una meteora ha distrutto Tokyo" (bassa probabilità, alta sorpresa, alta informazione)

L'informazione misura quanto viene ridotta la nostra incertezza quando apprendiamo il risultato.

19.3 Entropia di una Sorgente Discreta - Derivazione Rigorosa

Definizione e Motivazione

Consideriamo una variabile casuale discreta X che assume valori $\{x_1, x_2, ..., x\square\}$ con probabilità $\{p_1, p_2, ..., p\square\}$.

Shannon definì l'entropia H(X) come:

$$H(X) = -\sum_{i=1} p_i \log_2(p_i)$$

dove il logaritmo in base 2 fornisce l'entropia in **bit**.

Perché questa formula? Shannon dimostrò che H(X) è la funzione *unica* che soddisfa proprietà naturali:

1. **Continuità**: H deve essere continua nelle probabilità p_i
2. **Monotonicità**: H deve aumentare con n per distribuzioni uniformi
3. **Additività**: Per eventi indipendenti: H(X,Y) = H(X) + H(Y)

Derivazione dai Primi Principi

Deriviamo perché il logaritmo appare naturalmente.

Requisito: L'informazione da eventi indipendenti deve sommarsi.

Se gli eventi A e B sono indipendenti con probabilità p(A) e p(B), la loro probabilità congiunta è:

$$p(A,B) = p(A) \times p(B)$$

Vogliamo:

$I(A,B) = I(A) + I(B)$

L'unica funzione che soddisfa $f(xy) = f(x) + f(y)$ è il logaritmo!

Pertanto, il contenuto informativo di un evento con probabilità p deve essere:

$I(p) = -\log(p)$

Il segno negativo rende l'informazione positiva (poiché $p \leq 1$, $\log(p) \leq 0$).

L'**informazione attesa** (entropia) è quindi:

$H(X) = E[I(X)] = \sum p_i \times (-\log p_i) = -\sum p_i \log p_i$

Esempio 1: Moneta Equa

Per una moneta equa: $p(T) = p(C) = 1/2$

$H = -[1/2 \times \log_2(1/2) + 1/2 \times \log_2(1/2)]$

$= -[1/2 \times (-1) + 1/2 \times (-1)]$

$= 1$ bit

Questa è l'**entropia massima** per una sorgente binaria - apprendiamo esattamente 1 bit per lancio.

Esempio 2: Moneta Truccata

Per $p(T) = 0.9$, $p(C) = 0.1$:

$H = -[0.9 \times \log_2(0.9) + 0.1 \times \log_2(0.1)]$

$= -[0.9 \times (-0.152) + 0.1 \times (-3.322)]$

$= 0.137 + 0.332$

$= 0.469$ bit

Meno di 1 bit - il risultato è più prevedibile, quindi meno informazione.

Esempio 3: Lettere Inglesi

Frequenze approssimative per le lettere inglesi:

Lettera	**Frequenza**	**$-p \log_2(p)$**

E	0.127	0.363
T	0.091	0.314
A	0.082	0.303
...	...	...
Z	0.001	0.010

Sommando su tutte le 26 lettere: $H \approx 4.14$ bit/lettera

Questa è l'**entropia di ordine 0** (ignorando le correlazioni tra lettere).

19.4 Proprietà dell'Entropia di Shannon

Proprietà 1: Non-negatività

$H(X) \geq 0$

L'uguaglianza vale se e solo se un $p_i = 1$ (sorgente deterministica).

Dimostrazione: Poiché $0 \leq p_i \leq 1$, abbiamo $\log(p_i) \leq 0$, quindi $-p_i \log(p_i) \geq 0$. □

Proprietà 2: Entropia Massima

Per n risultati, $H(X) \leq \log_2(n)$, con uguaglianza se e solo se $p_i = 1/n$ per tutti gli i (distribuzione uniforme).

Dimostrazione (usando la disuguaglianza di Jensen):

Il logaritmo è strettamente concavo, quindi:

$\sum p_i \log(1/p_i) \leq \log(\sum p_i \times 1/p_i) = \log(n)$

L'uguaglianza richiede che tutti i p_i siano uguali. □

Interpretazione: La massima incertezza si verifica quando tutti i risultati sono ugualmente probabili. Qualsiasi deviazione dall'uniformità riduce l'entropia (aumenta la prevedibilità).

Proprietà 3: Additività per Sorgenti Indipendenti

Se X e Y sono indipendenti:

$H(X,Y) = H(X) + H(Y)$

Dimostrazione:

$$H(X,Y) = -\sum_i \sum_j p(x_i,y_j) \log p(x_i,y_j)$$

$$= -\sum_i \sum_j p(x_i)p(y_j) \log[p(x_i)p(y_j)]$$

$$= -\sum_i \sum_j p(x_i)p(y_j)[\log p(x_i) + \log p(y_j)]$$

$$= -\sum_i p(x_i) \log p(x_i) - \sum_j p(y_j) \log p(y_j)$$

$$= H(X) + H(Y) \square$$

19.5 Entropia Congiunta ed Entropia Condizionata

Entropia Congiunta

Per due variabili casuali X e Y:

$$H(X,Y) = -\sum_i \sum_j p(x_i,y_j) \log_2 p(x_i,y_j)$$

Questa misura l'incertezza totale sulla coppia (X,Y).

Entropia Condizionata

Definizione: L'entropia di Y dato che conosciamo X:

$$H(Y|X) = \sum_i p(x_i) H(Y|X=x_i)$$

$$= -\sum_i \sum_j p(x_i,y_j) \log_2 p(y_j|x_i)$$

Interpretazione: Incertezza media rimanente su Y dopo aver osservato X.

Regola della Catena

$H(X,Y) = H(X) + H(Y|X) = H(Y) + H(X|Y)$

Dimostrazione:

$$H(X,Y) = -\sum_i \sum_j p(x_i,y_j) \log p(x_i,y_j)$$

$$= -\sum_i \sum_j p(x_i,y_j) \log[p(x_i) \times p(y_j|x_i)]$$

$$= -\sum_i \sum_j p(x_i,y_j)[\log p(x_i) + \log p(y_j|x_i)]$$

$$= -\sum_i p(x_i) \log p(x_i) - \sum_i \sum_j p(x_i,y_j) \log p(y_j|x_i)$$

$$= H(X) + H(Y|X) \square$$

Esempio: Bigrammi Inglesi

Consideriamo coppie di lettere inglesi (bigrammi).

Ordine 0 (lettere indipendenti): $H_0 \approx 4.14$ bit/lettera

Ordine 1 (tenendo conto della lettera precedente):

$H(L_2|L_1)$ = entropia media data la lettera precedente ≈ 3.5 bit

Il condizionamento riduce l'entropia di ~0.64 bit perché l'inglese ha struttura - non tutte le combinazioni di lettere sono ugualmente probabili (ad es., "Q" è quasi sempre seguita da "U").

19.6 Informazione Mutua - Il Cuore della Comunicazione

Definizione: L'informazione mutua misura quanto l'apprendimento di X ci dice su Y:

$I(X;Y) = H(Y) - H(Y|X)$

$= H(X) - H(X|Y)$

$= H(X) + H(Y) - H(X,Y)$

Simmetria

Si noti che $I(X;Y) = I(Y;X)$ - l'informazione mutua è simmetrica. Questo è notevole: la quantità che X ci dice su Y è uguale alla quantità che Y ci dice su X!

Non-negatività

$I(X;Y) \geq 0$

con uguaglianza se e solo se X e Y sono indipendenti.

Dimostrazione:

$I(X;Y) = H(Y) - H(Y|X)$

Ma $H(Y|X) \leq H(Y)$ (il condizionamento riduce l'entropia), quindi $I(X;Y) \geq 0$. □

Rappresentazione con Diagramma di Venn

Possiamo visualizzare le relazioni informazionali usando un "diagramma di Venn" (anche se tecnicamente non è un vero diagramma di Venn):

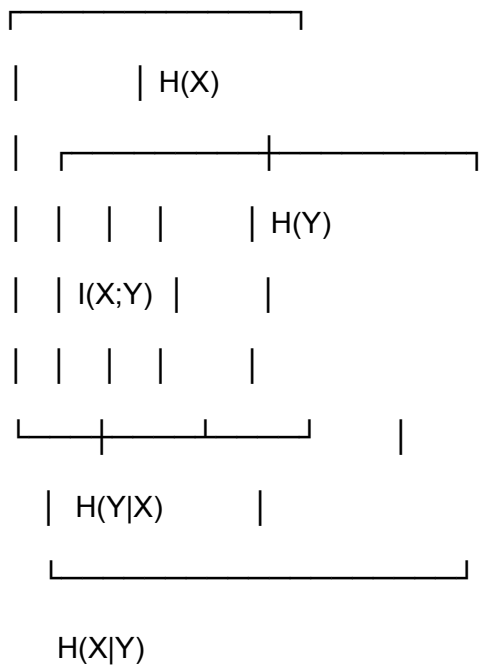

Dove:

- I(X;Y) è la sovrapposizione (informazione condivisa)
- H(X|Y) è informazione unica a X
- H(Y|X) è informazione unica a Y
- H(X,Y) = H(X|Y) + I(X;Y) + H(Y|X)

19.7 Entropia Relativa (Divergenza di Kullback-Leibler)

Definizione: La divergenza KL misura quanto la distribuzione P è diversa dalla distribuzione Q:

$D_{KL}(P||Q) = \sum p(x) \log_2[p(x)/q(x)]$

x

Proprietà Chiave

1. **Non-negatività**: D_KL(P||Q) ≥ 0, con uguaglianza se e solo se P = Q

Dimostrazione (usando la disuguaglianza di Jensen):

D_KL(P||Q) = ∑ p(x) log[p(x)/q(x)]

x

= -∑ p(x) log[q(x)/p(x)]

x

≥ -log[∑ p(x) × q(x)/p(x)] [Jensen per log concavo]

x

= -log[∑ q(x)] = -log(1) = 0 □

x

2. **Asimmetria**: D_KL(P||Q) ≠ D_KL(Q||P) in generale
3. **Non è una metrica**: Non soddisfa la disuguaglianza triangolare

Interpretazione come "Guadagno di Informazione"

D_KL(P||Q) rappresenta:

- Bit extra necessari quando si usa un codice ottimizzato per Q per codificare messaggi da P
- Sorpresa che sperimentiamo se assumiamo Q ma la realtà è P
- Informazione guadagnata aggiornando da un prior Q a un posterior P

Esempio: Moneta Truccata vs Moneta Equa

Sia P una moneta truccata con p(T) = 0.7, p(C) = 0.3 Sia Q una moneta equa con q(T) = q(C) = 0.5

$D_{KL}(P||Q) = 0.7 \times \log_2(0.7/0.5) + 0.3 \times \log_2(0.3/0.5)$

$= 0.7 \times 0.485 + 0.3 \times (-0.737)$

$= 0.340 - 0.221$

$= 0.119$ bit

Se assumiamo che la moneta sia equa ma in realtà è truccata, "sprechiamo" 0.119 bit per lancio in media usando un codice subottimale.

Connessione con la Massima Verosimiglianza

La stima a massima verosimiglianza è equivalente alla minimizzazione della divergenza KL:

$\theta_{ML} = \arg\min_{\theta} D_{KL}(P_{data} || P_\theta)$

Questo è il motivo per cui la massima verosimiglianza è la scelta "naturale" in statistica!

19.8 Entropia Incrociata

Definizione:

$H(P,Q) = -\sum_x p(x) \log q(x)$

Relazione con la Divergenza KL

$H(P,Q) = H(P) + D_{KL}(P||Q)$

Pertanto:

$H(P,Q) \geq H(P)$

L'entropia incrociata è sempre maggiore o uguale alla vera entropia.

Applicazione nel Machine Learning

Nella classificazione con distribuzione vera P e distribuzione predetta Q:

Loss dell'entropia incrociata:

$L = -\sum_i y_i \log(\hat{y}_i)$

dove y_i è l'etichetta vera (one-hot encoded), $\hat{y}_i$ è la probabilità predetta.

Minimizzare la loss dell'entropia incrociata è equivalente a minimizzare la divergenza KL tra distribuzioni vere e predette!

19.9 Teorema della Codifica Sorgente di Shannon (Primo Teorema)

La Domanda Fondamentale: Quanto possiamo comprimere i dati senza perdere informazione?

Enunciato del Teorema

Teorema (Shannon, 1948): Sia X una sorgente discreta senza memoria con entropia H(X). Allora:

La sorgente può essere codificata con lunghezza media delle codeword L che soddisfa:

$H(X) \leq L < H(X) + 1$

1.
2. Nessuna codifica può raggiungere $L < H(X)$

Interpretazione: L'entropia H(X) è il limite fondamentale della compressione senza perdita. Possiamo avvicinarci arbitrariamente ma mai scendere al di sotto.

Schema della Dimostrazione

Parte 1 (Raggiungibilità): Possiamo raggiungere $L < H(X) + 1$

Consideriamo la codifica del simbolo x_i con codeword di lunghezza:

$l_i = \lceil -\log_2 p_i \rceil$ (funzione ceiling)

Questo dà:

$-\log_2 p_i \leq l_i < -\log_2 p_i + 1$

Lunghezza media:

$L = \sum p_i l_i < \sum p_i(-\log_2 p_i + 1) = H(X) + 1$

Parte 2 (Converso): Non possiamo raggiungere $L < H(X)$

Supponiamo di avere un codice con lunghezze $\{l_i\}$. Per la disuguaglianza di Kraft per codici a prefisso:

$\sum 2^{(-l_i)} \leq 1$

Questo significa che $\{2^{(-l_i)}\}$ forma una distribuzione di probabilità. Chiamiamola $\{q_i\}$.

Lunghezza media:

$L = \sum p_i l_i = \sum p_i(-\log_2 q_i) = H(P,Q)$

Ma $H(P,Q) \geq H(P)$ con uguaglianza se e solo se $P = Q$.

Pertanto $L \geq H(X)$. □

Esempio: Codifica Ottimale

Sorgente con probabilità: p(A) = 1/2, p(B) = 1/4, p(C) = 1/8, p(D) = 1/8

Entropia:

$H = -[1/2 \times (-1) + 1/4 \times (-2) + 1/8 \times (-3) + 1/8 \times (-3)]$

$= 1/2 + 1/2 + 3/8 + 3/8$

$= 1.75$ bit/simbolo

Codice ottimale (Huffman):

- A: 0 (lunghezza 1)
- B: 10 (lunghezza 2)
- C: 110 (lunghezza 3)
- D: 111 (lunghezza 3)

Lunghezza media:

$L = 1/2 \times 1 + 1/4 \times 2 + 1/8 \times 3 + 1/8 \times 3$

$= 1/2 + 1/2 + 3/8 + 3/8$

$= 1.75$ bit/simbolo

Perfetto! $L = H(X)$ esattamente. Questo accade quando tutti i p_i sono potenze di 1/2.

19.10 Teorema della Capacità del Canale di Shannon (Secondo Teorema)

La Domanda Fondamentale: Quanta informazione può essere trasmessa in modo affidabile attraverso un canale rumoroso?

Modello del Canale

Un canale discreto senza memoria è caratterizzato da:

- Alfabeto di input X
- Alfabeto di output Y
- Probabilità di transizione p(y|x)

Per ogni simbolo di input x, il canale produce un output y secondo p(y|x).

Canale Binario Simmetrico (BSC)

Il canale non banale più semplice:

- Input: {0, 1}
- Output: {0, 1}
- Ogni bit viene invertito con probabilità p (probabilità di crossover)

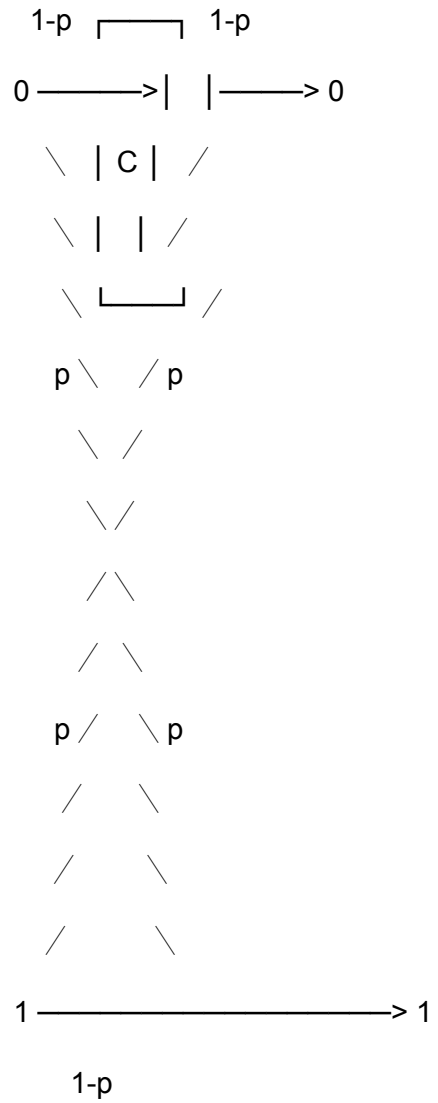

Capacità del Canale

Definizione: La capacità C di un canale è:

$$C = \max_{p(x)} I(X;Y)$$

Massima informazione mutua su tutte le possibili distribuzioni di input.

Per BSC:

$C = 1 - H(p) = 1 + p \log_2(p) + (1-p) \log_2(1-p)$

dove H(p) è la funzione di entropia binaria.

Casi speciali:

- p = 0 (canale perfetto): C = 1 bit
- p = 0.5 (totalmente rumoroso): C = 0 bit
- p = 1 (canale che inverte i bit): C = 1 bit (possiamo compensare perfettamente!)

Teorema della Capacità del Canale di Shannon

Teorema (Shannon, 1948): Per qualsiasi canale discreto senza memoria con capacità C:

1. Per qualsiasi tasso R < C, esistono codici che raggiungono una probabilità di errore arbitrariamente piccola
2. Per qualsiasi tasso R > C, la probabilità di errore è limitata lontano da zero

Interpretazione: Possiamo trasmettere fino a C bit per uso del canale in modo affidabile, ma non di più!

Esempio: BSC con p = 0.1

Capacità:

$C = 1 - H(0.1)$

$= 1 - [-0.1 \log_2(0.1) - 0.9 \log_2(0.9)]$

$= 1 - [0.332 + 0.137]$

$= 0.531$ bit per uso del canale

Se vogliamo trasmettere 1 bit di informazione, abbiamo bisogno di 1/0.531 ≈ 1.88 usi del canale.

Schema pratico: Codice di ripetizione (invia ogni bit 3 volte, prendi il voto di maggioranza)

- Tasso: 1/3 bit per uso del canale
- Probabilità di errore: $3p^2 - 2p^3 \approx 0.028$ per p = 0.1

Poiché 1/3 < 0.531, questo è sotto la capacità - potremmo fare meglio!

19.11 Teoria Rate-Distorsione

Nuova Domanda: Se permettiamo qualche perdita, quanto possiamo comprimere?

Configurazione

- Sorgente X con distribuzione p(x)
- Ricostruzione $\hat{X}$
- Misura di distorsione d(x, $\hat{x}$)

Misure di distorsione comuni:

- Hamming: d(x,$\hat{x}$) = 0 se x = $\hat{x}$, altrimenti 1
- Errore quadratico: d(x,$\hat{x}$) = (x - $\hat{x}$)²
- Errore assoluto: d(x,$\hat{x}$) = |x - $\hat{x}$|

Funzione Rate-Distorsione

Definizione: R(D) è il tasso minimo (bit) necessario per raggiungere distorsione ≤ D:

$R(D) = \min I(X;\hat{X})$

$p(\hat{x}|x)$:

$E[d(X,\hat{X})] \leq D$

Esempio: Sorgente Gaussiana

Per $X \sim N(0, \sigma^2)$ con distorsione da errore quadratico:

$R(D) = 1/2 \log_2(\sigma^2/D)$ per $D \leq \sigma^2$

$= 0$ per $D > \sigma^2$

Interpretazione:

- Per dimezzare la distorsione ($D \rightarrow D/2$), serve 1 bit aggiuntivo
- Equivalentemente: Ogni bit di tasso riduce la distorsione di un fattore 2

Questo spiega perché:

- Audio a 8 bit: gamma dinamica $2^8 = 256:1 \approx 48$ dB
- Audio a 16 bit: gamma dinamica $2^{16} = 65536:1 \approx 96$ dB
- Ogni bit aggiunge 6 dB di rapporto segnale-rumore

19.12 Il Significato Fisico dell'Entropia di Shannon

L'entropia di Shannon ha molteplici interpretazioni:

1. **Incertezza**: Imprevedibilità media prima di osservare il risultato
2. **Informazione**: Informazione media guadagnata dopo aver osservato il risultato
3. **Compressione**: Minimo numero medio di bit necessari per codificare la sorgente
4. **Casualità**: Numero di "lanci di moneta equa" equivalenti alla sorgente

L'Interpretazione dell'"Insieme Tipico"

Per n campioni indipendenti dalla distribuzione P:

Quasi tutte le sequenze hanno approssimativamente:

2^(nH) sequenze nell'"insieme tipico"

Questo è notevole: sebbene ci siano 2^n sequenze totali, solo circa 2^(nH) sono "tipiche" (hanno frequenze empiriche vicine alle vere probabilità).

Esempio: Moneta equa, n = 1000 lanci

- Sequenze totali: 2^1000 ≈ 10^301
- Sequenze tipiche (≈ 500 testa): ~10^301
- Sequenze con esattamente 500 testa: C(1000,500) ≈ 10^299

Quasi tutta la massa concentrata sull'insieme tipico!

Per l'Inglese (H ≈ 1.5 bit/carattere):

- Sequenza di 100 caratteri: ~2^150 ≈ 10^45 sequenze tipiche
- Ma totale: 27^100 ≈ 10^143 sequenze possibili
- L'insieme tipico è una frazione minuscola: 10^(-98)!

La maggior parte delle stringhe "casuali" dall'aspetto inglese non sono affatto come l'inglese reale.

Capitolo 20: Teoria Avanzata di Shannon - Estensioni e Applicazioni

20.1 Codifica Sorgente Universale

Problema: E se non conosciamo la distribuzione sorgente P?

Risposta: I codici universali funzionano bene per *qualsiasi* sorgente!

Algoritmi Lempel-Ziv

LZ77 e LZ78 (1977-1978) sono algoritmi di compressione universale senza perdita.

Idea chiave: Costruire dizionario di pattern visti precedentemente, riferirli con puntatori.

Esempio (stile LZ77):

Input: "ABRACADABRA"

Codifica:

A B R A C A D A B R A

↑ ↑ ↑ ↑ ↑ ↑ [4,3]

[6,1]

Output: "A B R A C A D [6,1] [4,3]"

Ottimalità asintotica (Ziv-Lempel):

lim (lunghezza compressa)/(n × H(sorgente)) = 1

n→∞

LZ è ottimale senza conoscere la distribuzione sorgente!

Codifica Aritmetica

Idea chiave: Rappresentare l'intero messaggio come singolo numero in [0,1).

Algoritmo:

1. Inizia con intervallo [0, 1)
2. Per ogni simbolo, suddividi l'intervallo corrente proporzionalmente alle probabilità dei simboli
3. Intervallo finale [low, high) - qualsiasi numero in questo intervallo decodifica il messaggio

Esempio: Codifica "ABBA" con p(A)=0.7, p(B)=0.3

Passo 0: [0.0, 1.0)

Passo 1 (A): [0.0, 0.7) [70% per A]

Passo 2 (B): [0.49, 0.7) [30% del precedente per B]

Passo 3 (B): [0.553, 0.7) [30% del precedente per B]

Passo 4 (A): [0.553, 0.6561) [70% del precedente per A]

Output: Qualsiasi numero in [0.553, 0.6561), ad es., 0.6

Lunghezza: $-\log_2$(larghezza) = $-\log_2(0.1031)$ = 3.28 bit

Lunghezza ottimale: H = $2\times(-0.7\log_{0.}7) + 2\times(-0.3\log_{0.}3)$ = 3.12 bit

Molto vicino! Si avvicina all'entropia per messaggi lunghi.

20.2 Codifica di Canale - Codici Moderni

Shannon dimostrò che la capacità può essere raggiunta, ma non fornì costruzioni esplicite. I codici moderni quasi raggiungono il limite di Shannon.

Codici Turbo (1993)

Struttura: Concatenazione parallela di codici convoluzionali con interleaver

Input —┬—> Encoder 1 —> Output 1

Decodifica: Passaggio iterativo di messaggi tra decodificatori

Prestazioni: Entro 0.5 dB dal limite di Shannon!

Usati in cellulare 3G/4G (LTE), comunicazione spaziale profonda (Cassini, rover marziani).

Codici LDPC (Low-Density Parity-Check)

Struttura: Matrice di controllo di parità sparsa H dove Hx = 0 (modulo 2)

Grafo di Tanner: Grafo bipartito che connette:

- Nodi variabili (bit)
- Nodi di controllo (vincoli di parità)

Decodifica: Propagazione di belief sul grafo fattoriale

Prestazioni: Possono raggiungere la capacità con complessità lineare!

Usati in:

- WiFi (802.11n/ac/ax)
- 5G NR
- TV satellitare DVB-S2
- Ethernet 10GBase-T

Codici Polari (2008)

Scoperta (Arıkan): Primi codici che raggiungono provabilmente la capacità con costruzione esplicita!

Idea chiave: Polarizzazione del canale attraverso trasformazione ricorsiva

N canali → N canali sintetizzati

dove alcuni diventano "perfetti" (capacità 1), altri "inutili" (capacità 0).

Codifica: Usa solo i canali perfetti per i bit informativi.

Complessità: O(N log N) per codifica e decodifica

Adozione: Selezionati per canali di controllo 5G

20.3 Teoria dell'Informazione per Reti

La teoria di Shannon si estende a reti con mittenti/ricevitori multipli.

Canale ad Accesso Multiplo (MAC)

Due mittenti, un ricevitore:

Mittente 1 ──┐

├─> Ricevitore

Mittente 2 ──┘

Regione di capacità (Cover-Thomas):

$R_1 < I(X_1; Y|X_2)$

$R_2 < I(X_2; Y|X_1)$

$R_1 + R_2 < I(X_1,X_2; Y)$

Compromesso essenziale: aumentare un tasso può diminuire l'altro.

Canale Broadcast

Un mittente, due ricevitori:

┌─> Ricevitore 1

Mittente ──┤

└─> Ricevitore 2

Broadcast degradato: Se Ricevitore 1 ha canale migliore di Ricevitore 2.

Strategia ottimale: **Codifica per sovrapposizione**

- Messaggio forte per Ricevitore 1 (alta potenza)
- Messaggio debole per Ricevitore 2 (bassa potenza)
- Ricevitore 1 decodifica entrambi, sottrae messaggio debole

Canale Relay

Mittente ──> Relay ──> Ricevitore

└──────────────────────>

Strategie:

- **Decode-and-Forward**: Il relay decodifica completamente, ricodifica
- **Compress-and-Forward**: Il relay comprime l'osservazione, inoltra
- **Amplify-and-Forward**: Il relay amplifica e inoltra

La capacità è ancora problema aperto per il canale relay generale!

20.4 Teoria dell'Informazione Quantistica

La teoria di Shannon si estende ai sistemi meccanici quantistici con differenze affascinanti.

Entropia Quantistica (von Neumann)

Per matrice densità ρ:

$S(\rho) = -Tr(\rho \log_2 \rho) = -\sum \lambda_i \log_2 \lambda_i$

dove λ_i sono gli autovalori di ρ.

Proprietà:

- $S(\rho) = 0$ per stati puri (nessuna incertezza classica!)
- $S(\rho) > 0$ per stati misti
- Entropia massima: $S = \log_2(d)$ per stato massimamente misto $\rho = I/d$

Informazione Mutua Quantistica

$I(A:B) = S(\rho_A) + S(\rho_B) - S(\rho_{AB})$

Differenza chiave: Può essere negativa per stati entangled!

I(A:B) negativo segnala correlazioni puramente quantistiche (discord).

Limite di Holevo

Invio di informazione classica usando stati quantistici:

Teorema (Holevo, 1973): Massima informazione classica estraibile:

$\chi = S(\sum p_i \rho_i) - \sum p_i S(\rho_i)$

Questa è la **quantità di Holevo**, limite superiore sull'informazione accessibile.

Esempio: Invio di bit classico usando due stati quantistici $|\psi_0\rangle$, $|\psi_1\rangle$

Se gli stati sono ortogonali: $\chi = 1$ bit (discriminazione perfetta) Se gli stati si sovrappongono: $\chi < 1$ bit (discriminazione imperfetta)

Capacità del Canale Quantistico

Per canale quantistico Φ:

$C_{classica} = \max_{\{p_i,\rho_i\}} \chi(\text{ensemble})$

$C_{quantistica} = \max_{\rho} I_c(\text{input:output})$

dove I_c è l'informazione coerente.

Sorprendente: La capacità quantistica può essere superadditiva!

$C_{quantistica}(\Phi \otimes \Phi) > 2 \times C_{quantistica}(\Phi)$

Questo non accade mai classicamente.

20.5 Teoria dell'Informazione nel Machine Learning

Il deep learning moderno usa pesantemente concetti information-theoretic.

Loss dell'Entropia Incrociata

Classificazione binaria:

$L = -[y \log(\hat{y}) + (1-y) \log(1-\hat{y})]$

Classificazione multi-classe:

$L = -\sum_i y_i \log(\hat{y}_i)$

Perché entropia incrociata? È la divergenza KL tra distribuzioni vere e predette!

Minimizzare entropia incrociata = Massimizzare verosimiglianza = Minimizzare divergenza KL

Teoria dell'Information Bottleneck

Information Bottleneck di Tishby (1999, 2015): Le reti profonde apprendono comprimendo l'input preservando informazione rilevante sull'output.

Obiettivo di ottimizzazione:

$\min I(X;T) - \beta I(T;Y)$

dove:

- T è rappresentazione intermedia (layer nascosto)
- X è input
- Y è etichetta
- β è parametro di compromesso

Affermazione: L'addestramento ha due fasi:

1. **Fitting**: Aumenta I(T;Y) rapidamente (apprende segnale)
2. **Compressione**: Diminuisce I(X;T) (rimuove rumore)

Controversia: Evidenza empirica mista, ancora ricerca attiva.

Mutual Information Neural Estimation (MINE)

Problema: Calcolare I(X;Y) per X, Y continui ad alta dimensione è intrattabile.

Soluzione (Belghazi et al., 2018): Usa rete neurale per stimare limite inferiore.

Basato sulla rappresentazione di Donsker-Varadhan:

$I(X;Y) \geq \sup_f E_P[f(x,y)] - \log(E_Q[e^{f(x,y)}])$

Addestra rete neurale f_θ per massimizzare questo limite.

Applicazioni:

- Selezione di feature
- Apprendimento di rappresentazioni
- Adattamento di dominio

Autoencoder Variazionali (VAE)

Obiettivo: Massimizzare evidence lower bound (ELBO)

$\log p(x) \geq E_q[\log p(x|z)] - D_{KL}(q(z|x)||p(z))$

Vista information-theoretic:

- Primo termine: Ricostruzione (rate)
- Secondo termine: Compressione (distorsione)

Questo è esattamente un problema rate-distorsione!

β-VAE: Controllo del flusso informativo

$L = E_q[\log p(x|z)] - \beta D_{KL}(q(z|x)||p(z))$

β più alto forza più compressione, potenzialmente migliore disentanglement.

Capitolo 21: Entropia Differenziale e Codifica Continua

Per variabili casuali continue con funzione di densità di probabilità p(x), Shannon definì l'entropia differenziale:

$h(X) = -\int p(x) \log_2(p(x)) dx$

dove l'integrale è esteso su tutto il dominio di X. A differenza dell'entropia discreta, l'entropia differenziale può essere negativa e non è invariante rispetto a trasformazioni monotone della variabile (non ha significato assoluto ma solo relativo).

Per una distribuzione uniforme su un intervallo [a, b]:

$p(x) = 1/(b-a)$ per $x \in [a,b]$ $h(X) = \log_2(b-a)$

Per una distribuzione gaussiana con varianza σ^2:

$p(x) = (1/\sqrt{(2\pi\sigma^2)}) \exp(-(x-\mu)^2/(2\sigma^2))$ $h(X) = (1/2) \log_2(2\pi e\sigma^2)$

La gaussiana ha la massima entropia differenziale tra tutte le distribuzioni con varianza fissata. Questo risultato, noto come principio di massima entropia, è fondamentale in inferenza bayesiana e in fisica statistica: in assenza di ulteriori informazioni, la distribuzione che assume meno ipotesi (massimizza l'ignoranza) è la gaussiana.

Per sistemi multidimensionali, l'entropia differenziale di una gaussiana n-dimensionale con matrice di covarianza Σ è:

$h(X) = (1/2) \log_2[(2\pi e)^n \det(\Sigma)]$

La capacità del canale gaussiano citata precedentemente si basa su queste formule.

Capitolo 22: Entropia Relativa e Divergenza di Kullback-Leibler

Solomon Kullback e Richard Leibler introdussero nel 1951 una misura della "distanza" tra due distribuzioni di probabilità, chiamata entropia relativa o divergenza di Kullback-Leibler (KL):

$D_{KL}(P||Q) = \Sigma_i p_i \log_2(p_i/q_i)$

per distribuzioni discrete, o:

$D_{KL}(p||q) = \int p(x) \log_2(p(x)/q(x)) dx$

per distribuzioni continue. Questa quantità misura quanto la distribuzione P differisce dalla distribuzione Q. Non è una metrica vera (non è simmetrica e non soddisfa la disuguaglianza triangolare), ma ha proprietà importanti:

1. **Non negatività**: $D_{KL}(P||Q) \geq 0$, con uguaglianza se e solo se P = Q (diseguaglianza di Gibbs).

2. **Additività**: Per distribuzioni indipendenti, $D_{KL}(P_1 \times P_2 \,||\, Q_1 \times Q_2) = D_{KL}(P_1||Q_1) + D_{KL}(P_2||Q_2)$.

La divergenza KL ha applicazioni vastissime:

- In machine learning, come funzione di perdita per addestrare modelli probabilistici
- In inferenza statistica, per confrontare ipotesi
- In teoria dell'informazione, per quantificare l'inefficienza di codifiche subottimali
- In fisica statistica, dove appare naturalmente in vari contesti

L'informazione mutua può essere espressa come una divergenza KL:

$I(X;Y) = D_{KL}(P(X,Y) \,||\, P(X)P(Y))$

misurando quanto la distribuzione congiunta differisce dal prodotto delle marginali (il caso di indipendenza).

PARTE QUINTA: UNIFICAZIONE E CONNESSIONI PROFONDE

Capitolo 23: L'Unità Profonda - Entropia Termodinamica e Information-Theoretic

23.1 Oltre la Somiglianza Formale - Equivalenza Fisica

Le formule appaiono simili:

Shannon: $H = -\sum p_i \log_2 p_i$ (bit) **Boltzmann**: $S = -k_B \sum p_i \ln p_i$ (J/K)

Ma questa non è coincidenza - descrivono la stessa realtà sottostante da prospettive diverse.

23.2 Il Motore di Szilard - L'Informazione come Fisica

Leo Szilard (1929) connesse informazione e termodinamica attraverso un esperimento mentale che risolse il demone di Maxwell.

Il Motore a Singola Molecola di Szilard

Configurazione:

1. Scatola con una molecola di gas a temperatura T
2. Inserire partizione al centro (nessun costo energetico se fatto lentamente)
3. Misurare quale lato ha la molecola (1 bit di informazione)
4. Attaccare peso appropriato e lasciare che la molecola spinga il pistone
5. Estrarre lavoro W

Analisi:

Lavoro estratto in espansione isoterma da V a 2V:

$W = k_B T \ln(2)$

Questo sembra violare il Secondo Principio! Abbiamo estratto lavoro senza differenza di temperatura.

Risoluzione: La misura nel passo 3 ha un costo termodinamico.

Misurare = acquisire 1 bit di informazione = deve aumentare entropia altrove di:

$\Delta S \geq k_B \ln(2)$

A temperatura T, questo significa dissipare:

$Q \geq T \times k_B \ln(2) = k_B T \ln(2)$

Esattamente il lavoro estratto! Equilibrio ripristinato.

23.3 Principio di Landauer - Il Collegamento Fondamentale

Principio di Landauer (1961): Cancellare informazione ha un costo termodinamico inevitabile.

Enunciato

Cancellare n bit di informazione a temperatura T richiede di dissipare almeno:

$Q_{min} = n k_B T \ln(2)$

come calore nell'ambiente.

Derivazione

Consideriamo una memoria a 1 bit (due stati: 0 e 1).

Stato iniziale: Noto essere in stato definito (diciamo, 0 o 1)

- Entropia: $S_{iniziale} = 0$ (nessuna incertezza)
- Volume spazio delle fasi: $\Omega_{iniziale}$

Stato finale (cancellato): Ripristinato a stato standard (diciamo, 0)

- Entropia: $S_{finale} = 0$
- Volume spazio delle fasi: $\Omega_{finale} = \Omega_{iniziale}/2$ (solo metà dello spazio delle fasi accessibile)

Processo: Deve essere logicamente irreversibile (mappatura 2→1)

Per il Secondo Principio per sistema totale (memoria + bagno):

$\Delta S_{totale} = \Delta S_{memoria} + \Delta S_{bagno} \geq 0$

La memoria ritorna allo stesso macrostato:

$\Delta S_{memoria} = 0$

Ma microscopicamente, lo spazio delle fasi accessibile si dimezza:

$\Delta S_{microscopica} = -k_B \ln(2)$

Questa entropia deve andare da qualche parte:

$\Delta S_{bagno} \geq k_B \ln(2)$

A temperatura T:

$Q \geq T \times k_B \ln(2) \approx 3 \times 10^{-21}$ J a T = 300K

Verifica Sperimentale

Berut et al. (2012): Verificato il limite di Landauer usando:

- Particella colloidale di 2 μm in potenziale a doppia buca (trappola ottica)
- Cancellato 1 bit abbassando una buca
- Misurata dissipazione di calore: $Q = (k_B T \ln 2) \times (1 \pm 0.15)$

Perfetto accordo con la teoria!

23.4 Il Fattore di Conversione - $k_B \ln(2)$

Il ponte tra informazione e termodinamica:

1 bit $\leftrightarrow k_B \ln(2)$ J/K $\approx 0.956 \times 10^{-23}$ J/K

A temperatura ambiente (T = 300K):

1 bit $\leftrightarrow 2.87 \times 10^{-21}$ J ≈ 0.018 eV

Questo è incredibilmente piccolo! Eppure è fondamentale.

Implicazioni Pratiche

I computer moderni dissipano ~10^6 - 10^{12} volte il limite di Landauer per operazione!

Tecnologia attuale (CMOS 7nm, 2023):

- Energia per flip di bit: ~10^{-15} J
- Limite di Landauer: ~10^{-21} J
- Gap: 10^6 = un milione di volte sopra il limite fondamentale!

Legge di Moore alla fine colpisce questo muro. Non si può migliorare l'efficienza energetica oltre il limite di Landauer con computazione irreversibile.

23.5 Il Demone di Maxwell - Risoluzione Completa

Ora possiamo risolvere completamente il demone di Maxwell con la teoria dell'informazione.

Il Ciclo Operativo del Demone

1. **Misurare velocità molecola**: Acquisire 1 bit di informazione
2. **Decidere se aprire porta**: Processare informazione (può essere reversibile)
3. **Aprire/chiudere porta**: Operazione meccanica (può essere reversibile se fatta adiabaticamente)
4. **Memorizzare risultato**: La memoria si riempie
5. **Ripristinare memoria**: Richiesto per operazione ciclica - QUESTO COSTA!

Analisi Quantitativa

Dopo N operazioni:

- **Apparente diminuzione entropia** nel gas: $\Delta S_{gas} \approx -N k_B \ln(2)$
- **Memoria riempita**: N bit memorizzati
- **Costo reset memoria**: $Q_{reset} \geq N k_B T \ln(2)$
- **Aumento entropia nel bagno**: $\Delta S_{bagno} = Q_{reset}/T \geq N k_B \ln(2)$

Totale: $\Delta S_{totale} = \Delta S_{gas} + \Delta S_{bagno} \geq 0$ ✓

Il demone può temporaneamente diminuire l'entropia del gas, ma solo memorizzando informazione. Per operare ciclicamente, deve cancellare informazione, generando entropia.

Demone Reversibile di Bennett (1982)

Bennett mostrò che il demone poteva operare reversibilmente fino al reset della memoria:

- Misura: Reversibile (entanglement demone-molecola)
- Logica: Reversibile (porte di Toffoli, ecc.)
- Operazione porta: Reversibile (adiabatica)

Unico passo irreversibile: Cancellazione memoria (mappatura logicamente irreversibile 2→1)

Questo identifica esattamente dove il Secondo Principio è applicato: nella cancellazione dell'informazione!

23.6 Il Principio di Massima Entropia di Jaynes

Edwin Jaynes (1957) rivoluzionò la meccanica statistica riformulandola come teoria dell'inferenza.

Il Principio

Dato: Vincoli (es., ⟨E⟩ = U) **Trovare**: Distribuzione di probabilità $\{p_i\}$ **Criterio**: Massimizzare entropia $S = -\sum p_i \ln p_i$

Perché? Questa è la distribuzione meno distorta coerente con la nostra informazione.

Derivazione dell'Ensemble Canonico

Vincoli:

1. Normalizzazione: $\sum p_i = 1$
2. Energia media fissa: $\sum p_i E_i = U$

Lagrangiana:

$L = -\sum p_i \ln p_i - \alpha(\sum p_i - 1) - \beta(\sum p_i E_i - U)$

Variazione: $\partial L/\partial p\square = 0$

$-\ln p\square - 1 - \alpha - \beta E\square = 0$

Soluzione:

$p\square = e^{(-1-\alpha)} e^{(-\beta E\square)} = Z^{-1} e^{(-\beta E\square)}$

dove $Z = \sum_i e^{(-\beta E_i)}$ (normalizzazione).

Identificazione: Il confronto con la termodinamica mostra $\beta = 1/(k_B T)$.

Risultato: La distribuzione di Boltzmann emerge dalla massima entropia!

Implicazioni Filosofiche

Vista di Jaynes: La meccanica statistica non riguarda probabilità "reali" ma ragionamento ottimale con informazione limitata.

L'entropia è:

- **Soggettiva**: Dipende da ciò che sappiamo
- **Logica**: Risposta unica al problema di inferenza
- **Predittiva**: Fa le migliori predizioni data l'informazione

Vista ortodossa: L'entropia è proprietà oggettiva del sistema fisico.

Risoluzione: Entrambe le viste danno gli stessi risultati pratici. La differenza è interpretativa.

23.7 Termodinamica dell'Informazione - Sviluppi Moderni

Il lavoro recente studia la termodinamica del processamento dell'informazione stesso.

Secondo Principio Generalizzato

Per sistema con informazione I misurata:

$\Delta S_{totale} \geq k_B I$

Più informazione = più produzione di entropia quando cancellata.

Controllo a Feedback e Motori Informatici

Configurazione: Usa misura per estrarre lavoro oltre il limite classico di Carnot.

Esempio (Toyabe et al., 2010): "Motore informativo" sperimentale

- Particella browniana in buca di potenziale
- Misura posizione
- Applica feedback (muove potenziale basato su misura)
- Estrae lavoro: $W \approx k_B T I$

Informazione convertita in lavoro! Ma il costo della misura bilancia esattamente.

Costo Termodinamico della Computazione

Risultato generale (Sagawa-Ueda, 2010):

Per computazione che trasforma input I in output O:

$\langle W \rangle - \Delta F \geq k_B T [S(I) - S(O)]$

La dissipazione dipende dal cambiamento di informazione!

Implicazioni:

- Copiare informazione: $\Delta S = 0 \rightarrow$ dissipazione minima $k_B T \ln(2)$
- Cancellare: $\Delta S = -k_B \ln(2) \rightarrow$ dissipazione minima $k_B T \ln(2)$
- Il principio di Landauer è caso speciale

23.8 Risoluzione del Paradosso dell'Informazione dei Buchi Neri

I buchi neri uniscono termodinamica e teoria dell'informazione nel regime estremo.

Il Paradosso (Hawking, 1975)

1. Il buco nero ha entropia $S_{BH} = A/(4\ell_P^2)$
2. Il buco nero evapora via radiazione di Hawking
3. La radiazione di Hawking è termica (massima entropia, nessuna informazione)
4. Stato iniziale puro → Stato finale misto
5. Questo viola l'unitarietà della meccanica quantistica!

Contenuto Informativo

Un buco nero di massa solare ha:

$S_{BH} \approx 10^{60} k_B$

Questo corrisponde a:

$I \approx 10^{60}$ bit $\approx 10^{49}$ TB

di informazione! Dove va quando il buco nero evapora?

Risoluzione Moderna - Formula dell'Isola

Scoperta recente (Almheiri et al., 2019-2020):

Formula entropia modificata:

$S(R) = \min[\text{Area}(\partial I)/(4G_N) + S_{QFT}(R \cup I)]$

dove:

- R = radiazione di Hawking (esterno)
- I = "isola" (regione interna)
- Minimo su tutte le possibili isole

Intuizione chiave: Dopo il tempo di Page (metà-vita del buco nero), l'isola emerge nell'interno.

Risultato: L'entropia della radiazione segue la **curva di Page**:

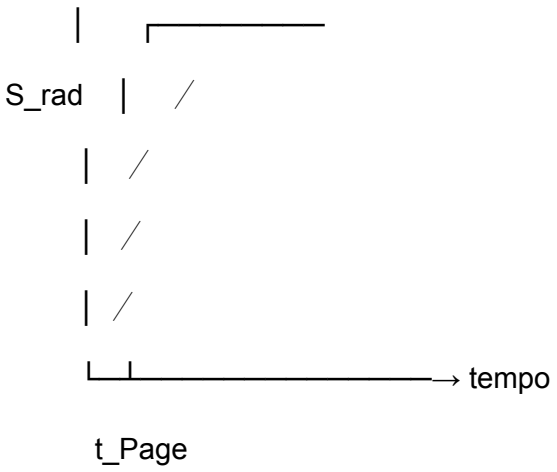

Inizialmente aumenta (radiazione termica), poi diminuisce (emerge informazione)!

Implicazione: L'informazione è preservata. Unitarietà ripristinata. L'entropia è più sottile di quanto pensato.

Principio Olografico

Il paradosso dell'informazione dei buchi neri portò al **principio olografico**:

Enunciato: Tutta l'informazione nel volume V è codificata sulla sua superficie limite A.

Informazione massima:

$I_{max} = A/(4\ell_P^2 \ln 2)$ bit

Questa è l'area in unità di Planck, divisa per 4 ln(2)!

Implicazione: Lo spazio può essere emergente dall'informazione quantistica. Entropia e geometria sono profondamente unificate.

Capitolo 24: Teoria dell'Informazione Quantistica ed Entropia di Entanglement

24.1 Entropia Quantistica - La Generalizzazione di von Neumann

John von Neumann (1927) estese l'entropia di Shannon alla meccanica quantistica.

Definizione

Per operatore densità ρ:

$S(\rho) = -Tr(\rho \log_2 \rho)$

Se $\rho = \sum \lambda_i |i\rangle\langle i|$ (decomposizione spettrale):

$S(\rho) = -\sum \lambda_i \log_2 \lambda_i$

Interpretazione: Entropia di Shannon della distribuzione degli autovalori.

Proprietà

Stati puri: $S(|\psi\rangle\langle\psi|) = 0$

- Lo stato puro non ha incertezza classica
- Singolo autovalore $\lambda = 1$

Stati misti: $S(\rho) > 0$

- La miscela classica ha incertezza
- Multipli autovalori $0 < \lambda_i < 1$

Entropia massima:

$S_{max} = \log_2(d)$

per stato massimamente misto $\rho = I/d$ in spazio di Hilbert d-dimensionale.

Esempio: Qubit

Stato generale di qubit:

$\rho = (1/2)[I + \vec{r}\cdot\vec{\sigma}]$

dove $\vec{r}$ è il vettore di Bloch con $|\vec{r}| \leq 1$.

Autovalori:

$\lambda\pm = (1 \pm |\vec{r}|)/2$

Entropia:

$S(\rho) = -\lambda_+ \log_2 \lambda_+ - \lambda_- \log_2 \lambda_-$

$= H((1+|\vec{r}|)/2)$ [entropia binaria]

Casi:

- $|\vec{r}| = 1$ (puro): S = 0
- $|\vec{r}| = 0$ (massimamente misto): S = 1 bit
- $|\vec{r}| = 0.5$: S ≈ 0.811 bit

24.2 Entropia di Entanglement - Correlazioni Quantistiche

Caratteristica quantistica chiave: I sottosistemi di stato puro possono avere entropia non nulla!

Stati Puri Bipartiti

Per stato puro $|\psi_{AB}\rangle$ di sistema composto AB:

Matrici densità ridotte:

$\rho_A = Tr_B(|\psi_{AB}\rangle\langle\psi_{AB}|)$

$\rho_B = Tr_A(|\psi_{AB}\rangle\langle\psi_{AB}|)$

Entropia di entanglement:

$S_A = S(\rho_A) = -Tr(\rho_A \log \rho_A)$

$S_B = S(\rho_B) = -Tr(\rho_B \log \rho_B)$

Fatto notevole: $S_A = S_B$ per $|\psi_{AB}\rangle$ puro!

Dimostrazione (decomposizione di Schmidt):

$|\psi_{AB}\rangle = \sum_i \sqrt{\lambda_i}\, |i_A\rangle\, |i_B\rangle$

Allora:

$\rho_A = \sum \lambda_i |i_A\rangle\langle i_A|$

$\rho_B = \sum \lambda_i |i_B\rangle\langle i_B|$

Stessi autovalori → Stessa entropia. □

Esempio: Stati di Bell

Massimamente entangled:

$|\Psi^+\rangle = (|00\rangle + |11\rangle)/\sqrt{2}$

Matrice densità ridotta:

$\rho_A = Tr_B(|\Psi^+\rangle\langle\Psi^+|)$

$= (1/2)(|0\rangle\langle 0| + |1\rangle\langle 1|)$

$= I/2$

Entropia:

$S_A = \log_2(2) = 1$ bit

Massimo entanglement = Massima entropia del sottosistema!

Stati Prodotto (Nessun Entanglement)

$|\psi\rangle = |\psi_A\rangle \otimes |\psi_B\rangle$

Gli stati ridotti sono puri:

$\rho_A = |\psi_A\rangle\langle\psi_A| \rightarrow S_A = 0$

$\rho_B = |\psi_B\rangle\langle\psi_B| \rightarrow S_B = 0$

Nessun entanglement = Entropia nulla dei sottosistemi!

Principio generale:

Entanglement ↔ Entropia del sottosistema

24.3 Informazione Mutua Quantistica

Per stato bipartito ρ_{AB}:

$I(A:B) = S(\rho_A) + S(\rho_B) - S(\rho_{AB})$

Proprietà Diverse dal Classico

Classico: $I(A:B) \geq 0$ sempre

Quantistico: Può avere comportamento peculiare:

1. **Stati puri**: $S(\rho_{AB}) = 0$, quindi:

   $I(A:B) = S(\rho_A) + S(\rho_B) = 2S(\rho_A)$

2. **Stati separabili**:

   $\rho_{AB} = \sum p_i \rho_A^{(i)} \otimes \rho_B^{(i)}$

   Allora $I(A:B)$ misura solo correlazioni classiche.

3. **Stati entangled**: $I(A:B)$ include correlazioni quantistiche.

Discord Quantistica

Discord quantistica di Ollivier-Zurek:

$D(A:B) = I(A:B) - J(A:B)$

dove $J(A:B)$ è correlazione classica (massimo su misure).

Interpretazione: D quantifica correlazioni puramente quantistiche oltre il classico.

Chiave: $D > 0$ anche per alcuni stati separabili (non entangled)!

Correlazioni quantistiche $\supset$ Entanglement

24.4 Subadditività Forte

Più importante disuguaglianza nella teoria dell'informazione quantistica.

Enunciato

Per qualsiasi stato tripartito ρ_{ABC}:

$S(\rho_{ABC}) + S(\rho_B) \leq S(\rho_{AB}) + S(\rho_{BC})$

Forma equivalente:

$S(\rho_A|\rho_B) \leq S(\rho_{AC}|\rho_B)$

Condizionare su più (C) non diminuisce l'entropia!

Implicazioni

Monotonicità dell'informazione mutua:

$I(A:BC) \geq I(A:B)$

Aggiungere sistema C può solo aumentare l'informazione mutua con A.

Disuguaglianza di Araki-Lieb (caso speciale con C = ∅):

$|S(\rho_A) - S(\rho_B)| \leq S(\rho_{AB}) \leq S(\rho_A) + S(\rho_B)$

Conseguenze per teoria quantistica dei campi:

- Vincoli di causalità
- Limiti sulla crescita dell'entanglement
- Leggi dell'area per stati fondamentali

24.5 Entropia di Entanglement nei Sistemi Quantistici Many-Body

L'entropia di entanglement rivela la struttura delle correlazioni quantistiche in sistemi complessi.

Legge dell'Area

Per sistemi quantistici in d dimensioni spaziali, lo stato fondamentale tipicamente soddisfa:

$S_A \propto \text{Area}(\partial A)$

dove A è una regione e ∂A è il suo confine.

Esempio: Catena di spin 1D

- Regione A di lunghezza L
- Confine: 2 punti
- $S_A \propto$ costante (indipendente da L)

Perché? Le correlazioni quantistiche sono a corto raggio - l'entanglement è concentrato vicino al confine.

Violazione della Legge dell'Area ai Punti Critici

Ai punti critici quantistici (transizioni di fase a T=0):

Sistemi 1D conformi:

$S_A = (c/3) \log(L/\varepsilon) + \text{costante}$

dove:

- c è la carica centrale della CFT
- ε è cutoff UV
- Crescita logaritmica invece di costante!

Interpretazione: Al punto critico, correlazioni diventano a lungo raggio, massimizzando entanglement.

Esempio: Modello di Ising Quantistico 1D

Hamiltoniana:

$H = -J\sum_i \sigma_i^x\sigma_{i+1}^x - h\sum_i \sigma_i^z$

Fasi:

- h << J: Fase ferromagnetica (ordine in x)
- h >> J: Fase paramagnetica (ordine in z)
- h = J: Punto critico quantistico

Entropia di entanglement:

- Fasi ordinate: S_A ≈ costante
- Punto critico: S_A = (1/6) log(L) + ...

La carica centrale c = 1/2 identifica la classe di universalità (Ising).

24.6 Capacità del Canale Quantistico e Codici Correttori

Capacità Classica di Canali Quantistici

Per canale quantistico Φ che invia stati ρ_i con probabilità p_i:

Teorema HSW (Holevo-Schumacher-Westmoreland):

$C = \max_{\{p_i,\rho_i\}} \chi(\{p_i, \rho_i\})$

dove χ è la quantità di Holevo:

$\chi = S(\sum p_i \rho_i) - \sum p_i S(\rho_i)$

Interpretazione: Massima informazione classica estraibile è limitata dall'entropia di von Neumann.

Capacità Quantistica

Per trasmettere informazione quantistica (qubit):

$Q(\Phi) = \max_{\rho} I_c(\rho, \Phi)$

dove I_c è informazione coerente:

I_c(ρ, Φ) = S(Φ(ρ)) - S_e(ρ, Φ)

con S_e entropia di scambio (exchange entropy).

Fenomeno notevole: Superattivazione

$Q(\Phi_1 \otimes \Phi_2) > Q(\Phi_1) + Q(\Phi_2)$

Due canali con Q = 0 possono combinati dare Q > 0!

Codici Correttori di Errori Quantistici

Condizioni di correggibilità (Knill-Laflamme):

Un codice può correggere errori $\{E_a\}$ se:

$\langle i|E_a^\dagger E_\beta|j\rangle = C_{a\beta}\,\delta_{i}$□

per tutti gli stati del codice $|i\rangle$, $|j\rangle$.

Esempio: Codice di Shor [[9,1,3]]

- 9 qubit fisici
- 1 qubit logico
- Distanza 3 (corregge 1 errore)

Stati logici:

$|0_L\rangle = (|000\rangle+|111\rangle)^{\otimes 3}/2\sqrt{2}$

$|1_L\rangle = (|000\rangle-|111\rangle)^{\otimes 3}/2\sqrt{2}$

Codici Stabilizer: Generalizzazione elegante basata su gruppo di Pauli.

Codici Surface: Disposizione 2D di qubit su reticolo

- Threshold ~ 1% errore fisico
- Overhead $O(d^2)$ per distanza d
- Implementati in processori quantistici (Google, IBM)

24.7 Teletrasporto Quantistico ed Entropia

Il teletrasporto quantistico trasferisce stato quantistico usando entanglement condiviso.

Protocollo

Risorse: Alice e Bob condividono stato di Bell $|\Phi^+\rangle$

Procedura:

1. Alice ha qubit sconosciuto $|\psi\rangle = \alpha|0\rangle + \beta|1\rangle$
2. Alice misura {$|\psi\rangle$, stato di Bell} in base di Bell
3. Alice invia 2 bit classici a Bob
4. Bob applica correzione unitaria basata sui bit
5. Bob ora ha $|\psi\rangle$!

Analisi entropica:

- Entanglement iniziale: S_AB = 0 (stato puro condiviso)
- Dopo misura: S aumenta (collasso)
- Comunicazione classica: 2 bit
- Entanglement finale: Consumato (non più entangled)

Bilancio: 1 ebit + 2 cbit → trasferimento 1 qubit

Superdense Coding

Processo inverso: usa 1 ebit per inviare 2 cbit!

Procedura:

1. Alice e Bob condividono $|\Phi^+\rangle$
2. Alice codifica 2 bit classici applicando unitaria al suo qubit
3. Alice invia suo qubit a Bob
4. Bob misura entrambi i qubit in base di Bell
5. Bob recupera 2 bit!

Analisi:

- Input: 1 ebit condiviso
- Canale: 1 qubit inviato
- Output: 2 bit classici

Entanglement aumenta capacità del canale!

Capitolo 25: Applicazioni Pratiche e Limiti Fondamentali

25.1 Compressione Dati nel Mondo Reale

JPEG - Compressione con Perdita per Immagini

Idea chiave: Sfrutta limitazioni della percezione visiva umana.

Pipeline:

1. **Trasformata Coseno Discreta (DCT)**: Converte blocchi 8×8 pixel in frequenze
2. **Quantizzazione**: Scarta coefficienti ad alta frequenza (poco visibili)
3. **Codifica entropia**: Huffman o aritmetica su coefficienti quantizzati

Analisi rate-distortion:

Rate $\propto \log_2(1/D)$

Qualità JPEG (Q = 0-100):

- Q = 95: ~5 bit/pixel, quasi lossless
- Q = 50: ~1 bit/pixel, buona qualità
- Q = 10: ~0.2 bit/pixel, artefatti visibili

Limiti teorici: Per immagini naturali con statistica $1/f^2$:

$R(D) \approx (1/2) \log_2(\sigma^2/D)$

JPEG è vicino ma non ottimale (JPEG2000 con wavelet fa meglio).

MP3 - Audio Compresso

Modello psicoacustico:

- Mascheramento in frequenza
- Mascheramento temporale
- Soglia assoluta di udibilità

Bitrate tipici:

- 320 kbps: Trasparente (indistinguibile da originale)
- 128 kbps: Buona qualità
- 64 kbps: Qualità accettabile per voce

Rapporto compressione: Audio CD (1411 kbps) → MP3 (128 kbps) ≈ 11:1

Entropia: Audio PCM ha ridondanza ~80%, MP3 rimuove molto di questo.

Video Coding (H.264, H.265, AV1)

Tecniche avanzate:

- **Predizione inter-frame**: Sfrutta ridondanza temporale
- **Predizione intra-frame**: Sfrutta ridondanza spaziale
- **Trasformate**: DCT, DST, o wavelet
- **Quantizzazione adattiva**: QP varia in base a contenuto
- **Context-adaptive entropy coding**: CABAC usa contesto per stima probabilità

Prestazioni:

- H.264/AVC: Standard oro (2003)
- H.265/HEVC: 50% bitrate di H.264 per stessa qualità
- AV1: 30% meglio di HEVC, royalty-free

Teorico vs pratico: I codec moderni sono 2-3× sopra limite rate-distortion teorico per video naturale.

25.2 Crittografia e Sicurezza Informazionale

Perfect Secrecy di Shannon

Teorema (Shannon, 1949): Un cifrario ha perfect secrecy se e solo se:

$I(M; C) = 0$

dove M è messaggio, C è ciphertext.

Condizioni necessarie e sufficienti:

1. $H(K) \geq H(M)$ (entropia chiave ≥ entropia messaggio)
2. Ogni chiave ugualmente probabile
3. Per ogni (m, c), esiste unica chiave k: E_k(m) = c

One-Time Pad:

- $M, K \in \{0,1\}^n$
- $C = M \oplus K$ (XOR)
- Se K è perfettamente casuale: perfect secrecy!

Problema pratico: Distribuzione e gestione chiave lunga quanto messaggio.

Entropia delle Password

Esempio: Password di 8 caratteri

- Solo lowercase (26): $H = 8 \times \log_2(26) \approx 37.6$ bit
- Alfanumerica (62): $H = 8 \times \log_2(62) \approx 47.6$ bit
- Con simboli (94): $H = 8 \times \log_2(94) \approx 52.4$ bit

Realtà: Le password umane hanno entropia molto inferiore

- Dizionari: ~15-20 bit
- Con sostituzione comune (a→@): ~22 bit
- Frasi pass (4 parole): ~40-50 bit

Attacco a forza bruta: Tempo ∝ 2^H

Raccomandazione: H ≥ 80 bit per sicurezza contro attacchi moderni.

Quantum Key Distribution (QKD)

Protocollo BB84:

1. Alice invia qubit in basi casuali (rectilinear o diagonal)
2. Bob misura in basi casuali

3. Alice e Bob confrontano basi pubblicamente
4. Mantengono bit dove basi coincidevano
5. Controllano subset per eavesdropping
6. Se tasso errore basso, distillano chiave sicura

Sicurezza informazionale:

$\Delta I_{Eve} \leq H(\text{errori osservati})$

Qualsiasi eavesdropping introduce disturbo misurabile.

Tasso chiave:

$r \leq I(\text{Alice:Bob}) - I(\text{Alice:Eve})$

Tipicamente ~1-10 kbit/s su fibra <100 km.

25.3 Limiti Fisici della Computazione

Limite di Landauer Rivisitato

Computer moderni:

- Operazione tipica: 10^{-15} J
- Limite Landauer (300K): 3×10^{-21} J
- Gap: $10^{6} \approx 1$ milione di volte

Proiezioni future:

- Nodi 3nm (2025): ~10^{-16} J
- Limite molecolare: ~10^{-19} J
- Ancora 100× sopra Landauer

Barriere tecnologiche:

1. Dissipazione interconnessioni
2. Leakage current
3. Variabilità dispositivi
4. Sincronizzazione clock

Limite di Margolus-Levitin (Velocità)

Teorema: Sistema con energia media E può eseguire al massimo:

$N_{max} = 4E/(\pi\hbar) = 2E/(\pi/2\ \hbar)$ operazioni/secondo

Per 1 Watt:

$N_{max} = 4 \times 1\ \text{J/s} / (\pi \times 1.055 \times 10^{-34}\ \text{J·s})$

$\approx 1.2 \times 10^{34}$ ops/s

Computer attuali: ~10^{12} ops/s **Gap**: 10^{22} ≈ 10 sextillion volte sotto il limite!

Limite di Bekenstein (Informazione in Volume)

Per sfera di raggio R e energia E:

$I \leq 2\pi RE/(\hbar c \ln 2)$

Per 1 kg in 1 litro (assumendo $E = mc^2$):

$I_{max} \approx 10^{31}$ bit

Implicazione: Computer "ultimate laptop" (Lloyd):

- 1 kg massa
- ~10^{51} ops/s
- ~10^{31} bit memoria
- Limite fisico assoluto!

25.4 Teoria dell'Informazione nelle Neuroscienze

Codifica Neurale

Spike train: Sequenza di potenziali d'azione

$\{t_1, t_2, t_3, ..., t\square\}$

Entropia rate di firing:

- Bin time: $\Delta t = 1$ ms
- Firing rate: $r \approx 5$ Hz tipico
- Probabilità spike: $p = r \times \Delta t = 0.005$
- Entropia per bin: $H \approx 0.04$ bit

Ma: Informazione nel timing preciso

$H_{totale} \approx 2\text{-}3$ bit/spike

Informazione Mutua Stimolo-Risposta

Quantità di interesse:

$I(S; R) = H(R) - H(R|S)$

Esperimenti (sistema visivo di mosca, Bialek et al.):

- $H_1(R)$: ~150 bit/s (variabilità intrinseca)

- I(S;R): ~90 bit/s (informazione su stimolo)
- Efficienza: 90/150 = 60%

Interpretazione: I neuroni sono canali informativi rumorosi ma efficienti.

Connettoma ed Entropia

Connettoma: Mappa completa di connessioni neurali

Entropia di rete:

H_strutturale = -∑□ P(k) log P(k)

dove P(k) è distribuzione dei gradi.

Cervello umano (~86 miliardi neuroni, ~10^{14} sinapsi):

- Se connessione casuale: H_max ≈ 10^{14} bit
- Realtà: Struttura altamente organizzata
- Entropia effettiva: Molto inferiore, riflette vincoli evolutivi

25.5 Principio di Massima Entropia in Pratica

Machine Learning

Maximum Entropy Models: Distribuzioni che massimizzano entropia dati vincoli.

Esempio: Classificazione testo

- Feature: f□(x, y) (es., "contiene parola W e classe C")
- Vincolo: 𝔼[f□] = c□ (osservato nei dati)
- Modello: Massimizza H(P) soggetto a vincoli

Risultato: Distribuzione esponenziale

P(y|x) = (1/Z(x)) exp(∑□ λ□ f□(x,y))

Equivalente a regressione logistica!

Inferenza Bayesiana

Prior non informativo: Scegli prior che massimizza entropia.

Esempi:

- Variabile su [a,b]: Uniforme
- Variabile positiva con media nota: Esponenziale
- Variabile reale con varianza nota: Gaussiana

Principio: Non assumere informazione non posseduta.

Capitolo 26: Entropia nelle Transizioni di Fase Quantistiche

Le transizioni di fase quantistiche (QPT) sono transizioni di fase che avvengono a temperatura zero quando un parametro del sistema (come un campo magnetico esterno o la pressione) viene variato attraverso un valore critico. A T = 0, le fluttuazioni termiche sono assenti, e la transizione è guidata esclusivamente da fluttuazioni quantistiche.

L'entropia termodinamica è zero (o trascurabile) a T = 0 per il terzo principio, ma l'entropia di entanglement mostra comportamenti drammatici all'intorno di una QPT. Consideriamo un sistema a molti corpi unidimensionale (una catena di spin, per esempio) e calcoliamo l'entropia di entanglement S_A di un segmento A della catena nello stato fondamentale.

Lontano dal punto critico, in una fase ordinata o disordinata, S_A tipicamente soddisfa una "legge dell'area": cresce proporzionalmente al numero di siti al confine tra A e il resto del sistema (che per una catena unidimensionale è semplicemente 2, i due estremi del segmento). Questo riflette correlazioni a corto raggio.

Al punto critico di una QPT, le correlazioni diventano a lungo raggio (la lunghezza di correlazione diverge), e S_A mostra una dipendenza logaritmica dalla lunghezza L_A del segmento:

$S_A \propto (c/3) \ln(L_A)$

dove c è la carica centrale della corrispondente teoria dei campi conforme (CFT) che descrive il punto critico. Questo comportamento logaritmico è una firma distintiva della criticità quantistica ed è stato verificato sia analiticamente per modelli esattamente risolubili (come la catena XY quantistica) sia numericamente per sistemi più complessi.

La carica centrale c è una quantità universale che classifica le CFT: c = 1/2 per il modello di Ising critico, c = 1 per un bosone libero, ecc. L'entropia di entanglement fornisce quindi un modo per identificare la classe di universalità della QPT senza dover calcolare correlatori complessi.

Questo comportamento è analogo alla legge dell'area per l'entropia dei buchi neri, ma con una dimensione ridotta: in d=1 dimensione spaziale, il "confine" è zero-dimensionale (due punti), ma a causa delle correlazioni critiche a lungo raggio, emerge una dipendenza logaritmica che funge da anomalia dell'area.

Capitolo 27: Termodinamica Stocastica e Relazioni di Fluttuazione

La termodinamica stocastica è un'estensione moderna della termodinamica che si applica a sistemi piccoli (poche particelle o molecole) o che operano lontano dall'equilibrio, dove le fluttuazioni non sono trascurabili. In questi sistemi, grandezze come il lavoro compiuto o il calore scambiato non sono quantità deterministic he ma variabili casuali.

Un risultato fondamentale è il teorema di fluttuazione di Crooks (1999), che generalizza il secondo principio della termodinamica. Consideriamo un processo in cui un sistema evolve da uno stato iniziale di equilibrio a temperatura T sotto un protocollo temporale (per

esempio, variando un parametro esterno come il volume). Sia W il lavoro compiuto sul sistema. Il teorema di Crooks afferma che:

$$P_F(W) / P_R(-W) = \exp[(W - \Delta F)/(k_B T)]$$

dove $P_F(W)$ è la distribuzione di probabilità del lavoro nel processo diretto (forward), $P_R(-W)$ è la distribuzione del lavoro nel processo inverso (reverse), e ΔF è la differenza di energia libera tra gli stati finale e iniziale.

Da questa relazione si può derivare la disuguaglianza di Jarzynski (1997):

$$\langle \exp(-W/(k_B T)) \rangle = \exp(-\Delta F/(k_B T))$$

dove $\langle ... \rangle$ denota la media su tutte le realizzazioni stocastiche del processo. Prendendo il logaritmo:

$$\Delta F = -k_B T \ln \langle \exp(-W/(k_B T)) \rangle$$

Per processi irreversibili, $W > \Delta F$ in media, ma la formula di Jarzynski permette di calcolare esattamente ΔF da misure di W anche in processi arbitrariamente lontani dall'equilibrio, un risultato notevole.

Usando la disuguaglianza di Jensen ($\ln\langle x \rangle \geq \langle \ln x \rangle$ per variabili positive):

$$-\Delta F/(k_B T) = \ln \langle \exp(-W/(k_B T)) \rangle \geq \langle -W/(k_B T) \rangle$$

quindi:

$$\langle W \rangle \geq \Delta F$$

che è la versione tradizionale del secondo principio: il lavoro medio estratto è limitato dalla differenza di energia libera.

Queste relazioni di fluttuazione hanno implicazioni profonde per la termodinamica di sistemi piccoli, inclusi nanomacchine, motori molecolari biologici, e dispositivi quantistici. Stabiliscono limiti fondamentali su quanto efficacemente possiamo estrarre lavoro da sistemi microscopici e forniscono strumenti per misurare differenze di energia libera da esperimenti su singole molecole.

L'entropia di un sistema piccolo diventa essa stessa una variabile stocastica fluttuante. La produzione di entropia σ in un processo irreversibile è definita come:

$$\sigma = \Delta S_{tot} = \Delta S_{sistema} + \Delta S_{bagno} \geq 0$$

dove ΔS_{tot} è la variazione totale di entropia (sistema + ambiente). Il teorema di fluttuazione dettagliato (detailed fluctuation theorem) stabilisce che:

$$P(\sigma) / P(-\sigma) = \exp(\sigma/k_B)$$

La probabilità di osservare una produzione di entropia negativa (violazione apparente del secondo principio) decresce esponenzialmente con $|\sigma|$. Per sistemi macroscopici, queste

fluttuazioni sono completamente trascurabili, ma per sistemi piccoli osservati per tempi brevi, violazioni temporanee del secondo principio sono possibili e sono state osservate sperimentalmente.

Capitolo 28: Entropia e Complessità Algoritmica

Negli anni 1960, Ray Solomonoff, Andrey Kolmogorov e Gregory Chaitin svilupparono indipendentemente una teoria dell'informazione algoritmica basata sulla complessità di Kolmogorov. Questa teoria fornisce una definizione alternativa di informazione e entropia basata sulla computazione piuttosto che sulla probabilità.

La complessità di Kolmogorov K(x) di una stringa binaria x è definita come la lunghezza del programma più corto (in un linguaggio di programmazione universale fissato) che produce x come output:

$K(x) = \min\{|p| : U(p) = x\}$

dove U è una macchina di Turing universale e |p| è la lunghezza del programma p. Intuitivamente, K(x) misura l'informazione "intrinseca" contenuta in x, indipendentemente dalla rappresentazione particolare.

Per una stringa casuale, $K(x) \approx |x|$ (la lunghezza della stringa stessa): non esiste compressione possibile. Per una stringa altamente strutturata come 0000...000 (n zeri), $K(x) << |x|$: il programma "stampa n zeri" è molto più corto della stringa stessa.

La complessità di Kolmogorov è collegata all'entropia di Shannon attraverso il teorema di Kolmogorov: per una sorgente che emette stringhe di lunghezza n secondo una distribuzione P, la complessità media delle stringhe è approssimativamente uguale all'entropia di Shannon moltiplicata per n:

$\langle K(X) \rangle \approx n \cdot H(X) + O(\log n)$

Questo stabilisce che l'entropia di Shannon misura la complessità algoritmica media per simbolo della sorgente.

La compressione dei dati è l'applicazione pratica di questi concetti. Algoritmi come Lempel-Ziv (LZ), Huffman coding, e algoritmi aritmetici cercano di avvicinarsi al limite teorico H(X) per la compressione senza perdita. La compressione con perdita (come JPEG per immagini o MP3 per audio) accetta di perdere informazione ritenuta percettivamente meno importante per ottenere rapporti di compressione maggiori.

Capitolo 29: Entropia Topologica ed Entanglement nei Sistemi Quantistici

Nei sistemi quantistici con ordine topologico, come i liquidi di spin quantistici o gli stati di Hall quantistici frazionari, l'entropia di entanglement contiene un termine universale che non dipende dalla geometria locale ma dalla topologia del sistema. Questo termine è chiamato entropia topologica.

Per un sistema bidimensionale in uno stato fondamentale con ordine topologico, l'entropia di entanglement di una regione A con confine di lunghezza L ha la forma:

$S_A = \alpha L - \gamma + ...$

dove α è un coefficiente non universale (proporzionale all'area del confine), γ è l'entropia topologica (universale), e i puntini rappresentano correzioni che decadono con la dimensione della regione. Il segno negativo davanti a γ indica una riduzione dell'entropia rispetto al valore atteso dalla legge dell'area.

L'entropia topologica γ è direttamente collegata alla dimensione quantistica totale del sistema:

$\gamma = \ln(D)$

dove $D = \sqrt{(\Sigma_a d_a^2)}$ è la dimensione quantistica totale, con d_a le dimensioni quantistiche delle diverse quasi-particelle anioniche del sistema. Per esempio, per il modello doppio quantistico Z_2 (toric code), esistono quattro tipi di anyoni con $d_a = 1$ per ciascuno, quindi $D = 2$ e $\gamma = \ln(2)$.

L'entropia topologica può essere estratta sperimentalmente o numericamente calcolando l'entropia di entanglement per diverse geometrie di regioni A e isolando il termine universale. È diventata uno strumento diagnostico importante per identificare l'ordine topologico in simulazioni numeriche e, potenzialmente, in esperimenti su sistemi di materia condensata.

Questa forma di entropia è particolarmente rilevante per il calcolo quantistico topologico, dove l'informazione quantistica è codificata in gradi di libertà topologici globali piuttosto che in qubit locali, rendendola intrinsecamente protetta dalla decoerenza locale.

Capitolo 30: Entropia nella Teoria dell'Informazione Quantistica

La teoria dell'informazione quantistica estende i concetti di Shannon al regno quantistico, dove stati, operazioni e misure sono descritti dalla meccanica quantistica. L'entropia di von Neumann $S(\rho) = -\mathrm{Tr}(\rho \ln \rho)$ è la quantità fondamentale, analoga all'entropia di Shannon.

Per un qubit in uno stato misto descritto da:

$\rho = (1/2)[I + \vec{r}\cdot\vec{\sigma}]$

dove $\vec{r}$ è il vettore di Bloch con $|\vec{r}| \leq 1$ e $\vec{\sigma}$ sono le matrici di Pauli, l'entropia è:

$S(\rho) = -(1+|\vec{r}|)/2 \cdot \ln((1+|\vec{r}|)/2) - (1-|\vec{r}|)/2 \cdot \ln((1-|\vec{r}|)/2)$

Per uno stato puro ($|\vec{r}| = 1$), $S = 0$. Per uno stato massimamente misto ($|\vec{r}| = 0$, $\rho = I/2$), $S = \ln(2) \approx 0.693$ nat o 1 bit.

L'informazione mutua quantistica è definita come:

$I(A:B) = S(\rho_A) + S(\rho_B) - S(\rho_{AB})$

Per stati classicamente correlati, $I(A:B) \geq 0$ misura le correlazioni classiche. Per stati entangled, possono esistere correlazioni quantistiche aggiuntive non catturate da $I(A:B)$. La

discord quantistica, introdotta da Ollivier e Zurek, quantifica queste correlazioni puramente quantistiche.

Un risultato fondamentale è la disuguaglianza di Araki-Lieb:

$|S(\rho_A) - S(\rho_B)| \leq S(\rho_{AB}) \leq S(\rho_A) + S(\rho_B)$

La disuguaglianza di destra esprime la subadditività: l'entropia congiunta non supera la somma delle entropie marginali (con uguaglianza per stati non correlati). La disuguaglianza di sinistra, peculiare alla meccanica quantistica, implica che per uno stato puro bipartito ($S(\rho_{AB}) = 0$), le entropie dei sottosistemi devono essere uguali: $S(\rho_A) = S(\rho_B)$.

Una proprietà ancora più forte è la strong subadditivity:

$S(\rho_{ABC}) + S(\rho_B) \leq S(\rho_{AB}) + S(\rho_{BC})$

valida per ogni tripartizione del sistema. Questa disuguaglianza, dimostrata da Lieb e Ruskai nel 1973, ha conseguenze profonde in teoria dell'informazione quantistica e nella struttura causale dello spazio-tempo.

Capitolo 31: Capacità dei Canali Quantistici

Un canale quantistico è una mappa completamente positiva e trace-preserving (CPTP) che trasforma stati quantistici:

$\Phi: \rho \rightarrow \Phi(\rho)$

I canali quantistici generalizzano i canali classici e includono fenomeni specificamente quantistici come decoerenza e dissipazione.

La capacità di un canale quantistico per trasmettere informazione classica è la capacità di Holevo-Schumacher-Westmoreland (HSW):

$C_{HSW} = \max_{\{p_i, \rho_i\}} [S(\Sigma_i p_i \Phi(\rho_i)) - \Sigma_i p_i S(\Phi(\rho_i))]$

dove la massimizzazione è su tutti gli ensemble $\{p_i, \rho_i\}$ di stati in input. Questa formula è l'analogo quantistico della capacità di Shannon ed è espressa in termini dell'entropia di von Neumann.

Per trasmettere informazione quantistica (qubit fedelmente), la capacità quantistica è in generale inferiore e più sottile da definire, richiedendo l'uso di codici correttori di errori quantistici. La capacità quantistica di un canale Φ con noise N è approssimativamente:

$Q(\Phi) \approx \max_\rho [S(\rho) - S(\Phi(\rho))]$

esprimibile come l'informazione coerente massimale.

Un risultato sorprendente è che l'informazione quantistica può essere trasmessa attraverso canali che, individualmente, hanno capacità quantistica zero, attraverso il fenomeno del superactivation. Canali che degradano completamente la coerenza quantistica possono, se usati in combinazione, permettere trasmissione quantistica fedele.

La capacità entanglement-assisted, quando mittente e ricevente condividono entanglement a priori, può essere superiore alla capacità classica o quantistica standard. Questo dimostra l'utilità dell'entanglement come risorsa per la comunicazione.

PARTE SESTA: APPLICAZIONI MODERNE E SVILUPPI TECNOLOGICI

Capitolo 32: Entropia nel Machine Learning e nell'Intelligenza Artificiale

L'entropia gioca ruoli molteplici nel machine learning moderno, dall'addestramento di modelli alla valutazione delle loro prestazioni.

Entropia crociata (cross-entropy): Una delle loss function più utilizzate nella classificazione. Per un problema di classificazione con C classi, dove y_i è la label vera (one-hot encoded) e ŷ_i è la predizione del modello (probabilità), la cross-entropy è:

$L_{CE} = -\Sigma_{i=1}^{C} y_i \log(\hat{y}_i)$

Per classificazione binaria (C=2), si riduce alla binary cross-entropy:

$L_{BCE} = -[y \log(\hat{y}) + (1-y) \log(1-\hat{y})]$

La cross-entropy $H(P,Q) = -\Sigma_i p_i \log(q_i)$ tra una distribuzione vera P e una predetta Q è sempre maggiore o uguale all'entropia H(P) della distribuzione vera:

$H(P,Q) = H(P) + D_{KL}(P||Q) \geq H(P)$

Minimizzare la cross-entropy equivale a minimizzare la divergenza KL tra la distribuzione vera e quella predetta.

Guadagno di informazione (information gain): Negli alberi decisionali (decision trees), il criterio per scegliere la feature migliore per uno split è tipicamente il guadagno di informazione:

$IG(D, A) = H(D) - \Sigma_{v \in Values(A)} (|D_v|/|D|) H(D_v)$

dove D è il dataset, A è una feature, e D_v sono i subset di D per cui A assume il valore v. Il guadagno di informazione misura la riduzione di entropia (quindi di incertezza sulla classe) ottenuta splittando secondo la feature A.

Regolarizzazione entropy: Per prevenire overfitting in reti neurali, si può aggiungere un termine di regolarizzazione che penalizza distribuzioni di output troppo confidenti:

$L_{total} = L_{task} + \lambda H(\hat{y})$

dove $H(\hat{y})$ è l'entropia della distribuzione di output. Questo incoraggia il modello a mantenere un livello di incertezza appropriato.

Variational Autoencoders (VAE): I VAE, introdotti da Kingma e Welling (2014), utilizzano l'entropia e la divergenza KL nella loro loss function. L'obiettivo è massimizzare l'evidence lower bound (ELBO):

ELBO = $\mathbb{E}$_q[log p(x|z)] - D_KL(q(z|x)||p(z))

dove q(z|x) è la distribuzione di encoding approssimata e p(z) è il prior (tipicamente gaussiano standard). Il primo termine è la likelihood di ricostruzione, il secondo regolarizza lo spazio latente attraverso la divergenza KL.

Entropia differenziale in normalizing flows: I normalizing flows imparano trasformazioni invertibili f: x → z che mappano dati complessi x a una distribuzione semplice z (tipicamente gaussiana). La log-likelihood è espressa come:

log p(x) = log p(z) + log|det(∂f/∂x)|

dove il secondo termine è il logaritmo del determinante Jacobiano, collegato alla conservazione della "probabilità totale" (analoga al volume nello spazio delle fasi).

Mutual Information Neural Estimation (MINE): Deep learning può essere usato per stimare l'informazione mutua tra variabili ad alta dimensione. MINE (Belghazi et al., 2018) usa reti neurali per approssimare il bound di Donsker-Varadhan sulla divergenza KL, permettendo di stimare I(X;Y) anche quando X e Y sono immagini o sequenze complesse.

Capitolo 33: Entropia nella Compressione dei Dati e Comunicazione

La compressione dei dati è forse l'applicazione più diretta della teoria dell'informazione di Shannon. Gli algoritmi moderni si avvicinano notevolmente al limite teorico H(X) per la compressione senza perdita.

Codifica di Huffman: Algoritmo greedy che costruisce un codice ottimale a prefisso assegnando codeword più corte ai simboli più frequenti. Per una sorgente con probabilità {p_1, p_2, ..., p_n} ordinate decrescentemente, la lunghezza media delle codeword è:

L_avg = Σ_i p_i l_i

dove l_i è la lunghezza della codeword per il simbolo i. Huffman garantisce:

H(X) ≤ L_avg < H(X) + 1

avvicinandosi al limite entropia entro 1 bit per simbolo.

Codifica aritmetica: Generalizzazione più potente che può codificare messaggi interi come un singolo numero nell'intervallo [0,1). Raggiunge efficienza ancora maggiore, specialmente per sorgenti con probabilità sbilanciate:

H(X) ≤ L_avg < H(X) + 2/n

dove n è la lunghezza del messaggio. All'aumentare di n, l'efficienza si avvicina arbitrariamente a H(X).

Lempel-Ziv (LZ): Famiglia di algoritmi (LZ77, LZ78, LZW) che non richiedono conoscenza a priori delle probabilità ma imparano la struttura del messaggio dinamicamente, sfruttando ripetizioni. Usati in formato ZIP, GIF, PNG. Asintoticamente ottimali per sorgenti ergodiche.

Compressione con perdita: Quando perdite controllate sono accettabili, si può ottenere compressione molto maggiore. La teoria rate-distortion quantifica il trade-off: dato un livello di distorsione massimo D ammissibile, qual è il rate minimo R(D) necessario?

Per una sorgente gaussiana con varianza σ^2 e distorsione quadratica media:

R(D) = (1/2) log_2(σ^2/D) per D ≤ σ^2

Questo mostra che ogni bit di rate aggiuntivo permette di ridurre la distorsione di un fattore 2 (o equivalentemente, ogni 6 dB di SNR richiede un bit per simbolo).

Codici LDPC e Turbo: Modern error-correcting codes che operano molto vicino al limite di Shannon. I codici LDPC (Low-Density Parity-Check), riscoperti da MacKay e Neal negli anni 1990, possono raggiungere capacità del canale con complessità lineare di decodifica. Usati in Wi-Fi (802.11n), satelliti, 5G.

Codici polari: Introdotti da Arıkan (2009), primi codici provabilmente ottimali con complessità di encoding/decoding O(N log N). Selezionati per 5G. Basati su una trasformazione ricorsiva che "polarizza" i canali sintetici: alcuni diventano perfetti (capacità 1), altri completamente rumorosi (capacità 0).

Capitolo 34: Entropia nella Crittografia e Sicurezza Informatica

L'entropia misura la sicurezza di sistemi crittografici quantificando l'imprevedibilità.

Entropia delle password: Una password di lunghezza L su un alfabeto di dimensione A ha al massimo log_2(A^L) = L log_2(A) bit di entropia. Una password casuale di 8 caratteri alfanumerici ha circa 8 × log_2(62) ≈ 47.6 bit di entropia. Tuttavia, password reali scelte da umani hanno entropia molto minore (tipicamente 20-30 bit) per strutture prevedibili.

Generatori di numeri casuali: Crittografia sicura richiede entropia genuina. Hardware random number generators (HRNG) estraggono entropia da processi fisici imprevedibili: thermal noise, shot noise quantistico, decadimenti radioattivi. Il rate di estrazione di entropia è limitato dalla fisica sottostante.

Perfect secrecy: Il cifrario di Vernam (one-time pad) offre perfect secrecy (Shannon, 1949): il ciphertext non fornisce alcuna informazione sul plaintext, formalmente I(M;C) = 0 dove M è il messaggio e C il cifrato. Questo richiede che la chiave K sia:

1. Lunga almeno quanto il messaggio: H(K) ≥ H(M)
2. Perfettamente casuale: entropia massima
3. Usata una sola volta (one-time)

Quantum Key Distribution (QKD): Protocolli come BB84 (Bennett-Brassard 1984) usano stati quantistici per distribuzione di chiavi crittografiche con sicurezza garantita dalle leggi della fisica quantistica. Un eavesdropper introduce disturbo misurabile. Il rate di generazione di chiave sicura R è limitato da:

R ≤ I(A:B) - I(A:E)

dove A, B sono Alice e Bob, E l'eavesdropper. La sicurezza deriva dall'entropia condizionata H(K|E) ≈ H(K) quando E ha informazione trascurabile.

Privacy differenziale: Framework per proteggere privacy in dataset statistici. Un meccanismo M soddisfa ε-differential privacy se per ogni coppia di dataset D, D' differenti per un singolo record:

P(M(D) ∈ S) ≤ e^ε · P(M(D') ∈ S)

L'aggiunta di ruido gaussiano con varianza σ^2 fornisce (ε,δ)-differential privacy dove ε dipende da σ^2 e dalla sensitività della query. L'entropia del rumore determina il livello di privacy garantito.

Capitolo 33: Entropia nei Sistemi Biologici

I sistemi biologici operano lontano dall'equilibrio termodinamico, mantenendo bassa entropia (alta organizzazione) a spese di aumentare l'entropia dell'ambiente.

Metabolismo ed entropia: Gli organismi consumano energia chimica ad alta qualità (bassa entropia) come glucosio e la degradano in prodotti ad alta entropia (CO_2, H_2O, calore). La variazione di entropia del sistema metabolico per ossidazione completa di una mole di glucosio:

C_6H_12O_6 + 6O_2 → 6CO_2 + 6H_2O

produce ΔS_sistema ≈ +180 J/(mol·K), ma genera molto più entropia nell'ambiente attraverso dissipazione termica, garantendo ΔS_totale > 0.

L'energia libera di Gibbs estratta (ΔG ≈ -2880 kJ/mol in condizioni standard) viene parzialmente immagazzinata in ATP (adenosina trifosfato), la "valuta energetica" cellulare. La sintesi di ATP da ADP è un processo che riduce localmente l'entropia:

ADP + P_i → ATP + H_2O ΔG° ≈ +30.5 kJ/mol

Questo processo endoergonico (ΔG > 0) è accoppiato a processi esoergonici (ΔG < 0) della catena respiratoria, permettendo l'auto-organizzazione cellulare.

Informazione genetica: Il DNA contiene informazione genetica codificata in sequenze di 4 nucleotidi (A, T, G, C). L'entropia massima teorica per una sequenza casuale è 2 bit per nucleotide (log_2(4) = 2). Tuttavia, le sequenze geniche reali hanno entropia inferiore per:

1. Bias composizionale (contenuto GC variabile)
2. Strutture ripetute
3. Regioni conservate evolutivamente

Algoritmi di compressione su genomi raggiungono rapporti 4:1 o superiori, suggerendo entropia effettiva ≈ 1.5 bit/nucleotide.

Codice genetico e ridondanza: Il codice genetico mappa 64 codoni (triplette di nucleotidi) a 20 amminoacidi + segnali di stop. La ridondanza (degenerazione) del codice fornisce

robustezza contro mutazioni. L'entropia condizionata H(amminoacido|codone) quantifica questa ridondanza.

Proteine e folding: La configurazione nativa (folded) di una proteina ha entropia conformazionale molto bassa rispetto allo stato unfolded. Il processo di folding è guidato dall'entropia idrofobica: espellere molecole d'acqua dall'intorno di residui idrofobici aumenta l'entropia dell'acqua più di quanto diminuisca l'entropia della proteina, rendendo il processo favorevole termodinamicamente ($\Delta G < 0$).

Reti neurali e cervello: Il cervello processa informazione con efficienza energetica notevole. La produzione di entropia per bit processato nei neuroni biologici è circa 10^{-10} J/K per spike, ordini di grandezza più efficiente dei computer elettronici attuali, che dissipano ~10^{-19} J per bit flip (ancora ben sopra il limite di Landauer $k_B T \ln(2) \approx 3 \times 10^{-21}$ J a temperatura ambiente).

Capitolo 36: Entropia Cosmologica e la Freccia del Tempo

L'entropia dell'universo fornisce una prospettiva cosmologica sulla freccia del tempo e sull'evoluzione del cosmo.

Entropia nell'universo primordiale: Subito dopo il Big Bang, l'universo era in uno stato di altissima temperatura e densità, ma sorprendentemente bassa entropia gravitazionale. La radiazione era in equilibrio termico (massima entropia per materia/radiazione data l'energia), ma la distribuzione di materia era quasi perfettamente omogenea, corrispondente a bassa entropia gravitazionale.

L'entropia della radiazione di corpo nero nell'universo primordiale scala come:

$$S_{rad} \propto V T^3 \propto a^3 (1/a)^3 = \text{costante}$$

dove $a(t)$ è il fattore di scala dell'universo. Sorprendentemente, l'entropia co-movente della radiazione rimane approssimativamente costante durante l'espansione adiabatica.

Entropia gravitazionale: La gravità è peculiare termodinamicamente. Mentre sistemi ordinari in equilibrio sono omogenei (massima entropia), sistemi gravitazionali tendono a raggrupparsi (stelle, galassie, buchi neri), aumentando l'entropia attraverso l'inhomogeneità. Il paradosso è risolto notando che la gravità ha "calore specifico negativo": sistemi gravitazionali legati diventano più caldi quando perdono energia.

L'entropia gravitazionale attuale dell'universo è dominata dai buchi neri supermassicci al centro delle galassie. Un buco nero di 10^9 masse solari ha entropia:

$$S_{BH} \approx 10^{77} k_B$$

Sommando su tutti i buchi neri nell'universo osservabile, l'entropia gravitazionale totale è $\approx 10^{103} k_B$, dominante su tutte le altre forme.

Entropia oscura e futuro cosmologico: L'espansione accelerata guidata dall'energia oscura (costante cosmologica Λ) porta a un futuro in cui regioni causalmente connesse si riducono progressivamente. L'orizzonte cosmico degli eventi ha entropia associata:

$S_\Lambda = (3\pi c\, k_B)/(\hbar G \Lambda) \approx 10^{122}\, k_B$

Questo è il massimo di entropia possibile nell'universo con costante cosmologica positiva, suggerendo un limite ultimo alla capacità informazionale del cosmo.

Il problema dell'entropia iniziale: Perché l'universo ha iniziato in uno stato di bassa entropia? Roger Penrose ha stimato che la probabilità di configurazione iniziale dell'universo, data la sua evoluzione successiva, è circa 1 su $10^{(10^{123})}$, un numero inconcepibilmente piccolo. Questa configurazione speciale è essenziale per la freccia del tempo e per l'esistenza di strutture complesse (stelle, vita). La risposta potrebbe coinvolgere meccanismi inflazionari, selezione antropica, o principi ancora ignoti.

Capitolo 37: Entropia e Computazione Reversibile

La computazione reversibile, dove ogni passo computazionale è invertibile, offre la possibilità teorica di computare senza dissipazione, aggirando il limite di Landauer.

Porte logiche reversibili: Una porta logica è reversibile se da output si può univocamente dedurre l'input. Le porte AND, OR, NOT sono irreversibili (AND: 2 input → 1 output, perdita di informazione). Porte reversibili fondamentali includono:

- **NOT gate**: reversibile (1 input, 1 output)
- **CNOT (Controlled-NOT)**: 2 input (control c, target t) → 2 output (c, $c \oplus t$)
- **Toffoli gate**: 3 input (a,b,c) → 3 output (a, b, $c \oplus (a \cdot b)$)
- **Fredkin gate**: 3 input (c,a,b) → 3 output (c, if c then b else a, if c then a else b)

Teorema di Bennett: Ogni computazione irreversibile può essere simulata reversibilmente con overhead polinomiale in tempo e spazio.

Computazione adiabatica: Per operare senza dissipazione, la computazione deve essere sufficientemente lenta (adiabatica) da mantenere il sistema sempre nel ground state instantaneo mentre i parametri cambiano. Il tempo richiesto scala come:

$T \propto 1/\Delta^2$

dove Δ è il gap energetico minimo tra ground state ed eccitazioni. Nel limite $T \to \infty$, la dissipazione → 0, ma il costo è una computazione arbitrariamente lenta.

Quantum computing: I computer quantistici sono intrinsecamente reversibili (evoluzione unitaria). Una computazione quantistica generica consiste di:

1. Preparazione dello stato iniziale $|0...0\rangle$
2. Evoluzione unitaria U (sequenza di gate quantistici)
3. Misurazione finale

Solo la misurazione è irreversibile e dissipativa. Le operazioni 1 e 2 possono (in teoria) avvenire senza dissipazione.

Il numero di gate logici eseguibili con una data energia E dissipabile in temperatura T è limitato da:

$N \leq E/(k_B T \ln(2))$

Per $E = 1$ J e $T = 300$ K, $N \approx 10^{21}$ operazioni. Computer attuali sono 10^9 - 10^{12} volte meno efficienti del limite termodinamico.

Capitolo 38: Entropia nell'Econofisica e Sistemi Complessi

L'entropia è stata applicata allo studio di sistemi economici e sociali, dando origine all'econofisica.

Entropia di Theil: Misura di disuguaglianza nella distribuzione del reddito:

$T = (1/n) \Sigma_i (y_i/\bar{y}) \ln(y_i/\bar{y})$

dove y_i è il reddito dell'individuo i, $\bar{y}$ il reddito medio, n la popolazione. $T = 0$ per distribuzione perfettamente uguale, T aumenta con la disuguaglianza. Decomponibile additivamente in componenti intra-gruppo e inter-gruppo.

Maximum entropy production (MEP): Principio proposto per sistemi lontani dall'equilibrio: tra stati stazionari possibili, il sistema seleziona quello che massimizza la produzione di entropia. Applicato a:

- Clima terrestre: la circolazione atmosferica massimizza il trasporto di calore dai tropici ai poli
- Ecosistemi: la successione ecologica tende verso comunità che massimizzano il flusso di energia
- Cristalli: la crescita cristallina seleziona morfologie che massimizzano la dissipazione

Il principio MEP rimane controverso e la sua validità generale non è provata, ma ha mostrato successo in sistemi specifici.

Distribuzione dei redditi: La distribuzione dei redditi in molte economie segue approssimativamente una legge di potenza (Pareto) per redditi alti e un'esponenziale per redditi bassi/medi. Modelli basati sulla massimizzazione dell'entropia sotto vincoli (reddito medio, ecc.) riproducono queste distribuzioni, suggerendo che emergano da principi statistici generali piuttosto che da meccanismi economici specifici.

Reti complesse: L'entropia di una rete (grafo) può essere definita in vari modi:

- Entropia strutturale: basata sulla distribuzione dei gradi dei nodi
- Entropia di comunità: basata sulla partizione in moduli
- Entropia del random walk: collegata al tempo di ritorno in passeggiate casuali

Queste misure quantificano la complessità e la robustezza delle reti, con applicazioni a reti sociali, biologiche (reti proteiche, metaboliche), e tecnologiche (Internet, power grids).

Criticità auto-organizzata (SOC): Fenomeno per cui sistemi evolvono spontaneamente verso stati critici caratterizzati da fluttuazioni a tutte le scale (invarianza di scala). Esempi: valanghe di sabbia, terremoti, estinzioni di massa. L'entropia in questi sistemi mostra

comportamenti non banali con distribuzione di eventi secondo leggi di potenza. La produzione di entropia media può restare costante mentre le fluttuazioni sono enormi.

Capitolo 39: Entropia nei Sistemi Fuori Equilibrio e Termodinamica Irreversibile

La termodinamica irreversibile, sviluppata principalmente da Lars Onsager, Ilya Prigogine e altri, estende la termodinamica classica a sistemi vicini all'equilibrio che subiscono processi irreversibili continui.

Produzione locale di entropia: Per un sistema continuo, definiamo la densità di entropia s(r,t) e il flusso di entropia J_s(r,t). L'equazione di bilancio locale è:

$\partial s/\partial t + \nabla \cdot J_s = \sigma$

dove σ(r,t) ≥ 0 è la produzione locale di entropia per unità di volume e tempo. Il secondo principio richiede σ ≥ 0 ovunque.

Relazioni di Onsager: Per sistemi vicini all'equilibrio, i flussi J_i di quantità conservate (calore, particelle, carica) sono linearmente proporzionali alle forze termodinamiche X_j (gradienti di temperatura, potenziale chimico, potenziale elettrico):

$J_i = \Sigma_j L_{ij} X_j$

dove L_ij sono coefficienti cinetici. Il teorema di reciprocità di Onsager afferma che la matrice L è simmetrica in assenza di campi magnetici:

$L_{ij} = L_{ji}$

Questo risultato profondo, dimostrato da Onsager nel 1931 usando l'ipotesi di reversibilità microscopica (simmetria temporale delle fluttuazioni), ha vaste applicazioni: termoelettricità (effetto Seebeck/Peltier), termodiffusione, elettro-osmosi.

Produzione di entropia e dissipazione: La produzione totale di entropia nel sistema è:

$dS/dt = \int \sigma \, dV = \Sigma_i J_i X_i \geq 0$

Questa è bilineare nei flussi e nelle forze. La dissipazione di energia (potenza dissipata) è $\Phi = T \sigma$, collegando direttamente produzione di entropia e dissipazione energetica.

Teorema di minima produzione di entropia (Prigogine): Per sistemi con forze termodinamiche fisse ai confini e vicini all'equilibrio, lo stato stazionario è caratterizzato da produzione minima di entropia compatibile con i vincoli. Questo fornisce un principio variazionale per determinare profili stazionari di temperatura, concentrazione, ecc.

Importante: questo principio vale solo vicino all'equilibrio con vincoli specifici. Lontano dall'equilibrio, non esiste un principio variazionale universale, e possono emergere strutture dissipative complesse (celle di Bénard, reazioni chimiche oscillanti, ecc.).

Strutture dissipative: Prigogine introdusse il concetto di strutture dissipative per sistemi lontani dall'equilibrio che mantengono organizzazione spaziale o temporale attraverso continua dissipazione di energia. Esempi:

- **Instabilità di Bénard**: Fluido riscaldato dal basso sviluppa celle convettive esagonali per ∇T sufficientemente grande
- **Reazione di Belousov-Zhabotinsky**: Oscillazioni chimiche persistenti con pattern spazio-temporali
- **Morfogenesi biologica**: Pattern di Turing in embriogenesi

Queste strutture sembrano violare localmente il secondo principio (creano ordine), ma lo rispettano globalmente: la produzione totale di entropia (sistema + ambiente) è positiva e spesso aumenta con la formazione delle strutture.

Capitolo 40: Entropia nella Meccanica dei Fluidi e Turbolenza

La turbolenza è uno dei problemi irrisolti più importanti della fisica classica, e l'entropia gioca un ruolo significativo nella sua descrizione.

Cascata energetica di Kolmogorov: In un flusso turbolento tridimensionale, l'energia viene iniettata a scale grandi (scala integrale L) e trasferita attraverso una cascata di vortici a scale progressivamente più piccole fino alla scala di Kolmogorov η, dove viene dissipata in calore dalla viscosità:

$$\eta = (\nu^3/\varepsilon)^{1/4}$$

dove ν è la viscosità cinematica e ε è il tasso di dissipazione energetica per unità di massa. Il range inerziale tra L e η è caratterizzato dallo spettro energetico:

$$E(k) \propto \varepsilon^{2/3} k^{-5/3}$$

dove k è il numero d'onda. Questo è il celebre spettro -5/3 di Kolmogorov.

Produzione di entropia in turbolenza: Il tasso di produzione di entropia in un fluido viscoso incompressibile è:

$$dS/dt = (\rho\nu/T) \int (\partial u_i/\partial x_j)^2 \, dV$$

dove ρ è la densità, u_i le componenti di velocità. In regime turbolento, questo è dominato dalle fluttuazioni alle piccole scale. La dissipazione viscosa converte irreversibilmente energia cinetica in calore, aumentando l'entropia.

Entropia spettrale: Per quantificare la distribuzione di energia tra modi, si definisce un'entropia spettrale:

$$S_{spec} = -\int p(k) \ln(p(k)) \, dk$$

dove $p(k) = E(k)/\int E(k')dk'$ è la probabilità normalizzata associata al numero d'onda k. Questa misura quanto l'energia è distribuita uniformemente tra le scale: alta per turbulenza completamente sviluppata, bassa per flussi laminari.

Turbolenza bidimensionale: Sorprendentemente, in 2D la cascata procede in direzione opposta: energia fluisce verso scale grandi (cascata inversa), mentre enstrofia (vorticity squared) fluisce verso scale piccole. Questo è rilevante per flussi atmosferici e oceanici su larga scala, effettivamente 2D per la stratificazione.

Transizione alla turbolenza: La transizione da flusso laminare a turbolento al crescere del numero di Reynolds:

Re = UL/v

coinvolge una serie di biforcazioni. L'entropia di Kolmogorov-Sinai (KS entropy), che misura il tasso di perdita di informazione su traiettorie, cresce con Re, quantificando l'aumentata imprevedibilità:

h_KS ∝ Re^α

con α ≈ 0.5-1 a seconda del flusso.

Capitolo 41: Entropia e Teoria del Caos

I sistemi caotici deterministici, sebbene governati da leggi determinate, mostrano comportamento imprevedibile a causa della sensibile dipendenza dalle condizioni iniziali. L'entropia fornisce strumenti per quantificare questo caos.

Esponenti di Lyapunov: Misurano il tasso esponenziale di divergenza di traiettorie infinitesimamente vicine. Per un sistema dinamico con stato x(t), l'esponente di Lyapunov massimo λ_max è:

λ_max = lim_{t→∞} lim_{δ→0} (1/t) ln(|δx(t)|/|δx(0)|)

Se λ_max > 0, il sistema è caotico. Il tempo di Lyapunov τ_L = 1/λ_max è la scala temporale caratteristica oltre cui previsioni deterministiche diventano inaffidabili.

Entropia di Kolmogorov-Sinai: Generalizzazione dell'entropia di Shannon per sistemi dinamici. Misura il tasso medio di creazione di informazione (o perdita di prevedibilità). Per un sistema ergodico:

h_KS = lim_{n→∞} (1/n) H(X_n | X_{n-1}, ..., X_0)

dove X_i rappresenta lo stato al tempo i e H è l'entropia condizionata. Per sistemi caotici con un attrattore, la formula di Pesin collega entropia KS agli esponenti di Lyapunov:

h_KS = Σ_{λ_i > 0} λ_i

sommando su tutti gli esponenti positivi.

Attrattori strani: I sistemi caotici spesso evolvono verso attrattori con struttura frattale nello spazio delle fasi. L'attrattore di Lorenz (dal modello di convezione):

dx/dt = σ(y - x) dy/dt = x(ρ - z) - y dz/dt = xy - βz

per σ = 10, ρ = 28, β = 8/3 mostra un attrattore con dimensione frattale D ≈ 2.06. La dimensione di correlazione e altre dimensioni frattali sono collegate all'entropia attraverso formalismo multifratale.

Caos quantistico: Mentre sistemi classici caotici hanno λ_max > 0, in meccanica quantistica l'evoluzione unitaria preserva l'entropia di von Neumann degli stati puri (rimane zero). Il caos quantistico si manifesta invece in:

- **Spettro energetico**: Spacing statistics seguono distribuzione di Wigner-Dyson (GOE/GUE) anziché Poisson
- **Out-of-time-order correlators (OTOC)**: Quantità C(t) = ⟨[W(t), V(0)]^2⟩ che cresce esponenzialmente con rate λ_L (esponente di Lyapunov quantistico) per sistemi caotici
- **Entropia di entanglement**: Cresce rapidamente fino a saturazione per stati inizialmente non entangled evoluti sotto Hamiltoniane caotiche

Il teorema di Maldacena-Shenker-Stanford stabilisce un limite superiore universale per λ_L in sistemi quantistici:

λ_L ≤ 2πk_B T/ħ

Saturato dai buchi neri, che sono i "sistemi più caotici" possibili.

Capitolo 42: Entropia Topologica in Matematica e Informatica Teorica

In matematica, l'entropia topologica misura la complessità di sistemi dinamici su spazi topologici.

Definizione di Adler-Konheim-McAndrew: Per una mappa continua f: X → X su uno spazio compatto X, data una cover aperta U di X, definiamo:

N(U) = numero minimo di elementi di U necessari a coprire X

Iterate covers: U^n = U ∨ f^(-1)(U) ∨ ... ∨ f^(-(n-1))(U) è la cover più fine generata da U e le sue iterate. L'entropia topologica rispetto a U è:

h(f, U) = lim_{n→∞} (1/n) ln N(U^n)

L'entropia topologica è:

h_top(f) = sup_U h(f, U)

Proprietà:

- Invariante sotto coniugazione topologica (classificazione di sistemi dinamici)
- Additiva: h_top(f^n) = n·h_top(f)
- Per shift map su simboli, h_top = ln(# simboli)

Collegamento con automi cellulari: L'entropia topologica quantifica la complessità di automi cellulari. Per esempio, Game of Life di Conway ha h_top > 0, indicando crescita esponenziale di pattern con le iterazioni.

Entropia kolmogorov e complessità: Per algoritmi e linguaggi formali, l'entropia di Kolmogorov h = lim_{n→∞} K(n)/n dove K(n) è la complessità di Kolmogorov media di stringhe di lunghezza n, misura la non-comprimibilità asintotica.

PARTE SETTIMA: FRONTIERE ATTUALI DELLA RICERCA

Capitolo 43: Emergenza della Località e Spazio-Tempo dall'Entanglement

Una delle frontiere più eccitanti è la comprensione dello spazio-tempo come struttura emergente dall'entanglement quantistico.

Teorema ER=EPR: Proposto da Maldacena e Susskind (2013), suggerisce equivalenza tra:

- **ER (Einstein-Rosen bridges)**: Wormholes connettenti regioni spazialmente separate
- **EPR (Einstein-Podolsky-Rosen pairs)**: Particelle entangled

Matematicamente, due buchi neri entangled sono connessi da un wormhole non-traversabile. Questo implica che la geometria spaziale emerge da pattern di entanglement.

Tensor networks e geometria: Stati quantistici in teoria dei campi possono essere rappresentati come tensor networks (MERA, TTN). La geometria della network (connettività, lunghezze) è strettamente collegata alla geometria spaziale emergente. In particolare:

$S_A \propto \min_\gamma \text{Area}(\gamma)$

dove γ è una superficie minima nella network che separa A dal resto. Questo riproduce la formula di Ryu-Takayanagi!

Complessità computazionale e geometria: Nielsen e collaboratori hanno proposto che la complessità dello stato quantistico (numero minimo di gate per prepararlo) è duale alla lunghezza di geodetiche nello spazio-tempo bulk. La "complessità=volume" e "complessità=azione" sono congetture che collegano quantità di teoria dell'informazione a geometria gravitazionale.

Geometria quantistica: A scale di Planck, lo spazio-tempo classico deve lasciare spazio a una descrizione quantistica. Loop quantum gravity e causal sets sono approcci che quantizzano direttamente la geometria. In loop quantum gravity, l'area A e il volume V sono quantizzati:

$A = 8\pi\gamma l_P^2 \Sigma_i \sqrt{j_i(j_i+1)}$ $V = (l_P^3/2) \Sigma_v \sqrt{|q_v|}$

dove j_i sono spin-network labels, γ è il parametro di Immirzi, e q_v sono quantità geometriche nei vertici. L'entropia di buchi neri emerge dal counting di microstati dei spin networks perforanti l'orizzonte.

Capitolo 42: Entropia di Entanglement nella Materia Condensata Quantistica

La materia condensata quantistica ha rivelato fasi esotiche della materia caratterizzate da pattern di entanglement a lungo raggio.

Isolanti topologici: Materiali con gap nel bulk ma stati conduttivi protetti topologicamente sulla superficie. L'entanglement entanglement entropy mostra contributi universali da stati edge:

$S_A = \alpha L - \gamma + ...$

dove il termine -γ (entropia topologica) è caratteristico della fase topologica. Per isolanti di Chern con numero di Chern C, $\gamma = \ln|C|$.

Superconduttori topologici: Ospitano modi di Majorana (fermioni che sono le proprie antiparticelle) agli estremi. Questi modi sono non-localmente entangled, permettendo computation topologicamente protetta. L'entropia di ground state mostra signature distintive della presenza di Majorana.

Spin liquids: Stati magnetici frustrati senza ordine convenzionale ma con ordine topologico. Il toric code è il modello prototipico. Ground state degeneracy dipende dalla topologia del sistema:

$g = 4^h$

dove h è il genus della superficie (h=0 sfera, h=1 toro). L'entropia termica $T \to 0$ è $S = k_B \ln(g)$, puramente topologica.

Many-body localization (MBL): Sistemi disordinati con interazioni che non termalizzano. Violano l'ipotesi ergodica: conservano memoria delle condizioni iniziali indefinitamente. L'entropia di entanglement cresce logaritmicamente con il tempo:

$S(t) \propto \ln(t)$

invece che linearmente (termalizzazione), signature chiara di MBL. Tuttavia, la stabilità di MBL per tempi infiniti è ancora dibattuta.

Capitolo 43: Entropia nella Teoria dei Campi Conforme (CFT)

Le CFT sono teorie quantistiche dei campi invarianti sotto trasformazioni conformi (rescaling locale delle distanze). Sono fondamentali per transizioni di fase continue e teoria delle stringhe.

Anomalia conforme: In d=2 dimensioni spaziali, l'entropia di entanglement di un intervallo di lunghezza L nella CFT (stato di vuoto) diverge:

$S = (c/3) \ln(L/\varepsilon) + s_0$

dove ε è un cutoff ultravioletto, c è la carica centrale (una costante che classifica la CFT), e s_0 è un termine non universale. La carica centrale appare!

Teorema c: (Zamolodchikov) In d=2, durante flussi del gruppo di rinormalizzazione dall'UV all'IR, la carica centrale non può aumentare:

c_UV ≥ c_IR

Questo è un secondo principio per CFT: l'informazione (misurata da c) si perde andando verso l'IR. Generalizzazioni a dimensioni superiori (a-theorem, F-theorem) sono state dimostrate.

Cariche centrali e gradi di libertà: In CFT, c conta effettivamente i gradi di libertà. Per N bosoni liberi, c = N. Per N fermioni liberi, c = N/2. Per teorie di gauge non-abeliane SU(N) fortemente accoppiate (large N limit), c ∝ N^2.

Entropia termale e modularità: In CFT su un toro con moduli (τ, τ̄), la funzione di partizione:

Z(τ, τ̄) = Tr(q^(L_0 - c/24) q̄^(L̄_0 - c̄/24))

dove q = e^(2πiτ), soddisfa invarianza modulare sotto trasformazioni τ → (aτ+b)/(cτ+d). Questo vincola fortemente lo spettro e l'entropia termica.

Capitolo 44: Entropia Quantistica e Correzioni Quantistiche

Le correzioni quantistiche alla formula di Bekenstein-Hawking per l'entropia dei buchi neri rivelano strutture profonde.

Correzioni logaritmiche: Calcoli in loop quantum gravity e string theory predicono correzioni:

S_BH = (A/(4l_P^2)) + α ln(A/l_P^2) + ...

Il coefficiente α dipende dai dettagli microscopici ed è universale in certi limiti. Per schwarzschild, α = -3/2 in alcune derivazioni.

Microcanonical entropy: Il counting di microstati in string theory (specialmente per certi BPS black holes) riproduce esattamente la formula di Bekenstein-Hawking, incluse prefactor. Modello Strominger-Vafa (1996) per buchi neri extremal:

S_micro = 2π√(n_1 n_5 n_p)

dove n_i contano cariche conservate, in perfetto accordo con S_BH termodinamica.

Island formula: Recente sviluppo (2019-2020) per risolvere il paradosso dell'informazione. L'entropia della radiazione di Hawking, includendo contributi di "isole" quantistiche nell'interno del buco nero:

S = min[ext{(Area(∂I)/(4G)) + S_QFT(R ∪ I)}]

dove I è la regione isola, R la radiazione esterna, e minimizzazione/extremizzazione è su configurazioni di I. Questa formula prevede che l'entropia decresce dopo la Page time, preservando unitarietà.

Entanglement wedge reconstruction: In AdS/CFT, regioni del bulk (entanglement wedge) possono essere ricostruite da operatori CFT nella regione boundary corrispondente. L'entropia di entanglement della regione boundary è uguale all'area della superficie minima (extremal surface) nel bulk. Questo fornisce un dizionario preciso entropia ↔ geometria.

Capitolo 45: Entropia nei Sistemi Quantistici Aperti

Sistemi quantistici realistici interagiscono con ambienti, portando a decoerenza e dissipazione.

Master equation: L'evoluzione della matrice densità ρ_S di un sistema accoppiato a un bagno è governata dalla master equation di Lindblad:

$$d\rho_S/dt = -i[H_S, \rho_S] + \Sigma_k \gamma_k(L_k \rho_S L_k† - (1/2)\{L_k†L_k, \rho_S\})$$

dove H_S è l'Hamiltoniana del sistema, L_k sono operatori di Lindblad (descrivono i canali di dissipazione), e γ_k i rispettivi tassi. Il primo termine è evoluzione unitaria, il secondo descrive decoerenza.

Crescita dell'entropia: Per sistemi aperti, l'entropia di von Neumann tipicamente aumenta:

$$dS/dt = -Tr(d\rho_S/dt \cdot \ln \rho_S) \geq 0$$

fino a saturazione allo stato di massima entropia compatibile con i vincoli (tipicamente lo stato termico del bagno). Questo è il secondo principio quantistico per sistemi aperti.

Quantum Thermodynamics: Campo emergente che estende termodinamica a singoli sistemi quantistici. Domande chiave:

- Come definire lavoro e calore per singole traiettorie quantistiche?
- Qual è l'equivalente quantistico delle macchine termiche?
- Esistono limitazioni puramente quantistiche (oltre Carnot) su estrazioni di lavoro?

Quantum Otto cycle: Ciclo termico quantistico operante su qubit. Efficienza:

$$\eta_Q = 1 - \omega_c/\omega_h$$

dove ω_c, ω_h sono frequenze dei livelli negli stati freddo/caldo. Può superare Carnot? No per cicli standard, ma con risorsa aggiuntive (entanglement, coherence) possono esistere vantaggi.

Extractable work: Il lavoro massimo estraibile da un sistema ρ non in equilibrio con un bagno a temperatura T è:

$$W_{max} = F(\rho) - F_{eq}$$

dove F(ρ) = Tr(ρH) - TS(ρ) è l'energia libera non-equilibrio, F_eq l'energia libera all'equilibrio. Le fluttuazioni quantistiche modificano questa relazione per singoli sistemi.

PARTE OTTAVA: SINTESI FILOSOFICA E PROSPETTIVE FUTURE

Capitolo 46: Natura Ontologica dell'Entropia

L'entropia solleva questioni filosofiche profonde sulla natura della realtà fisica.

Entropia: soggettiva o oggettiva? Due scuole di pensiero:

1. **Interpretazione soggettivista** (Jaynes): L'entropia misura la nostra ignoranza sullo stato microscopico. È una grandezza epistemica, non ontologica. Se conoscessimo tutte le posizioni e velocità molecolari, l'entropia sarebbe zero. Il secondo principio riflette l'aumento della nostra ignoranza, non una legge fisica fondamentale.

2. **Interpretazione oggettivista** (Boltzmann, moderni): L'entropia è una proprietà fisica reale del sistema. Il macrostato è tutto ciò che esiste operazionalmente. La distinzione micro/macro è fisica, non epistemica: il sistema "conosce" solo il suo macrostato, non microstato specifico. Il secondo principio è una legge fondamentale della natura.

La tensione non è completamente risolta. La meccanica quantistica, dove lo "stato" ρ può essere intrinsecamente misto (non dovuto a ignoranza classica), suggerisce una realtà più sottile: l'entropia di von Neumann ha carattere oggettivo anche per stati fondamentali entangled.

Emergenza: L'entropia è paradigmatica di grandezza emergente. Non esiste a livello di singola particella ma emerge statisticamente per molte particelle. Questo solleva domande:

- Le leggi termodinamiche sono fondamentali o derivate?
- Può l'emergenza essere riduzionista completa o richiede nuovi principi?

La risposta moderna tende verso: le leggi microscopiche sono fondamentali, ma le leggi termodinamiche, sebbene derivabili in linea di principio, rappresentano un livello di descrizione autonomo con propria validità e potere predittivo, non riducibile praticamente alla dinamica molecolare.

Freccia del tempo: L'asimmetria temporale della termodinamica (entropia aumenta verso il futuro) sembra in contraddizione con la simmetria delle leggi fondamentali. Risoluzioni proposte:

1. **Condizioni iniziali speciali** (Boltzmann, moderni): L'universo primordiale aveva entropia eccezionalmente bassa. Questa è una condizione al contorno, non una legge dinamica. Perché? Possibili risposte: principio antropico, meccanismo inflazionario che "resetta" entropia gravitazionale.

2. **Cosmologia ciclica**: L'universo attraversa cicli infiniti di espansione/contrazione. Ogni ciclo inizia con bassa entropia. Problema: come resettare entropia tra cicli?

3. **Multiverso**: Il nostro universo è uno tra infiniti, selezionato antropicamente per bassa entropia iniziale permette complessità → vita → osservatori.

4. **Leggi fondamentali time-asymmetric**: Forse CP violation, collasso della funzione d'onda in QM, o altri processi introducono asimmetria fondamentale. Controverso.

La questione rimane aperta, connettendo fisica, cosmologia e filosofia.

Capitolo 47: Entropia e Significato

L'informazione ha significato? L'entropia di Shannon misura quantità di informazione ma è indifferente al contenuto.

"ALEA IACTA EST" (messaggio significativo) e "FHVN RTBDM WOQ" (casuale) hanno entropia simile se i caratteri hanno frequenze simili. Ma il primo comunica, il secondo no.

Information vs. Meaning: Claude Shannon deliberatamente separò:

- **Syntactic level**: Quantità di informazione (entropia)
- **Semantic level**: Significato del messaggio
- **Pragmatic level**: Utilità/azione risultante

La teoria dell'informazione si occupa solo del primo. Tentativi di quantificare significato (Bar-Hillel, Carnap, semantic information theory) non hanno prodotto teoria largamente accettata.

Informazione di Fisher: In statistica, l'informazione di Fisher I(θ) misura quanto un ensemble di dati porta informazione su un parametro θ:

$I(\theta) = E[(\partial \ln p(x|\theta)/\partial\theta)^2]$

Diversa dall'entropia di Shannon, cattura precisione con cui θ può essere stimato. Collegata a entropia via relazione di Cramér-Rao.

Mutual information e causalità: Recenti sviluppi cercano di inferire relazioni causali da informazione mutua ritardata:

$I(X(t); Y(t+\tau))$ vs $I(Y(t); X(t+\tau))$

Se il primo è maggiore, X potrebbe causare Y. Transfer entropy raffina questo approccio. Applicazioni in neuroscienze (connettività cerebrale), clima, economia.

Capitolo 48: Limiti Fondamentali della Computazione e Misura

Limite di Landauer: Già discusso, ma implicazioni profonde:

- Ogni computer con memoria finita deve eventualmente cancellare, dissipando ≥ $k_B T \ln(2)$ per bit

- Computer perfettamente efficienti operanti al limite di Landauer con 1W di potenza a T=300K possono eseguire:

N = 1W / (k_B T ln(2)) ≈ 10^21 operazioni/secondo

Computer attuali: ~10^10-10^12 ops/sec, 10^9-10^11 volte lontani dal limite fisico!

Limite di Margolus-Levitin: Limite quantistico sulla velocità computazionale. Un sistema con energia E può eseguire al massimo:

N_max = 4E/(πℏ) = 4E/(h/2) = 2E/h

operazioni al secondo, dove h è la costante di Planck. Deriva dal principio di indeterminazione tempo-energia. Per 1J di energia:

N_max ≈ 3 × 10^33 ops/sec

Questo è il "limite di velocità cosmico" per computazione con energia data.

Lloyd's limit: Combinando Margolus-Levitin con volume disponibile, Lloyd calcolò che 1 kg di materia ottimamente arrangiata potrebbe eseguire ~5 × 10^50 ops/sec, memorizzare ~10^31 bit, e produrre entropia controllando perfettamente ogni grado di libertà. Un "ultimate laptop".

Bekenstein bound: Limite sulla massima informazione contenibile in una regione finita di spazio:

I ≤ 2πER/(ℏc ln(2))

dove E è l'energia, R il raggio. Più stringente del conteggio atomistico. Implica che l'universo osservabile (R ≈ 10^26 m, M ≈ 10^53 kg) può contenere al massimo ~10^120 bit.

Holographic principle: Versione più forte: l'informazione contenuta in un volume è limitata dall'area del suo confine:

I_max ≤ A/(4l_P^2 ln(2))

Questo è saturato dai buchi neri. Suggerisce che la fisica 3D è "olograficamente" codificata su una superficie 2D, con profonde implicazioni per gravità quantistica.

Capitolo 49: Entropia e Vita

La vita sembra violare il secondo principio: crea ordine (bassa entropia) da disordine. Risoluzione: gli organismi sono sistemi aperti.

Schrödinger: "What is Life?" (1944): Schrödinger propose che la vita si nutre di "entropia negativa" (negentropia):

ΔS_organismo < 0 ΔS_ambiente >> |ΔS_organismo| ΔS_tot > 0

Gli organismi mantengono bassa entropia interna esportando entropia nell'ambiente. Metabolismo: energia chimica alta qualità (glucosio, ATP) → calore (massima entropia).

Prigogine e vita come struttura dissipativa: Gli organismi sono strutture dissipative che mantengono organizzazione lontano dall'equilibrio attraverso continuo flusso di energia e materia. La morte è ritorno all'equilibrio termodinamico.

Information e DNA: Il genoma umano ~3 × 10^9 basi, teoricamente 2 bit/base = 6 × 10^9 bit ≈ 750 MB. Ma:

- Ridondanza (introns, sequenze ripetute) riduce informazione effettiva
- Compressione bioinformatica raggiunge ~100 MB
- Informazione "funzionale" ancora minore, forse ~10-50 MB

L'informazione genetica è solo una piccola frazione dell'informazione biologica totale, che include epigenetica, struttura 3D proteica, reti di regolazione, connettività neurale (nel cervello umano, forse 10^15 sinapsi ≈ petabyte).

Entropia e aging: L'invecchiamento può essere visto come aumento di entropia cellulare: accumulo di danni a DNA, proteine misfolded, disfunzioni mitocondriali. Teoricamente, manutenzione perfetta richiederebbe energia infinita (secondo principio). Invecchiamento potrebbe essere inevitabile termodinamicamente?

Origine della vita: Deve aver coinvolto transizione da chimica prebiotica (alta entropia) a primi replicatori (bassa entropia locale). Processi autocatalitici, ipercicli (Eigen), possono aver guidato self-organization sfruttando gradienti energetici (sole, geotermalismo). Dettagli ancora misteriosi.

Capitolo 50: Prospettive Future e Problemi Aperti

Concludiamo identificando frontiere della ricerca sull'entropia:

1. Gravità quantistica completa: Come unificare meccanica quantistica e relatività generale? L'entropia dei buchi neri è un indizio cruciale. Le teorie candidate (string theory, loop quantum gravity, causal sets) devono riprodurre S_BH = A/(4l_P^2). Risoluzione completa del paradosso dell'informazione. Origine microstata dell'entropia gravitazionale.

2. Entropia e coscienza: La coscienza è collegata all'elaborazione di informazione nel cervello. Integrated Information Theory (Tononi) propone che la coscienza corrisponda a alta informazione integrata Φ (misura quanto un sistema è più della somma delle parti). Controverso ma intrigante: l'entropia e informazione potrebbero essere chiavi per comprendere la coscienza?

3. Cosmologia dell'entropia: Perché l'universo ha iniziato con bassa entropia? Meccanismi inflazionari generici aumentano entropia, non la diminuiscono. Serve spiegazione più profonda, forse coinvolgente gravità quantistica, selezione antropica in multiverso, o nuovi principi cosmologici.

4. Dark energy e entropia: L'accelerazione cosmica è compatibile con il secondo principio? Alcuni modelli (cosmologie emergenti) propongono che dark energy emerga da proprietà entropiche dello spazio-tempo. Holographic dark energy models legano densità di energia oscura a entropia dell'orizzonte cosmico.

5. Computation reversibile e quantum computing: Quanto vicino possiamo arrivare ai limiti termodinamici? Quantum computers reversibili potrebbero dissipare solo durante misurazione. Future tecnologie potrebbero operare a ~k_B T, riducendo consumi energetici di 10^9 volte. Implicazioni enormi per AI, simulazioni, crittografia.

6. Entropia in biologia sistemica: Comprendere quantitativamente flussi entropici in cellule, organi, ecosistemi. Può la biologia essere riformulata come teoria dell'informazione + termodinamica? Information metabolism, metabolic entropy production in pathways, entropia e fitness evolutivo.

7. Emergenza spazio-temporale: Se spazio-tempo emerge da entanglement, come esattamente avviene? Può essere ricostruito da primi principi information-theoretic? Implications per buchi neri, Big Bang singularity, wormholes, time travel.

8. QuantumError Correction e spazio-tempo: I codici correttori quantistici (QECC) sono collegati alla struttura dello spazio-tempo in AdS/CFT. Errori locali ↔ perturbazioni bulk localizzate. Può la geometria dell'universo essere un codice QECC gigante?

9. Machine Learning e principi entropici: Può information theory fornire understanding teorico profondo di deep learning? Perché reti neurali generalizzano? Information Bottleneck principle (Tishby) propone che good representations massimizzino I(X;T) (informazione su input) minimizzando I(T;Y) (informazione su target). Entropia e compressione al core dell'apprendimento?

10. Quantum supremacy termodinamica: Oltre a speedup computazionale, i quantum computers possono superare macchine classiche termodinamicamente? Refrigerazione quantistica, extraction di lavoro da correlazioni quantistiche, quantum batteries, quantum thermal machines.

CONCLUSIONE: L'UNITÀ DELL'ENTROPIA

Abbiamo percorso un viaggio dall'entropia termodinamica di Clausius ($dS = \delta Q/T$), attraverso l'interpretazione statistica di Boltzmann ($S = k_B \ln \Omega$), l'entropia quantistica di von Neumann ($S = -\mathrm{Tr}(\rho \ln \rho)$), fino all'entropia informazionale di Shannon ($H = -\Sigma\, p_i \log p_i$) e oltre.

Ciò che emerge è un'unità profonda: l'entropia, in tutte le sue manifestazioni, misura tre concetti intimamente collegati:

1. **Ignoranza/Incertezza**: Quanto non sappiamo sullo stato preciso del sistema
2. **Molteplicità**: Quanti modi il sistema può realizzare il suo stato macroscopico
3. **Irreversibilità**: Quanto irreversibilmente il sistema è evoluto

Queste tre facce sono aspetti della stessa realtà fisica-informazionale. L'entropia è:

- Una legge fisica fondamentale (secondo principio)
- Una misura epistemica dell'informazione (Shannon)
- Una proprietà geometrica dello spazio-tempo (Bekenstein-Hawking)
- Un limite su computation e misura (Landauer, Margolus-Levitin)

- Una quantità termodinamica operazionale (Clausius, Gibbs)
- Un indicatore di correlazioni quantistiche (entanglement entropy)

La "unreasonable effectiveness" dell'entropia attraverso discipline disparate - dalla cosmologia alla teoria dell'informazione, dalla biologia alla computer science, dalla materia condensata alla gravità quantistica - suggerisce che abbiamo toccato qualcosa di veramente fondamentale sulla natura della realtà.

Forse l'entropia, più della massa, energia o anche spazio-tempo, è il concetto veramente primitivo da cui tutto il resto emerge. Come scrisse Wheeler: "It from bit" - l'informazione (e quindi l'entropia) potrebbe essere l'ontologia ultima.

La ricerca continua. Ogni risposta genera nuove domande. Ma una certezza rimane: l'entropia, in tutte le sue forme, continuerà a essere centrale nella nostra comprensione dell'universo fisico, e nel nostro posto in esso, fino agli ultimi attimi prima della morte termica - quando, forse, l'entropia avrà detto la sua ultima parola.

APPENDICI TECNICHE

Appendice A: Principali Formule dell'Entropia

Termodinamica Classica:

- Definizione di Clausius: $dS = \delta Q_{rev}/T$
- Secondo principio: $\Delta S_{isolato} \geq 0$
- Energia libera di Helmholtz: $F = U - TS$
- Energia libera di Gibbs: $G = H - TS = U + PV - TS$
- Relazioni di Maxwell: $(\partial S/\partial V)_T = (\partial P/\partial T)_V$

Meccanica Statistica:

- Boltzmann: $S = k_B \ln(\Omega)$
- Gibbs: $S = -k_B \Sigma_i p_i \ln(p_i)$
- Distribuzione canonica: $p_i = \exp(-\beta E_i)/Z$
- Funzione di partizione: $Z = \Sigma_i \exp(-\beta E_i)$
- Connessione: $F = -k_B T \ln(Z)$

Quantistica:

- Von Neumann: $S = -k_B \mathrm{Tr}(\rho \ln \rho)$
- Stato termico: $\rho = \exp(-\beta \hat{H})/Z$
- Entropia di entanglement: $S_A = -\mathrm{Tr}(\rho_A \ln \rho_A)$
- Subadditività forte: $S(ABC) + S(B) \leq S(AB) + S(BC)$

Informazione:

- Shannon: $H(X) = -\Sigma\, p_i \log_2(p_i)$

- Entropia congiunta: H(X,Y) = -Σ_{i,j} p(x_i,y_j) log_2(p(x_i,y_j))
- Entropia condizionata: H(Y|X) = H(X,Y) - H(X)
- Informazione mutua: I(X;Y) = H(X) + H(Y) - H(X,Y)
- Divergenza KL: D_KL(P||Q) = Σ_i p_i log(p_i/q_i)

Gravitazionale:

- Bekenstein-Hawking: S_BH = k_B c^3 A/(4Gℏ) = k_B A/(4l_P^2)
- Temperatura Hawking: T_H = ℏc^3/(8πGMk_B)
- Ryu-Takayanagi: S_A = Area(γ_A)/(4G_N)

Appendice B: Costanti Fondamentali

- Costante di Boltzmann: k_B = 1.380649 × 10^(-23) J/K
- Costante di Planck: h = 6.62607015 × 10^(-34) J·s
- Costante di Planck ridotta: ℏ = h/(2π) = 1.054572 × 10^(-34) J·s
- Velocità della luce: c = 299792458 m/s
- Costante gravitazionale: G = 6.67430 × 10^(-11) m^3/(kg·s^2)
- Lunghezza di Planck: l_P = √(Gℏ/c^3) = 1.616255 × 10^(-35) m
- Temperatura di Planck: T_P = √(ℏc^5/(Gk_B^2)) = 1.416784 × 10^32 K
- Conversione entropia: k_B ln(2) = 0.956 × 10^(-23) J/K per bit

Appendice C: Ordini di Grandezza

Entropie Caratteristiche:

- 1 bit a T=300K: S = k_B ln(2) ≈ 10^(-23) J/K
- 1 mole gas ideale (T=300K, P=1atm): S ≈ 150 J/K
- 1 kg acqua (liquido, 25°C): S ≈ 1300 J/K
- Sole (stella, M⊙): S ≈ 10^42 k_B
- Buco nero stellare (10 M⊙): S ≈ 10^60 k_B
- Buco nero supermassiccio (10^9 M⊙): S ≈ 10^77 k_B
- Orizzonte cosmico (Λ>0): S ≈ 10^122 k_B

Tempi Caratteristici:

- Tempo di Planck: t_P = l_P/c = 5.391 × 10^(-44) s
- Evaporazione BH stellare (10 M⊙): ~10^67 anni
- Evaporazione BH supermassiccio (10^9 M⊙): ~10^98 anni
- Età universo: ~1.38 × 10^10 anni
- Tempo ricorrenza Poincaré (gas macroscopico): ~exp(10^23) anni (>> età universo)

Appendice D: Bibliografia Essenziale Storica

Opere Fondamentali:

1. Carnot, S. (1824). "Réflexions sur la puissance motrice du feu"
2. Clausius, R. (1865). "Über verschiedene für die Anwendung bequeme Formen der Hauptgleichungen der mechanischen Wärmetheorie"

3. Boltzmann, L. (1877). "Über die Beziehung zwischen dem zweiten Hauptsatze der mechanischen Wärmetheorie und der Wahrscheinlichkeitsrechnung"
4. Gibbs, J.W. (1902). "Elementary Principles in Statistical Mechanics"
5. von Neumann, J. (1932). "Mathematische Grundlagen der Quantenmechanik"
6. Shannon, C. (1948). "A Mathematical Theory of Communication", Bell System Technical Journal
7. Bekenstein, J. (1973). "Black Holes and Entropy", Physical Review D
8. Hawking, S. (1975). "Particle Creation by Black Holes", Communications in Mathematical Physics

Testi Moderni Essenziali:

- Landau & Lifshitz, "Statistical Physics" (1980)
- Jaynes, E.T. "Probability Theory: The Logic of Science" (2003)
- Cover & Thomas, "Elements of Information Theory" (2006)
- Nielsen & Chuang, "Quantum Computation and Quantum Information" (2010)
- Wald, R. "General Relativity" (1984)
- Carrol, S. "From Eternity to Here: The Quest for the Ultimate Theory of Time" (2010)

APPENDICE E: CALCOLI DETTAGLIATI ED ESEMPI SVOLTI

E.1 Calcolo Completo: Entropia di Espansione Isoterma di un Gas Ideale

Consideriamo 1 mole di gas ideale (n = 1 mol) che si espande isotermicamente a temperatura T = 300 K da un volume iniziale V_1 = 10 L a un volume finale V_2 = 30 L. Vogliamo calcolare la variazione di entropia del gas, del bagno termico, e totale.

Passo 1: Variazione di entropia del gas

Per un gas ideale in espansione isoterma, l'energia interna non cambia (ΔU = 0), quindi tutto il calore assorbito viene convertito in lavoro:

$Q = W = \int(P\,dV) = \int(nRT/V)\,dV = nRT\ln(V_2/V_1)$

Numericamente:

- n = 1 mol
- R = 8.314 J/(mol·K)
- T = 300 K
- $V_2/V_1 = 30/10 = 3$

$Q = 1 \times 8.314 \times 300 \times \ln(3) = 2494.2 \times 1.0986 = 2739.8$ J

La variazione di entropia del gas è: $\Delta S_{gas} = Q/T = 2739.8/300 = 9.13$ J/K

Oppure direttamente: $\Delta S_{gas} = nR\ln(V_2/V_1) = 1 \times 8.314 \times \ln(3) = 9.13$ J/K

Passo 2: Variazione di entropia del bagno termico

Il bagno termico cede calore Q al gas mantenendo costante la sua temperatura (è infinitamente grande). Quindi:

$\Delta S_{bagno} = -Q/T = -2739.8/300 = -9.13$ J/K

Passo 3: Variazione totale di entropia

$\Delta S_{totale} = \Delta S_{gas} + \Delta S_{bagno} = 9.13 + (-9.13) = 0$

Questo risultato conferma che il processo è reversibile: l'entropia totale dell'universo non cambia.

Confronto con espansione libera (irreversibile)

Se invece il gas si espandesse liberamente nel vuoto (senza bagno termico), non compirebbe lavoro e non scambierebbe calore. Lo stato finale sarebbe identico (stesso V_2, T), ma:

- $\Delta S_{gas} = 9.13$ J/K (identico, perché S è funzione di stato)
- $\Delta S_{bagno} = 0$ (nessun bagno coinvolto)
- $\Delta S_{totale} = 9.13$ J/K > 0

Il processo è irreversibile, come deve essere per il secondo principio.

E.2 Calcolo dell'Efficienza di un Ciclo di Carnot Reale

Consideriamo una macchina termica che opera tra due sorgenti:

- Sorgente calda: $T_H = 600$ K (327°C)
- Sorgente fredda: $T_C = 300$ K (27°C)

Efficienza teorica massima (Carnot):

$\eta_{Carnot} = 1 - T_C/T_H = 1 - 300/600 = 0.5 = 50\%$

Ciclo reale con perdite

Supponiamo che in un ciclo reale:

- Calore assorbito dalla sorgente calda: $Q_H = 1000$ J
- Calore ceduto alla sorgente fredda: $Q_C = 650$ J
- Lavoro prodotto: $W = Q_H - Q_C = 350$ J

L'efficienza reale è: $\eta_{reale} = W/Q_H = 350/1000 = 0.35 = 35\%$

Produzione di entropia

Per la sorgente calda: $\Delta S_H = -Q_H/T_H = -1000/600 = -1.667$ J/K

Per la sorgente fredda: $\Delta S_C = Q_C/T_C = 650/300 = 2.167$ J/K

Produzione totale di entropia: $\Delta S_{tot} = \Delta S_H + \Delta S_C = -1.667 + 2.167 = 0.5$ J/K > 0

Questa produzione positiva di entropia quantifica l'irreversibilità del processo reale.

Relazione tra efficienza e produzione di entropia

La perdita di efficienza rispetto a Carnot può essere quantificata:

Lavoro perso = $T_C \times \Delta S_{tot} = 300 \times 0.5 = 150$ J

Infatti, se il ciclo fosse reversibile: $W_{Carnot} = Q_H \times \eta_{Carnot} = 1000 \times 0.5 = 500$ J
$W_{perso} = 500 - 350 = 150$ J ✓

E.3 Entropia di Miscelazione: Gas Diversi vs Gas Identici

Caso 1: Miscelazione di gas diversi (He e Ne)

Due contenitori separati, ciascuno di volume V = 10 L, uno con elio (He) e uno con neon (Ne), entrambi a T = 300 K e P = 1 atm. Numero di moli:

$n = PV/(RT) = (101325 \text{ Pa} \times 0.01 \text{ m}^3)/(8.314 \text{ J/(mol·K)} \times 300 \text{ K}) = 0.406$ mol

Rimuoviamo la parete divisoria. Ogni gas si espande da V a 2V.

Per l'elio: $\Delta S_{He} = nR \ln(2V/V) = 0.406 \times 8.314 \times \ln(2) = 2.34$ J/K

Per il neon (identico): $\Delta S_{Ne} = 2.34$ J/K

Entropia totale di miscelazione: $\Delta S_{mix} = \Delta S_{He} + \Delta S_{Ne} = 4.68$ J/K

Per mole di miscela: $\Delta S_{mix,molare} = nR \ln(2) = 8.314 \times 0.693 = 5.76$ J/(mol·K)

Caso 2: "Miscelazione" di gas identici (He e He)

Stessa configurazione, ma entrambi i contenitori hanno elio. Quando rimuoviamo la parete:

- Fisicamente, nulla cambia: avevamo He in 2V, abbiamo ancora He in 2V
- $\Delta S = 0$

Questo è il paradosso di Gibbs, risolto solo introducendo l'indistinguibilità quantistica delle particelle identiche nel conteggio statistico (fattore 1/N! nella funzione di partizione).

Implicazione termodinamica:

Se ΔS_{mix} dipendesse continuamente dalla "differenza" tra i gas, potremmo creare un ciclo che viola il secondo principio. Consideriamo isotopi ^{3}He e ^{4}He, sempre più difficili da distinguere sperimentalmente. L'entropia di miscelazione non può dipendere dalla nostra capacità tecnologica di distinguerli: o è zero (identici) o è finita (diversi). Questo è un principio profondo della meccanica quantistica.

E.4 Calcolo dell'Entropia in una Transizione di Fase: Fusione del Ghiaccio

Calcoliamo l'entropia di fusione di 1 kg di ghiaccio a 0°C (273.15 K) a pressione atmosferica.

Dati:

- Massa: m = 1 kg
- Calore latente di fusione: L_f = 334 kJ/kg = 334,000 J/kg
- Temperatura di fusione: T_f = 273.15 K

Calore richiesto per la fusione: Q = m × L_f = 1 × 334,000 = 334,000 J

Variazione di entropia del ghiaccio: ΔS_ghiaccio = Q/T_f = 334,000/273.15 = 1223 J/K

Per mole: Massa molare H_2O: M = 18.015 g/mol Numero di moli in 1 kg: n = 1000/18.015 = 55.51 mol

ΔS_molare = 1223/55.51 = 22.0 J/(mol·K)

Interpretazione microscopica:

Questo aumento di entropia riflette:

1. **Aumento di volume:** Acqua liquida ha densità maggiore del ghiaccio (anomalia), ma le molecole hanno più libertà traslazionale
2. **Libertà rotazionale:** Nel ghiaccio, orientamenti molecolari vincolati da legami H; nell'acqua liquida, rotazioni più libere
3. **Riarrangiamenti strutturali:** Rottura della struttura cristallina esagonale del ghiaccio Ih

Confronto con altri materiali:

Sostanza	T_fusione (K)	L_f (kJ/kg)	ΔS_molare (J/(mol·K))
H_2O	273.15	334	22.0
NaCl	1074	520	26.4
Fe	1811	247	7.6
Ar	83.8	30	14.2

L'acqua ha entropia di fusione relativamente alta per massa molecolare bassa, riflettendo la struttura particolarmente ordinata del ghiaccio.

E.5 Distribuzione di Maxwell-Boltzmann: Derivazione e Calcolo

Derivazione dalla funzione di partizione canonica

Per un gas ideale classico, la probabilità che una molecola abbia velocità $\vec{v}$ è data dalla distribuzione di Maxwell-Boltzmann. Partiamo dalla distribuzione canonica per l'energia cinetica:

$E = (1/2)m(v_x^2 + v_y^2 + v_z^2)$

La probabilità è proporzionale a $\exp(-E/(k_B T))$:

$P(v_x, v_y, v_z) \propto \exp(-m(v_x^2 + v_y^2 + v_z^2)/(2k_B T))$

Questa si fattorizza: $P(v_x, v_y, v_z) = P(v_x) \times P(v_y) \times P(v_z)$

Per ciascuna componente: $P(v_x) = \sqrt{(m/(2\pi k_B T))} \exp(-mv_x^2/(2k_B T))$

Questa è una gaussiana con varianza $\sigma^2 = k_B T/m$.

Distribuzione delle velocità (modulo):

Per ottenere P(v) dove $v = |\vec{v}|$, passiamo a coordinate sferiche. Il volume della shell tra v e v+dv è $4\pi v^2 dv$:

$f(v) = 4\pi (m/(2\pi k_B T))^{(3/2)} v^2 \exp(-mv^2/(2k_B T))$

Questa è la distribuzione di Maxwell-Boltzmann delle velocità.

Velocità caratteristiche:

1. **Velocità più probabile** (massimo di f(v)): $df/dv = 0 \rightarrow v_{prob} = \sqrt{(2k_B T/m)}$
2. **Velocità media:** $\langle v \rangle = \int_0^{\infty} v f(v) dv = \sqrt{(8k_B T/(\pi m))}$
3. **Velocità quadratica media:** $v_{rms} = \sqrt{(\langle v^2 \rangle)} = \sqrt{(3k_B T/m)}$

Esempio numerico: Azoto (N_2) a temperatura ambiente

Dati:

- $T = 300$ K
- $m = 28.014$ u $= 28.014 \times 1.66054 \times 10^{-27}$ kg $= 4.652 \times 10^{-26}$ kg
- $k_B = 1.38065 \times 10^{-23}$ J/K

Calcoli:

$v_{prob} = \sqrt{(2 \times 1.38065 \times 10^{-23} \times 300 / 4.652 \times 10^{-26})} = \sqrt{(1.779 \times 10^5)} = 422$ m/s

$\langle v \rangle = \sqrt{(8/\pi)} \times v_{prob} = 1.128 \times 422 = 476$ m/s

$v_{rms} = \sqrt{(3/2)} \times v_{prob} = 1.225 \times 422 = 517$ m/s

Frazione di molecole con velocità superiore a v_escape:

Per calcolare quante molecole hanno velocità sufficiente a sfuggire all'attrazione gravitazionale terrestre:

$v_{escape} = \sqrt{2GM/R} = 11{,}180$ m/s

La frazione è: $f = \int_{v_{escape}}^{\infty} f(v)\, dv$

Questo integrale non ha forma chiusa semplice ma può essere espresso tramite la funzione errore complementare. Per $v_{escape} >> v_{rms}$, l'approssimazione asintotica dà:

$f \approx (v_{rms}/v_{escape}) \sqrt{(2/\pi)} \exp(-(v_{escape}/v_{rms})^2/2)$

Con i nostri valori: $v_{escape}/v_{rms} = 11{,}180/517 = 21.6$

$f \approx (1/21.6) \times 0.798 \times \exp(-233.8) \approx 10^{-102}$

Praticamente zero! Questo spiega perché l'atmosfera terrestre non perde azoto nello spazio (a differenza di idrogeno ed elio, che sono molto più leggeri).

APPENDICE F: TECNICHE SPERIMENTALI PER LA MISURA DELL'ENTROPIA

F.1 Calorimetria Differenziale a Scansione (DSC)

La DSC (Differential Scanning Calorimetry) è la tecnica principale per misurare variazioni di entropia attraverso transizioni di fase e variazioni di capacità termica.

Principio di funzionamento:

Due contenitori identici (celle), uno con il campione e uno di riferimento (vuoto o con sostanza inerte), vengono riscaldati a velocità costante dT/dt. Si misura la differenza di potenza termica ΔP necessaria per mantenere entrambi alla stessa temperatura.

La capacità termica del campione è: $C_p = \Delta P/(dT/dt)$

Misura di entropia:

L'entropia a temperatura T_2, partendo da T_1, si calcola integrando:

$S(T_2) - S(T_1) = \int_{T_1}^{T_2} (C_p(T)/T)\, dT$

In pratica, si ottiene una curva C_p vs T, e si integra numericamente C_p/T.

Esempio: Fusione di indio (standard di calibrazione)

L'indio è usato come standard per calibrare DSC. Ha:

- $T_{fusione} = 156.6°C = 429.75$ K
- $\Delta H_{fusione} = 28.59$ J/g $= 3281$ J/mol ($M = 114.82$ g/mol)

Durante la fusione, si osserva un picco nel termogramma DSC. L'area sotto il picco (integrale di potenza nel tempo) dà il calore latente:

$Q = \int P(t)\, dt$

L'entropia di fusione è: $\Delta S_{fus} = Q/(m \times T_{fus}) = \Delta H_{fus}/T_{fus} = 3281/429.75 = 7.63$ J/(mol·K)

Accuratezza tipica:

- Temperatura: ±0.1 K
- Capacità termica: ±2%
- Entropia: ±3% (errore propagato dall'integrazione)

Applicazioni:

- Caratterizzazione di polimeri (temperatura di transizione vetrosa T_g)
- Purezza di farmaci (depressione del punto di fusione)
- Stabilità di proteine (denaturazione termica)

F.2 Misure di Entropia Elettrochimica

Celle galvaniche e coefficiente di temperatura

L'entropia di una reazione redox può essere determinata misurando come la forza elettromotrice (fem) di una cella varia con la temperatura.

Per una cella galvanica: $\Delta G = -nFE$

dove n è il numero di elettroni trasferiti, F la costante di Faraday, E la fem della cella.

La relazione fondamentale della termodinamica dà: $\Delta S = -(\partial \Delta G/\partial T)_P = nF(\partial E/\partial T)_P$

Quindi, misurando dE/dT, otteniamo direttamente ΔS della reazione!

Esempio: Cella Daniell

Reazione: $Zn(s) + Cu^{2+}(aq) \rightarrow Zn^{2+}(aq) + Cu(s)$

A 25°C:

- $E° = 1.10$ V
- $dE/dT \approx -0.00047$ V/K (determinato sperimentalmente)
- $n = 2$

$\Delta S° = 2 \times 96485 \times (-0.00047) = -90.7$ J/(mol·K)

Il segno negativo indica che la reazione porta a diminuzione di entropia (riduzione del disordine, forse per riduzione di ioni idratati).

Accuratezza: Con potenziometri moderni e bagni termostatati:

- E: ±0.1 mV
- T: ±0.01 K
- dE/dT: ±1-2%

F.3 Spettroscopia e Entropia Statistica

Determinazione spettroscopica della funzione di partizione

Per molecole in fase gassosa, la spettroscopia fornisce i livelli energetici E_i. La funzione di partizione è:

$Q = \Sigma_i g_i \exp(-E_i/(k_B T))$

dove g_i è la degenerazione del livello i. L'entropia è:

$S = k_B [\ln(Q) + T(\partial \ln(Q)/\partial T)_V]$

Esempio: Entropia di rotazione di N_2

Per un rotatore rigido lineare, i livelli energetici rotazionali sono:

$E_J = B J(J+1)$

dove $B = \hbar^2/(2I)$ è la costante rotazionale, I il momento d'inerzia, J = 0, 1, 2, ...

La degenerazione è $g_J = 2J+1$ (2J+1 valori di M_J per ogni J).

Per N_2: $B/k_B = 2.88$ K (dalla spettroscopia microonde).

A T = 300 K, la funzione di partizione rotazionale è:

$Q_{rot} = \Sigma_{J=0}^{\infty} (2J+1) \exp(-B J(J+1)/(k_B T))$

A temperature non troppo basse ($T >> B/k_B$), questa serie può essere approssimata:

$Q_{rot} \approx T/(\sigma B/k_B) = 300/(2\times2.88) = 52.1$

dove $\sigma = 2$ è il numero di simmetria di N_2 (molecola omonucleare).

L'entropia rotazionale è:

$S_{rot} = k_B [\ln(Q_{rot}) + 1] = 8.314 \times [\ln(52.1) + 1] = 41.0$ J/(mol·K)

Questo contributo è significativo nell'entropia molare totale di N_2 a 298 K, che è circa 192 J/(mol·K).

F.4 Entropia di Configurazione da Diffrazione

Diffrazione di raggi X e disordine

In cristalli con disordine occupazionale (atomi o molecole che possono occupare più posizioni nel reticolo), la diffrazione di raggi X rivela la frazione di occupazione dei diversi siti.

Esempio: Leghe metalliche disordinate

Consideriamo una lega binaria A-B con composizione $A_{0.5}B_{0.5}$ che può essere:

1. **Ordinata:** Ogni sito A occupato da atomi A, ogni sito B da atomi B
2. **Disordinata:** Ogni sito occupato casualmente al 50% da A o B

Per un cristallo con N siti, l'entropia configurazionale del caso disordinato è:

$S_{conf} = k_B \ln(\Omega)$

dove Ω è il numero di modi di distribuire N/2 atomi A e N/2 atomi B su N siti:

$\Omega = N!/(N/2)!(N/2)!$

Usando l'approssimazione di Stirling:

$S_{conf} = Nk_B [\ln(2) - (1/2)\ln(1/2) - (1/2)\ln(1/2)] = Nk_B \ln(2)$

Per mole: $S_{conf} = R \ln(2) = 5.76$ J/(mol·K)

La diffrazione può distinguere i due casi:

- **Ordinata:** Presenza di picchi di superstruttura
- **Disordinata:** Assenza di picchi di superstruttura, intensità modificate

Applicazione: β-ottone (CuZn)

Il β-ottone presenta transizione ordine-disordine a circa 740 K. Misure calorimetriche e diffrazione confermano:

$\Delta S_{transizione} \approx R \ln(2) = 5.76$ J/(mol·K)

in ottimo accordo con la predizione teorica per disordine completo.

F.5 Tecniche Quantistiche: Entropia di Entanglement

Tomografia dello stato quantistico

Per misurare l'entropia di entanglement di un sistema bipartito (es. due qubit), dobbiamo prima determinare la matrice densità ρ_{AB} attraverso la tomografia quantistica.

Procedura:

1. **Preparazione:** Sistema preparato nello stato $|\psi_{AB}\rangle$
2. **Misure:** Sequenza di misure in basi diverse (X, Y, Z per qubit)
3. **Ricostruzione:** Algoritmo di massima verosimiglianza per ricostruire ρ_{AB}

4. **Traccia parziale:** Calcolo di $\rho_A = Tr_B(\rho_{AB})$
5. **Diagonalizzazione:** Autovalori λ_i di ρ_A
6. **Entropia:** $S_A = -\Sigma_i \lambda_i \ln(\lambda_i)$

Esempio: Stato di Bell

Per lo stato massimamente entangled: $|\Psi^+\rangle = (|00\rangle + |11\rangle)/\sqrt{2}$

La matrice densità ridotta del primo qubit è:

$\rho_A = Tr_B(|\Psi^+\rangle\langle\Psi^+|) = (1/2)(|0\rangle\langle 0| + |1\rangle\langle 1|) = I/2$

Gli autovalori sono $\lambda_1 = \lambda_2 = 1/2$.

Entropia: $S_A = -(1/2)\ln(1/2) - (1/2)\ln(1/2) = \ln(2) \approx 0.693$ nat = 1 bit

Implementazione sperimentale (ioni intrappolati):

Con ioni $^{40}Ca^+$ in trappola di Paul:

- Preparazione stato Bell: fidelità > 99%
- Tomografia: 36 misure (9 configurazioni × 4 risultati)
- Tempo misura: ~1-2 ore per statistiche adeguate
- Entropia misurata: $S_A = 0.69 \pm 0.02$ nat

L'incertezza riflette errori statistici e di preparazione.

APPENDICE G: ENTROPIA NELLA TEORIA DELLE STRINGHE

G.1 Microstati dei Buchi Neri in String Theory

Uno dei successi più notevoli della teoria delle stringhe è il conteggio esatto dei microstati per certi buchi neri.

Il modello di Strominger-Vafa (1996)

Strominger e Vafa considerarono buchi neri extremal (Q = M in unità appropriate) in teorie di supergravità a 5 dimensioni, compattificate da string theory su varietà di Calabi-Yau.

Per un buco nero con cariche conservate n_1, n_5, n_p (cariche di D-branes e onde), la formula di Bekenstein-Hawking prevede:

$S_{BH} = 2\pi\sqrt{(n_1 n_5 n_p)}$

Conteggio microscopico:

Strominger e Vafa mapparono il buco nero a una configurazione di D-branes (oggetti estesi su cui le stringhe terminano). Lo spettro di eccitazioni delle stringhe sulle D-branes può essere contato usando la teoria dei campi conforme (CFT) sulla worldvolume delle branes.

Il numero di microstati è dato dalla formula di Cardy per l'entropia di una CFT bidimensionale:

$S_{micro} = 2\pi\sqrt{(c/6 \times \Delta E)}$

dove c è la carica centrale della CFT e ΔE l'energia di eccitazione sopra il ground state.

Identificando parametri appropriatamente:

$S_{micro} = 2\pi\sqrt{(n_1 n_5 n_p)}$

Accordo perfetto con S_BH!

Questo fu il primo calcolo esatto dei microstati di un buco nero che riproduceva la formula di Bekenstein-Hawking, incluso il fattore numerico 1/4 davanti all'area.

Estensioni:

- Maldacena, Strominger, Witten estesero il risultato a buchi neri non-extremal
- Sen generalizzò a buchi neri con hair (capelli)
- Il metodo è stato applicato a buchi neri in AdS_3 e altre geometrie

Interpretazione:

I microstati del buco nero corrispondono a stati quantistici di stringhe e D-branes. L'orizzonte degli eventi emerge come descrizione macroscopica di una configurazione microscopica estremamente complessa. L'informazione non è persa ma è codificata negli stati di stringa.

G.2 Corrispondenza AdS/CFT e Entropia

La corrispondenza AdS/CFT (Anti-de Sitter/Conformal Field Theory), proposta da Maldacena nel 1997, è una dualità esatta tra:

- **Teoria di gauge:** Una teoria dei campi conforme (CFT) senza gravità in d dimensioni
- **Teoria di gravità:** Gravità quantistica (string theory) in spazio AdS in d+1 dimensioni

Dizionario entropico:

1. **Entropia termica:** L'entropia di un plasma di quark-gluoni nella CFT a temperatura T corrisponde all'entropia di Bekenstein-Hawking di un buco nero in AdS:

   $S_{CFT} = (\pi^2/2)\, N^2\, V\, T^3$ (per SU(N) gauge theory)

   $S_{BH} = Area/(4G_N)$ con $Area \propto N^2\, V\, T^3$

2. **Entropia di entanglement (formula di Ryu-Takayanagi):**

   $S_A = Area(\gamma_A)/(4G_N)$

   dove γ_A è la superficie estremale (minimale) nel bulk AdS ancorata al confine ∂A della regione A nella CFT.

Esempio concreto: AdS_3/CFT_2

Consideriamo AdS_3 (3 dimensioni spazio-temporali) con CFT_2 duale (2D conforme).

Per un intervallo $[x_1, x_2]$ sul confine, la superficie estremale γ è una geodetica che penetra nel bulk. La sua lunghezza è:

$L(\gamma) = (c/3) \ln|x_2 - x_1|/\varepsilon$

dove c è la carica centrale della CFT e ε un cutoff UV.

L'entropia di entanglement è:

$S_A = (c/3) \ln|x_2 - x_1|/\varepsilon$

Questo riproduce esattamente il risultato della CFT calcolato con metodi di teoria dei campi!

Verifica:

Per la teoria CFT duale a $AdS_3 \times S^3 \times T^4$ (string theory tipo IIB):

- Carica centrale: $c = 6k = 6N$ (per N D-branes)
- Formula Ryu-Takayanagi: $S_A = N \ln|x_2 - x_1|/\varepsilon$
- Calcolo CFT diretto: Coincide perfettamente

Questa è una delle verifiche più precise della corrispondenza AdS/CFT.

G.3 Firewall Paradox e Entropia

Il paradosso firewall, proposto da Almheiri, Marolf, Polchinski, Sully (AMPS) nel 2012, solleva questioni profonde su entropia e informazione nei buchi neri.

Setup:

Un buco nero vecchio (età > tempo di Page) ha:

1. Emesso radiazione di Hawking per metà della sua entropia iniziale
2. La radiazione è massimamente entangled con l'interno del BH (purificazione)

Conflitto:

Tre principi apparentemente ovvi sono in contraddizione:

1. **Unitarietà quantistica:** L'informazione è conservata, radiazione purifica l'interno
2. **Equivalenza locale (GR):** Un osservatore in caduta libera non vede nulla di speciale all'orizzonte
3. **No-cloning:** Non si può clonare stati quantistici

Se (1) e (3) sono veri, la radiazione tardiva deve essere entangled con la radiazione precoce (per purificare). Ma GR dice che deve anche essere entangled con l'interno. Questo violerebbe monogamia dell'entanglement!

Proposta AMPS (firewall):

L'orizzonte di un buco nero vecchio non è vuoto ma contiene un "firewall" ad alta energia che distrugge qualsiasi osservatore in caduta. Questo preserva unitarietà e no-cloning ma viola l'equivalenza locale.

Risoluzioni proposte:

1. **ER=EPR (Maldacena-Susskind):** L'entanglement tra radiazione e interno crea wormholes (Einstein-Rosen bridges). La radiazione e l'interno sono connessi topologicamente, risolvendo l'apparente violazione della monogamia dell'entanglement.

2. **Teoria dell'isola (2019-2020):** Formula generalizzata per entropia che include contributi da regioni "isola" nell'interno del buco nero:

   $S(R) = \min[\text{Area}(\partial I)/(4G_N) + S_{QFT}(R \cup I)]$

   dove R è la radiazione esterna e I la regione isola. L'entropia della radiazione decresce dopo il tempo di Page, preservando unitarietà senza firewall.

3. **Complementarità dei buchi neri (Susskind):** Non esiste descrizione globale simultaneamente valida per osservatori esterni e interni. L'informazione appare sia nella radiazione sia nell'interno, ma nessun esperimento può confrontare entrambe le descrizioni.

Tempo di Page:

Il punto critico dove l'entropia della radiazione inizia a decrescere è:

$t_{Page} \approx (M^3/M_{Planck}^2) \times t_{Planck} \approx (\text{Area}/(4G_N)) \times t_{Planck}$

Per un buco nero solare: $t_{Page} \approx 10^{67}$ anni.

Implicazioni per l'entropia:

Il firewall paradox ha forzato una riconsiderazione profonda di come l'entropia è distribuita in presenza di orizzonti. La teoria dell'isola suggerisce che l'entropia non è semplicemente addittiva ma dipende dalla struttura causale globale dello spazio-tempo.

APPENDICE H: ENTROPIA NEI SISTEMI BIOLOGICI - ANALISI QUANTITATIVA

H.1 Bilancio Entropico di una Cellula Vivente

Una cellula batterica tipica (E. coli) mantiene uno stato di bassa entropia interna esportando entropia nell'ambiente. Analizziamo quantitativamente questo bilancio.

Parametri di E. coli:

- Massa: m ≈ 10^(-12) g = 10^(-15) kg
- Volume: V ≈ 1 μm³ = 10^(-18) m³
- Tempo di divisione: τ ≈ 20 minuti = 1200 s
- Consumo di glucosio: ~10^9 molecole/s

Flusso di entropia:

1. **Entropia generata dal metabolismo:**

Una molecola di glucosio ossidata completamente: $C_6H_{12}O_6 + 6O_2 \rightarrow 6CO_2 + 6H_2O$

rilascia ΔG° ≈ -2880 kJ/mol. A T = 310 K (37°C), l'entropia generata nell'ambiente è almeno:

ΔS_amb ≥ |ΔG|/T = 2880 × 10³/310 = 9290 J/(mol·K)

Per 10^9 molecole al secondo:

Flusso di entropia = (10^9)/(6.022 × 10^23) × 9290 J/(K·s) = 1.54 × 10^(-11) J/(K·s) = 15.4 pJ/(K·s)

2. **Riduzione di entropia interna (sintesi macromolecole):**

Durante la crescita, la cellula sintetizza:

- Proteine: ~2-3 × 10^6 molecole
- DNA: ~4.6 × 10^6 paia di basi
- RNA: ~15 × 10^6 nucleotidi
- Lipidi: ~2 × 10^7 molecole

La riduzione di entropia configurazionale per sintetizzare una proteina di N amminoacidi da monomeri liberi è approssimabile come:

ΔS_proteina ≈ -k_B ln(20^N)

Per una proteina tipica (N = 300):

ΔS_proteina = -k_B × 300 × ln(20) = -300 × 1.38 × 10^(-23) × 3.0 = -1.24 × 10^(-20) J/K

Per 3 × 10^6 proteine in τ = 1200 s:

Flusso di entropia (proteine) = 3 × 10^6 × 1.24 × 10^(-20) / 1200 = 3.1 × 10^(-14) J/(K·s) = 0.031 pJ/(K·s)

3. **Bilancio totale:**

Entropia esportata nell'ambiente: +15.4 pJ/(K·s) Entropia ridotta internamente: -0.031 pJ/(K·s)

Rapporto: 15.4 / 0.031 ≈ 500

Interpretazione:

La cellula genera entropia nell'ambiente a un tasso ~500 volte superiore alla riduzione di entropia interna. Questo ampio margine consente:

- Mantenimento di gradienti di concentrazione (pompe ioniche)
- Movimento e chemotassi
- Riparazione del danno molecolare
- Regolazione genica e risposta a stimoli

Efficienza termodinamica:

L'efficienza di conversione dell'energia libera del glucosio in lavoro biologico è:

$\eta = (\text{Lavoro utile}) / |\Delta G_{glucosio}| \approx 0.031 / 15.4 \approx 0.2\%$

Questo è molto basso, ma la cellula non ottimizza efficienza energetica quanto velocità, robustezza e adattabilità.

H.2 Entropia e Invecchiamento Cellulare

L'invecchiamento può essere visto come accumulo progressivo di entropia cellulare attraverso diversi meccanismi:

1. Danno ossidativo:

Specie reattive dell'ossigeno (ROS) danneggiano proteine, lipidi e DNA. Il numero di lesioni ossidative accumulate cresce con l'età:

$N_{lesioni}(t) \approx N_0 + kt$

dove k dipende dal tasso metabolico e dall'efficienza dei sistemi di riparazione.

L'entropia configurazionale aumenta perché le macromolecole danneggiate possono assumere più conformazioni (perdita di specificità funzionale):

$\Delta S_{danno} \approx k_B \ln(\Omega_{danneggiate}/\Omega_{native})$

2. Aggregazione proteica:

Proteine misfolded tendono ad aggregare (es. amiloidi, corpi di Lewy, neurofibrille). Paradossalmente, l'aggregazione riduce entropia configurazionale locale ma è guidata da aumento di entropia dell'acqua circostante (effetto idrofobico).

La cinetica di aggregazione segue spesso il modello nucleazione-crescita:

$dM/dt = k_n + k_e M$

dove M è la massa aggregata, k_n il tasso di nucleazione, k_e il tasso di elongazione.

3. Declino mitocondriale:

I mitocondri accumulano mutazioni nel DNA mitocondriale (mtDNA). La frazione di mtDNA mutato aumenta con l'età:

$f_{mut}(t) \approx 1 - \exp(-\lambda t)$

Mitocondri disfunzionali producono meno ATP e più ROS, accelerando l'invecchiamento (feedback positivo).

4. Perdita di metilazione del DNA:

L'epigenoma (pattern di metilazione del DNA) perde informazione con l'età. "Orologi epigenetici" (Horvath clock) misurano età biologica tramite metilazione di specifici siti CpG:

$\text{Età_biologica} = \Sigma_i \alpha_i \times m_i + \beta$

dove m_i è il livello di metilazione del sito i.

La perdita di metilazione può essere interpretata come aumento di entropia informazionale: stati cellulari diventano meno definiti, più stocastici.

Tasso di produzione di entropia e longevità:

Studi comparativi tra specie suggeriscono correlazione inversa tra tasso metabolico specifico (per grammo di tessuto) e longevità:

$\text{Longevità} \propto 1/(\text{tasso metabolico})^{\alpha}$

con $\alpha \approx 0.25$-0.3. Animali con metabolismo più lento (es. tartarughe, balene) vivono più a lungo, coerente con minore produzione di entropia per unità di tempo.

Caloric restriction e entropia:

La restrizione calorica (CR, riduzione intake del 20-40% senza malnutrizione) estende lifespan in molte specie. Meccanismi proposti includono:

- Riduzione tasso metabolico → meno produzione di entropia
- Attivazione di pathway di riparazione (sirtuine, autofagia)
- Riduzione ROS e danno ossidativo
- Mantenimento di pattern epigenetici

Modelli matematici (Kirkwood, Kowald) descrivono invecchiamento come "trade-off" energetico tra riproduzione e manutenzione somatica, con vincoli termodinamici sul bilancio entropico.

H.3 Fotosintesi: Riduzione di Entropia tramite Energia Solare

La fotosintesi è il processo biologico principale che riduce entropia terrestre a spese dell'entropia solare.

Reazione globale:

$6CO_2 + 6H_2O + \text{luce} \rightarrow C_6H_{12}O_6 + 6O_2$

Bilancio energetico:

- Energia fotoni ($\lambda \approx 680$ nm, fotosistema II): $E = hc/\lambda = 1.82$ eV = 176 kJ/mol fotoni
- Fotoni necessari: ~48 fotoni per molecola di glucosio
- Energia totale assorbita: 48 × 176 = 8450 kJ/mol glucosio
- Energia immagazzinata in glucosio: $\Delta G° = +2880$ kJ/mol
- Efficienza: $\eta = 2880/8450 = 34\%$

Bilancio entropico:

1. **Radiazione solare (corpo nero a T_sole ≈ 5800 K):**

Entropia per fotone emesso dal Sole: S_fotone = (4/3)(E/T_sole) + k_B

Per λ = 680 nm: S_fotone = (4/3)(1.82 × 1.602 × 10^(-19))/(5800 × 1.38 × 10^(-23)) + 1.38 × 10^(-23) ≈ 1.53 × 10^(-22) J/K per fotone

Per 48 fotoni: ΔS_fotoni = 48 × 1.53 × 10^(-22) = 7.34 × 10^(-21) J/K

2. **Entropia in glucosio sintetizzato:**

Difficile calcolare esattamente, ma la riduzione di entropia nel passaggio da $CO_2 + H_2O$ (disordinati) a glucosio (ordinato) è parzialmente compensata dall'aumento di entropia nella produzione di O_2.

Stima approssimativa dalla termodinamica standard: ΔS_reazione ≈ -200 J/(mol·K) per molecola di glucosio = -200/(6.022 × 10^23) = -3.32 × 10^(-22) J/K

3. **Entropia dissipata (calore rilasciato a T_amb ≈ 300 K):**

Energia dissipata: 8450 - 2880 = 5570 kJ/mol Entropia generata: $\Delta S_{diss} = 5570 \times 10^3 / 300 = 18600$ J/(mol·K) = 3.09 × 10^(-20) J/K per molecola

4. **Bilancio totale:**

ΔS_totale = -ΔS_fotoni + ΔS_reazione + ΔS_diss = -7.34 × 10^(-21) + (-3.32 × 10^(-22)) + 3.09 × 10^(-20) = +2.02 × 10^(-20) J/K > 0 ✓

Il processo è complessivamente irreversibile (ΔS_totale > 0), ma l'entropia locale (nella biosfera) diminuisce grazie al flusso di entropia dal Sole.

Flusso globale:

La Terra riceve ~1.7 × 10^17 W dal Sole. Di questi, circa 0.1% (1.7 × 10^14 W) viene fissato dalla fotosintesi.

Produzione netta primaria globale: ~100 miliardi di tonnellate di carbonio/anno ≈ 8.3 × 10^12 kg/anno ≈ 4 × 10^14 mol glucosio/anno

Riduzione di entropia biosferica: ΔS_biosfera = 4 × 10^14 mol/anno × (-200) J/(mol·K) = -8 × 10^16 J/(K·anno) = -2.5 × 10^9 J/(K·s) = -2.5 GJ/(K·s)

Questa è compensata e superata dall'aumento di entropia nella degradazione fotosintetica dell'energia solare, mantenendo il secondo principio.

APPENDICE I: ENTROPIA E COMPUTAZIONE QUANTISTICA

I.1 Porte Quantistiche e Reversibilità

I computer quantistici sono intrinsecamente reversibili poiché l'evoluzione quantistica è unitaria. Analizziamo l'entropia in operazioni quantistiche fondamentali.

Porte single-qubit:

1. **Porta di Hadamard (H):**

$H|0\rangle = (|0\rangle + |1\rangle)/\sqrt{2}$ $H|1\rangle = (|0\rangle - |1\rangle)/\sqrt{2}$

Applicata a $|0\rangle$ (stato puro, S = 0), produce uno stato puro $|+\rangle = (|0\rangle + |1\rangle)/\sqrt{2}$, ancora con S = 0.

Ma se misuriamo in base computazionale $\{|0\rangle, |1\rangle\}$, otteniamo outcome casuale con p(0) = p(1) = 1/2.

Entropia classica del risultato di misura: $H = -1/2 \log_2(1/2) - 1/2 \log_2(1/2) = 1$ bit

L'informazione quantistica (coerenza) è stata convertita in incertezza classica dalla misura.

2. **Rotazioni generiche:**

$R_y(\theta)|0\rangle = \cos(\theta/2)|0\rangle + \sin(\theta/2)|1\rangle$

Questo è sempre stato puro (S = 0) per ogni θ. L'entropia di von Neumann rimane zero.

Porte multi-qubit:

1. **CNOT (Controlled-NOT):**

CNOT|c,t⟩ = |c, t⊕c⟩

Crea entanglement: CNOT(H|0⟩ ⊗ |0⟩) = CNOT((|0⟩+|1⟩)/√2 ⊗ |0⟩) = (|00⟩ + |11⟩)/√2

Questo è uno stato di Bell massimamente entangled.

Entropie ridotte: $\rho_1 = Tr_2(|\Psi\rangle\langle\Psi|) = I/2 \rightarrow S_1 = \log(2) = 1$ bit $\rho_2 = Tr_1(|\Psi\rangle\langle\Psi|) = I/2 \rightarrow S_2 = \log(2) = 1$ bit

L'entropia di entanglement è massimale (1 bit per qubit).

Decoerenza e aumento di entropia:

Un qubit interagisce con ambiente attraverso canali di rumore. Esempio: depolarizing channel con probabilità p:

ε(ρ) = (1-p)ρ + p(I/2)

Partiamo da stato puro |ψ⟩⟨ψ| (S = 0):

ρ_out = (1-p)|ψ⟩⟨ψ| + p(I/2)

Autovalori: $\lambda_1 = (1+p)/2$, $\lambda_2 = (1-p)/2$

Entropia: $S = -\lambda_1 \log(\lambda_1) - \lambda_2 \log(\lambda_2)$

Per p → 1 (rumore massimo): S → 1 bit (stato massimamente misto)

Correzione di errori quantistici:

I codici correttori quantistici (QEC) proteggono l'informazione quantistica dalla decoerenza. Il codice di Shor a 9 qubit protegge 1 qubit logico:

|0_L⟩ = (|000⟩ + |111⟩)^⊗3/√8 |1_L⟩ = (|000⟩ - |111⟩)^⊗3/√8

Questo introduce ridondanza ma mantiene l'informazione quantistica in sottospazio protetto.

Threshold theorem:

Se l'errore per porta è sotto soglia (p < p_th ≈ 10^(-4) con codici surface), computazione quantistica arbitrariamente lunga è possibile con overhead polinomiale.

L'entropia fisica aumenta (per dissipazione nelle misure di sindrome e correzioni), ma l'entropia logica (dell'informazione protetta) rimane bassa.

I.2 Algoritmi Quantistici e Informazione

Algoritmo di Shor (fattorizzazione):

Fattorizzare N richiede classicamente tempo ≈ exp(c(log N)^(1/3)) (sub-esponenziale, ma super-polinomiale).

Shor: tempo O((log N)³)

Analisi entropica:

1. **Preparazione:** |0⟩^⊗n (S = 0)
2. **Hadamard paralleli:** H^⊗n|0⟩ = Σ_x |x⟩/√(2^n) Stato puro uniformemente distribuito su 2^n stati base.
3. **Oracle function:** U_f|x⟩|y⟩ = |x⟩|y ⊕ f(x)⟩ Crea entanglement massiccio tra registri.
4. **QFT (Quantum Fourier Transform):** Estrae periodicità da distribuzione di ampiezza.
5. **Misura:** Collassa sovrapposizione, outcome classico con pattern di periodicità.

L'entropia quantistica (coerenza) viene convertita in informazione classica (fattori di N) attraverso interferenza quantistica. La velocità deriva dalla capacità di processare sovrapposizioni parallele mantenendo relazioni di fase.

Grover's search:

Cercare elemento marcato in database non ordinato di N elementi.

Classico: O(N) query Grover: O(√N) query (speedup quadratico)

Operatore di Grover:

G = H^⊗n Z_0 H^⊗n Z_f

dove Z_0 flips fase di |0⟩^⊗n, Z_f flips fase della soluzione.

Dopo ~√N iterazioni, l'ampiezza della soluzione è amplificata da 1/√N a ~1.

Interpretazione entropica:

Lo stato iniziale H^⊗n|0⟩ ha massima incertezza classica (H = n bit se misurato). Grover riduce progressivamente questa incertezza concentrando ampiezza sulla soluzione, senza aumentare entropia quantistica (evoluzione unitaria).

I.3 Quantum Annealing e Termodinamica

Il quantum annealing è una tecnica per ottimizzazione che sfrutta tunneling quantistico e cerca minimi globali di funzioni di costo.

Hamiltoniana time-dependent:

$H(t) = A(t)H_{driver} + B(t)H_{problem}$

con:

- $A(0) \gg B(0)$, $A(T) = 0$, $B(T) =$ costante
- $H_{driver} = -\Sigma_i \sigma_i^x$ (termini trasversi che creano sovrapposizioni)
- $H_{problem} = \Sigma_{i,j} J_{ij} \sigma_i^z \sigma_j^z + \Sigma_i h_i \sigma_i^z$ (problema Ising)

Evoluzione adiabatica:

Se cambio è sufficientemente lento (adiabatico), sistema rimane nel ground state instantaneo:

$|\psi(t)\rangle \approx |E_0(t)\rangle$

Al tempo finale, si misura configurazione di spin che minimizza $H_{problem}$.

Entropia termica vs quantistica:

A T = 0 puro, evoluzione adiabatica mantiene S = 0 (stato puro).

A T > 0, sistema è in equilibrio termico:

$\rho(t) = \exp(-\beta H(t))/Z(t)$

Entropia termica: $S(t) = k_B [\beta E(t) + \ln Z(t)]$

All'inizio (dominato da H_{driver}): entropia alta (stato simmetrico, molti autovalori simili) Alla fine (dominato da $H_{problem}$): entropia bassa se gap è grande

Gap minimo e tempo di annealing:

Il teorema adiabatico richiede:

$T \gg \hbar \Delta max/\Delta_{min}^2$

dove Δ_{min} è il gap energetico minimo durante evoluzione.

Per problemi NP-hard, Δ_{min} può decrescere esponenzialmente con dimensione → vantaggio quantistico incerto per annealing.

D-Wave e implementazione:

I processori D-Wave implementano quantum annealing con:

- ~5000 qubit superconduttori
- Connettività limitata (chimera graph)
- Operazione a T ≈ 15 mK

Esperimenti mostrano signature di tunneling quantistico ma dibattito continua su vantaggio rispetto a simulated annealing classico.

APPENDICE J: ENTROPIA IN SISTEMI ECONOMICI E SOCIALI

J.1 Econofisica: Distribuzione della Ricchezza e Entropia

L'econofisica applica metodi di fisica statistica a sistemi economici. La distribuzione della ricchezza mostra pattern universali analizzabili con concetti entropici.

Modello gas-like di scambio economico:

Consideriamo N agenti che scambiano ricchezza attraverso transazioni binarie casuali. Modello di Yakovenko-Dragulescu:

Due agenti i, j con ricchezze w_i, w_j scambiano: $\Delta w = \varepsilon(w_i + w_j)$

dove ε è random in $[-\lambda, \lambda]$ e λ parametro del modello.

Conservazione: $w_i + w_j = w_i' + w_j'$

Distribuzione stazionaria:

Con transazioni casuali, si raggiunge equilibrio con distribuzione di Boltzmann:

$P(w) = (1/\langle w \rangle) \exp(-w/\langle w \rangle)$

dove $\langle w \rangle$ è la ricchezza media. Questa è analoga alla distribuzione di Maxwell-Boltzmann delle energie!

Entropia economica:

Definendo entropia per distribuzione di ricchezza:

$S_{econ} = -k \Sigma_i P(w_i) \ln P(w_i)$

Per distribuzione esponenziale: $S_{econ} = k[1 + \ln\langle w \rangle]$

Questa è massima per data ricchezza totale, corrispondente a "massima ignoranza" sulla ricchezza individuale.

Deviazioni dalla distribuzione esponenziale:

Dati empirici mostrano:

- **Bassi/medi redditi:** Distribuzione esponenziale (99% popolazione)
- **Alti redditi:** Legge di potenza (Pareto) $P(w) \propto w^{-\alpha}$ con $\alpha \approx 1.5$-2

Questo suggerisce due "regimi termodinamici":

1. **Regime ergodico:** Scambi frequenti, equilibrazione, massima entropia
2. **Regime fuori equilibrio:** Accumulazione preferenziale, crescita moltiplicativa

Indice di Gini ed entropia:

L'indice di Gini G (misura la disuguaglianza, 0 = perfetta uguaglianza, 1 = massima disuguaglianza) è correlato all'entropia:

Per distribuzione esponenziale: G = 1/2, S = S_max Per legge di potenza: G > 1/2, S < S_max

Maggiore disuguaglianza → minore entropia (concentrazione di ricchezza riduce "diffusione" probabilistica)

Imposte e flussi entropici:

Tassazione progressiva può essere vista come meccanismo di aumento di entropia:

- Redistribuisce ricchezza da code di Pareto (alta concentrazione) a distribuzione più uniforme
- Aumenta S_econ verso massimo compatibile con vincoli economici

Modelli econofisici prevedono che, senza redistribuzione, sistemi economici evolvono spontaneamente verso disuguaglianza crescente (analogia con auto-organizzazione in sistemi gravitazionali).

J.2 Complessità di Reti Sociali ed Entropia

Le reti sociali (social networks) possono essere caratterizzate attraverso misure entropiche che quantificano struttura e complessità.

Entropia strutturale di una rete:

Per grafo G con N nodi e distribuzione dei gradi {k_i}:

H_strutturale = -Σ_k P(k) log P(k)

dove P(k) è la frazione di nodi con grado k.

Esempi:

1. **Rete regolare (tutti nodi stesso grado k_0):** $P(k_0) = 1$, altre P(k) = 0 H = 0 (minima entropia, massima ordine)

2. **Rete casuale (Erdős-Rényi con p):** P(k) = C(N-1,k) p^k (1-p)^(N-1-k) (binomiale) H ≈ log(⟨k⟩) per grandi N

3. **Rete scale-free (Barabási-Albert):** P(k) ∝ k^(-γ) con γ ≈ 3 H diverge logaritmicamente con N

Entropia di cammino casuale:

L'entropia associata a random walk sulla rete misura esplorazione:

$H_{walk} = -\Sigma_i \pi_i \log \pi_i$

dove π_i è la distribuzione stazionaria del random walk.

Per random walk standard: $\pi_i \propto k_i$ (proporzionale al grado)

Reti con hub centrali (alta centralità) hanno H_{walk} minore (random walk tende a ritornare a hub).

Modularità e rilevazione di comunità:

La modularità Q misura quanto una partizione in comunità è "buona":

$Q = (1/2m) \Sigma_{ij} [A_{ij} - k_i k_j/(2m)] \delta(c_i, c_j)$

dove A è matrice di adiacenza, m numero di archi, c_i comunità del nodo i.

Q può essere collegata a entropia relativa:

$Q \propto D_{KL}(P_{intra} || P_{random})$

Alte comunità (alto Q) corrispondono a bassa entropia informazionale tra comunità (informazione localizzata).

Dinamiche di diffusione:

La diffusione di informazione/epidemie su reti sociali segue modelli SIR/SIS con entropia che cresce durante la fase di spreading:

- Inizialmente: pochi nodi infetti, bassa entropia
- Picco epidemia: distribuzione diffusa, alta entropia
- Fine: tutti suscettibili esauriti o rimossi, bassa entropia

Il tasso di crescita di entropia correlato a parametro R_0 (riproduzione basica).

J.3 Entropia nell'Elaborazione del Linguaggio Naturale

Entropia di Shannon per lingue naturali:

Shannon stesso stimò l'entropia dell'inglese attraverso esperimenti di predizione umana. Risultato: $H \approx 0.6$-1.3 bits per carattere (tenendo conto di correlazioni a lungo raggio).

Metodo di calcolo:

1. **Ordine 0 (lettere indipendenti):** $H_0 = -\Sigma_i p_i \log_2 p_i$

   Per inglese (26 lettere + spazio): $H_0 \approx 4.7$ bit/carattere se equiprobabili Con frequenze reali: $H_0 \approx 4.2$ bit/carattere

2. **Ordine 1 (bigrammi):** $H_1 = -\Sigma_{ij} p(i,j) \log_2 p(j|i)$ $H_1 \approx 3.5$ bit/carattere
3. **Ordine 2 (trigrammi):** $H_2 \approx 3.1$ bit/carattere
4. **Ordine ∞ (tutta la struttura):** $H_\infty \approx 0.6$-1.3 bit/carattere (stima Shannon)

Ridondanza linguistica:

Ridondanza = 1 - H/H_max = 1 - 1.0/4.7 ≈ 79%

Questa alta ridondanza spiega:

- Perché possiamo capire testi con errori tipografici
- L'efficacia della compressione (ZIP riduce testi di ~70-80%)
- La robustezza della comunicazione umana contro rumore

Entropia incrociata in modelli linguistici:

I modelli di linguaggio (GPT, BERT, etc.) sono valutati tramite perplexity, direttamente collegata all'entropia incrociata:

Perplexity = 2^H(P,Q)

dove P è la distribuzione vera delle parole, Q quella predetta dal modello.

GPT-4 ha perplexity ≈ 10-15 su testi inglesi, corrispondente a H ≈ 3.3-3.9 bit per token.

Leggi di Zipf ed entropia:

La frequenza delle parole segue la legge di Zipf: $f(r) \propto 1/r^\alpha$

dove r è il rank della parola (1 = più frequente), $\alpha \approx 1$.

Questa distribuzione di potenza minimizza lunghezza media di codifica dato vincolo sulla lunghezza media delle parole (principio del minimo sforzo).

APPENDICE K: PARADOSSI APPARENTI E LORO RISOLUZIONE

K.1 Il Diavoletto di Maxwell - Analisi Completa

Abbiamo menzionato il demone di Maxwell nel testo principale, ma approfondiamo qui la risoluzione completa attraverso il principio di Landauer.

Setup dettagliato:

Un gas in equilibrio a temperatura T in un contenitore diviso da una parete con piccola porta. Il demone osserva molecole individuali e:

- Apre la porta per molecole veloci da sinistra a destra
- Apre la porta per molecole lente da destra a sinistra

Dopo N operazioni:

- Destra: temperatura $T_H > T$
- Sinistra: temperatura $T_C < T$
- Gradiente termico creato senza lavoro apparente

Quantificazione del "guadagno" apparente:

Supponiamo che dopo separazione:

- Serbatoio caldo: $T_H = T + \Delta T$
- Serbatoio freddo: $T_C = T - \Delta T$

Potremmo far operare macchina di Carnot tra questi serbatoie con efficienza:

$\eta = 1 - T_C/T_H = 2\Delta T/T$ (per piccoli ΔT)

Questo violerebbe il secondo principio se non ci fosse costo entropico nascosto.

Costo informazionale:

Per ogni molecola, il demone deve:

1. **Misurare** la velocità (1 bit di informazione: veloce/lenta)
2. **Decidere** se aprire la porta
3. **Memorizzare** l'informazione

Dopo N operazioni, la memoria del demone contiene N bit.

Cancellazione della memoria (Landauer 1961):

Per operare ciclicamente, il demone deve cancellare la memoria quando è piena. Secondo il principio di Landauer, cancellare 1 bit richiede dissipare almeno:

$\Delta E_{min} = k_B T \ln(2)$

di energia come calore a temperatura T.

Per N bit: $\Delta E_{tot} = N k_B T \ln(2)$

Bilancio entropico totale:

Aumento di entropia dall'ambiente per dissipazione: $\Delta S_{amb} = \Delta E_{tot}/T = N k_B \ln(2)$

Diminuzione di entropia nel gas per separazione: $\Delta S_{gas} \approx -N k_B \ln(2)$

(ogni molecola trasferita cambia entropia di $\sim k_B \ln(2)$ per aumento di ordine)

Totale: $\Delta S_{tot} = \Delta S_{amb} + \Delta S_{gas} \geq 0$ ✓

Bennett (1982) - Computazione reversibile:

Bennett mostrò che il demone potrebbe operare reversibilmente fino alla cancellazione finale. Le operazioni:

- Misura → può essere reversibile (entangled con molecola)
- Decisione → computazione reversibile (porte di Toffoli)
- Apertura porta → accoppiamento coerente

Solo la cancellazione è irreversibile e dissipativa. Questo localizza precisamente dove il secondo principio è protetto.

Esperimenti moderni:

Esperimenti recenti (Bérut et al. 2012) hanno verificato il limite di Landauer usando:

- Particella colloidale in trappola ottica
- Feedback loop come "demone"
- Misura diretta dell'energia dissipata: $E_{diss} = k_B T \ln(2) \pm 15\%$

K.2 Il Paradosso del Mescolamento di Gibbs - Approfondimento

Formulazione precisa:

Due gas identici, ciascuno in volume V, separati da parete removibile.

Senza fattore 1/N!: Rimuovendo la parete, ogni gas si espande da V a 2V:

$\Delta S_{naive} = 2 \times nR \ln(2) > 0$

Ma i gas sono identici! Fisicamente nulla è cambiato. Come può l'entropia aumentare?

Con fattore 1/N!: L'entropia per gas ideale è:

$S = nR[\ln(V) + (3/2)\ln(T) - \ln(n) + cost]$

Notare il termine $-\ln(n)$ dal fattore 1/N! (usando Stirling).

Inizialmente: $S_i = 2nR[\ln(V) - \ln(n) + ...]$ Finalmente: $S_f = 2nR[\ln(2V) - \ln(2n) + ...] = 2nR[\ln(V) + \ln(2) - \ln(2) - \ln(n) + ...] = 2nR[\ln(V) - \ln(n) + ...] = S_i$

$\Delta S = 0$ ✓

Origine quantistica dell'indistinguibilità:

Classicamente, potremmo "etichettare" particelle e tracciarne traiettorie. Due particelle scambiate danno configurazione "diversa".

Quantisticamente, la funzione d'onda deve essere simmetrica (bosoni) o antisimmetrica (fermioni) rispetto a scambio:

$\Psi(r_1, r_2, ...) = \pm\Psi(r_2, r_1, ...)$

Questo non è approssimazione ma principio fondamentale. Particelle identiche sono indistinguibili in senso assoluto.

Implicazioni filosofiche:

Il paradosso di Gibbs mostra che entropia dipende dalla nostra ontologia (cosa contiamo come "stati diversi").

Due approcci:

1. **Realista:** Particelle sono intrinsecamente indistinguibili (QM)
2. **Operazionalista:** Contiamo solo stati distinguibili sperimentalmente

Entrambi portano allo stesso risultato pratico ma differiscono filosoficamente.

K.3 Paradosso di Loschmidt (Reversibilità) - Analisi Dettagliata

L'obiezione (1876):

Le leggi della meccanica sono reversibili nel tempo: $t \rightarrow -t$

Se esiste evoluzione con $\Delta S > 0$, invertendo tutte le velocità dovrebbe esistere evoluzione con $\Delta S < 0$, contraddicendo il teorema H.

Risposta di Boltzmann:

Il teorema H usa ipotesi del caos molecolare (Stosszahlansatz): prima di ogni collisione, velocità delle particelle sono statisticamente indipendenti.

Questa ipotesi è:

- **Vera in media** per sistemi ergodici evolventi verso equilibrio
- **Falsa** per stati speciali con correlazioni fine-tuned

Analisi quantitativa:

Consideriamo N particelle in gas. Spazio delle fasi ha dimensione 6N.

Stati "tipici": Enorme maggioranza (~e^(10^23)) evolvono verso equilibrio **Stati "atipici":** Piccola frazione (~e^(-10^23)) evolvono verso disordine decrescente

Probabilità di stato atipico: P_atipico ~ exp(-N) ≈ exp(-10^23)

Il tempo di ricorrenza di Poincaré per ritornare a stato iniziale:

τ_Poincaré ~ exp(S/k_B) ~ exp(10^23) × tempo_collisione ~ 10^(10^23) secondi

Questo è incomprensibilmente più lungo dell'età dell'universo (10^17 secondi).

Conclusione:

Il teorema H è valido statisticamente, non rigorosamente. La probabilità di violazione è così piccola da essere fisicamente irrilevante. L'asimmetria temporale emerge da condizioni iniziali speciali (bassa entropia), non dalle leggi dinamiche.

APPENDICE L: ENTROPIA E INFORMAZIONE NEI SISTEMI VIVENTI

L.1 DNA come Supporto Informazionale

Capacità informazionale del genoma umano:

Il DNA umano contiene circa 3.2 × 10^9 paia di basi. Con 4 nucleotidi (A, T, G, C), la capacità teorica è:

$I_{max} = 3.2 \times 10^9 \times \log_2(4) = 6.4 \times 10^9$ bit ≈ 800 MB

Ridondanza e compressione:

1. **Codice genetico degenerato:** 64 codoni → 20 amminoacidi Ridondanza intrinseca del codice

2. **Regioni non codificanti:** ~98% del genoma non codifica proteine

    - Introni (rimossi prima traduzione)
    - Regioni regolatorie
    - DNA "spazzatura" (molte funzioni ancora da scoprire)
3. **Sequenze ripetute:** ~45% del genoma

    - SINE, LINE (elementi trasponibili)
    - Satelliti, microsatelliti

Compressione algoritmica (gzip): ~200-300 MB

Informazione funzionale effettiva:

Difficile quantificare esattamente. Stime:

- Geni codificanti: ~20,000 geni × ~1,500 bp/gene = 30 Mb di sequenza codificante
- Elementi regolatori: ~3-5% genoma = 100-150 Mb
- Informazione epigenetica (pattern metilazione, istoni): comparabile

Totale informazione biologicamente rilevante: probabilmente 100-500 MB equivalenti

Tasso di mutazione ed entropia:

Tasso mutazione germlinale: ~10^(-8) per base per generazione

Entropia di "erosione" informazionale: $\Delta S_{mut} = n \times k_B \times \mu \times \ln(4)$

dove n = numero di basi, μ = tasso di mutazione

Per genoma umano per generazione: $\Delta S_{mut} \sim 3 \times 10^9 \times 10^{-8} \times 1.38 \times 10^{-23} \times \ln(4) \sim 6 \times 10^{-22}$ J/K

Piccolo, ma accumulato su generazioni richiede selezione per mantenere informazione funzionale.

Mutator phenotype nel cancro:

Cellule cancerose spesso acquisiscono mutazioni in geni di riparazione DNA (MMR, p53), aumentando tasso di mutazione di 100-1000×. Questo aumenta massivamente entropia informazionale, accelerando evoluzione tumorale ma anche fragility genetica (possibile target terapeutico).

L.2 Reti Biologiche e Flussi Informativi

Reti di regolazione genica:

Geni controllano espressione di altri geni formando reti di regolazione. Entropia di queste reti caratterizza complessità.

Misure entropiche:

1. **Entropia di espressione:** Per gene i con livelli di espressione x_i: $H(X_i) = -\int p(x_i) \log p(x_i)\, dx_i$

2. **Informazione mutua tra geni:** $I(X_i; X_j) = H(X_i) + H(X_j) - H(X_i, X_j)$

   Alta I → forte regolazione o co-regolazione

3. **Transfer entropy:** Misura influenza causale directed $TE(X \to Y) = I(Y_{future}; X_{past} \mid Y_{past})$

Esempio: Ciclo cellulare:

Il ciclo cellulare è controllato da rete di chinasi cicline-dipendenti (CDK) con feedback.

Analisi di transfer entropy su dati time-series mostra:

- Flusso info dominante: CDK2 → CDK1 (G1/S → G2/M)
- Checkpoint (p53, Rb) aumentano entropia condizionata (incertezza controllata)
- Cancro: riduzione TE, perdita di controllo deterministico

Robustezza e ridondanza:

Reti biologiche mostrano ridondanza (pathways alternativi) che aumenta entropia macroscopica ma garantisce robustezza:

- Knockout singolo: spesso compensato (H_funzionale invariata)
- Knockout multiplo: collasso (H_funzionale precipita)

Questo è ottimalità evolved: minimo numero di componenti critici per massima robustezza.

L.3 Neuroni, Spike Trains ed Entropia Neurale

Codifica neurale:

I neuroni comunicano tramite potenziali d'azione (spikes). Informazione codificata in:

- **Rate code:** Frequenza di firing
- **Temporal code:** Timing preciso degli spikes
- **Population code:** Pattern di attività in ensemble

Entropia di spike train:

Per neurone con spike train $\{t_1, t_2, ..., t_n\}$, entropia può essere stimata discretizzando tempo in bins Δt:

$H = -\Sigma_{pattern} P(pattern) \log P(pattern)$

Per bin singolo (codifica rate): $H_{rate} \approx -p \log(p) - (1-p) \log(1-p)$

dove $p = r \times \Delta t$, r = firing rate

Per neurone corticale tipico ($r \sim 5$ Hz, $\Delta t = 1$ ms): $p = 0.005 \rightarrow H_{rate} \approx 0.04$ bit/bin = 40 bit/s

Informazione mutua con stimolo:

Quanto informazione il neurone trasmette su stimolo S?

$I(S; R) = H(R) - H(R|S)$

dove R è la risposta neurale.

Esperimenti (Bialek et al. su sistema visivo di mosca):

- $H(R) \approx 100$ bit/s
- $I(S; R) \approx 90$ bit/s
- Efficienza: $\eta = I/H \approx 90\%$

I neuroni sono canali informativi molto efficienti!

Criticità e massima capacità:

Evidenza crescente che reti neurali operano vicino a punto critico (transizione di fase):

- Avalanche neuronali seguono leggi di potenza
- Massimizza range dinamico e capacità informazionale
- Entropia di correlazioni diverge logaritmicamente

APPENDICE M: TECNOLOGIE FUTURE E LIMITI FISICI

M.1 Computazione Reversibile e Limite di Landauer

Architetture reversibili:

I chip reversibili evitano dissipazione durante computazione logica. Componenti:

1. **Porte reversibili CMOS:** Adiabatic charging
    - Energia recuperata durante de-charging
    - Dissipazione ~ $(CV^2)/2 \times (t_{switch}/t_{adiabatic})$
    - Per $t_{adiabatic} \to \infty$: $E \to 0$
2. **RSFQ (Rapid Single Flux Quantum):** Superconduttori
    - Bit codificato in singolo quanto di flusso magnetico
    - Switching energy ~ 10^{-19} J (100× Landauer limit a 4K)
3. **Spintronic reversible logic:**
    - Bit in orientamento spin
    - Controllo magnetico con campi deboli
    - Potenzialmente vicino a limite Landauer

Progressi sperimentali:

- Chip CMOS adiabatico (MIT): 10× riduzione energia a 10 MHz
- Calcolo superconduttore (IARPA program): target 1 zJ/op (10^{-21} J)
- Limite Landauer a 300K: $k_B T \ln(2) \approx 3 \times 10^{-21}$ J

Gap attuale: 10^8-10^9 sopra limite fisico Margine di miglioramento: enorme!

M.2 Quantum Computing e Limiti Informativi

Limite di Margolus-Levitin (velocità):

Massimo numero operazioni per energia E:

$N_{max} = 2E/(\pi\hbar)$

Per 1 J: $N_{max} \approx 3 \times 10^{33}$ ops/s

Computer attuali (~100 W, $\sim 10^{11}$ ops/s): Efficienza velocità: $(10^{11})/(3 \times 10^{35}) \sim 10^{-24}$ del limite!

Limite di Lloyd (memoria):

Massima informazione processabile da 1 kg materia:

$I_{max} = 2\pi E/(\hbar \ln(2)) \approx 5 \times 10^{50}$ ops

dove $E = mc^2$ per 1 kg.

Memoria ottimale: $\sim 10^{31}$ bit

Quantum error correction overhead:

Per computazione fault-tolerant con errore fisico p:

- Codici surface: overhead $\sim (\log(1/p))^2$
- Per $p \sim 10^{-3}$, overhead ~ 1000× (1000 qubit fisici per qubit logico)

Questo riduce drasticamente la capacità effettiva, ma rimane comunque enorme per problemi specifici.

M.3 Limiti Termodinamici di Sensing e Misura

Limite di Heisenberg per misura di fase:

La precisione misura φ con N fotoni:

$\Delta\varphi \geq 1/N$ (limite shot noise, standard quantum limit) $\Delta\varphi \geq 1/N$ (limite Heisenberg, con entanglement)

Guadagno quadratico tramite stati squeezed o entangled (LIGO usa squeezing).

Energetic-informatic trade-off:

Misura con precisione δx richiede disturbo con momento: $\Delta p \geq \hbar/(2\delta x)$

Energia trasferita: $E \sim (\Delta p)^2/(2m) \sim \hbar^2/(8m(\delta x)^2)$

Misura ultra-precisa richiede energia → dissipazione → entropia

Limite di Carnot per sensing:

Un sensore biologico (es. recettore olfattivo) operante tra T e $T+\Delta T$ può discriminare molecole con precisione:

$SNR_{max} \sim \Delta T/T$

Questo limita la threshold detection: poche molecole richiedono ΔT finito → costo energetico.

Alcuni esperimenti mostrano recettori olfattivi vicini a questo limite (Berg-Purcell bound).